GDAC Float Anomalies Monitoring

January 2020

Christine Coatanoan-Girou

Coriolis

NOTES

NOVEMBER 2017

§- (From last week of October) New version for the message sent to each DAC operator, information can be found on the vertical sampling scheme (only the beginning of the text), for instance :

DAC_CODE,PLATFORM_CODE,CV_NUMBER,DATE_UPDATE,DIRECTION,WEB_URL,PARAMETER,START_IMMERSION,STOP_IMMERSION,OLD_QC, NEW_QC,VERTICAL_SAMPLING_SCHEME

AO,3901276,8,26/10/2017 00:00:00,A,http://www.ifremer.fr/co-argoFloats/station?stationId=54124442 ,PSAL,.96,.96,1,4,Primary sampling

AO,5904770,104,26/10/2017 00:00:00,A,http://www.ifremer.fr/co-argoFloats/station?stationId=54124471 ,PSAL,6.15,1997.6,1,3,n/a

DECEMBER 2017

§ A bug has been found in the message for the pressure, when a QC is changed this is the index and not the real value that is recorded in the message for START and STOP Immersion. The correction will be applied very soon.

§ New information in chapter 13 Automatic tests : it seems that for the near-surface data, the automatic tests are not taken into account as described in the Argo Quality Control Manual for CTD and Trajectory Data (see §2.5 test 21 & test 22). Strange profiles are also observed and it seems that the cutting between profile and trajectory data is not well applied.

January 2018

During few days in January, no information was available in the message regarding the parameters and QC then the message was like :

BO,3901951,11,08/01/2018 00:00:00,A,http://www.ifremer.fr/co-argoFloats/station?stationId=54612977 ,,,,, ,Primary sampling

The problem has been resolved rapidly.

May 2018

A little bit more anomalies due to analysis of blacklist sent by CLS.

July 2018

More anomalies have been listed, due to the 'DM Analysis' checks for the CORA dataset. Consequently old profiles have been detected for corrections and some can be in data mode D. A new approach has also been implemented (Min/Max : method developed by Jérôme Gourrion) and is now running in the Coriolis exploitation for improving the quality control.

March 2019

A new table has been added with a list of floats showing a suspected drift, observed in the month. (feedback from Delphine Dobler/Coriolis)

April 2019

Re-organization of the report

June 2019

Many anomalies were detected following the return of the work done by the CORA team.

September 2019

Many anomalies were detected after processing new spike test (test performed on DM files, resulting in many anomalies detected on DM profiles).

October 2019

Many anomalies were detected after processing new spike test (test performed on RT files, resulting in many anomalies detected on RT profiles).

November 2019

Many anomalies were detected after processing MinMax method on the retroactive years (till end of 2014).

The list describing the floats has been divided in 2 parts : one for files with data_mode = 'A' & 'R', an other for data_mode='D'.

Summary

1. Anomalies of Argo profiles – Suspected drift 5
2. Statistics on floats and format version (End of January 2020) 7
3. Statistics on Anomalies 8
   3.1. Year 9
   3.2. DAC 9
   3.3. Anomalies by year, by month 11
4. DAC Anomalies 12
   4.1. DAC AOML 12
   4.2. DAC BODC 22
   4.3. DAC CSIO 26
   4.4. DAC CSIRO 28
   4.5. DAC INCOIS 31
   4.6. DAC JMA/JAMSTEC 35
   4.7. DAC KMA 38
   4.8. DAC KORDI/KIOST 41
   4.9. DAC MEDS 43
   4.10. DAC NMDIS 45
5. File anomalies (GDAC – Real time) 46
   5.1. AOML 46
   5.2. BODC 47
   5.3. CORIOLIS 52
   5.4. CSIO 53
   5.5. CSIRO 53
   5.6. INCOIS 55
   5.7. JMA 56
   5.8. KMA 60
   5.9. KORDI/KIOST 61
   5.10. MEDS 61
   5.11. NMDIS 61

1. Anomalies of Argo profiles – Suspected drift

This table shows a list of floats showing a suspected drift, observed in the month. (feedback from Delphine Dobler/Coriolis).

DAC	WMO	PI	First Station in alert	First cycle in alert	Last Station in alert	Last cycle in alert	Comment All drift mentions are SUSPICION drift value mentions are visual impression surrounding profiles = close in space (position diff < 2 degrees latitude/longitude) and in time (date diff < 5 years)	SENSOR_MODEL	SERIAL_N°
AOML	1902057	GREGORY C. JOHNSON	**2019/03/07**	**84**	2020/01/11	115	# 84 is 0.1 PSU saltier than platform's other profiles and surrounding profiles #101 is 0.3 PSU saltier	SBE41CP	8465
AOML	1902198	GREGORY C. JOHNSON	**2019/10/23**	**49**	2020/01/21	58	#53 is 0.05 psu saltier than surrounding profiles.	SBE41CP	9911
AOML	1902199	GREGORY C. JOHNSON	2019/03/01	17	2020/01/25	50	big fresh jump in salinity; #35 is 1.5 PSU fresher	SBE41CP	9841
AOML	2902395	BRECK OWENS, STEVEN JAYNE, P.E. ROBBINS	2019/10/10	144	2020/01/25	155	#144 seems to be 0.02 psu saltier at depth than surrounding profiles. This is better seen on theta-S diagram.	SBE41CP	7339
AOML	3901156	GREGORY C. JOHNSON	2018/12/01	171	2020/01/25	213	0.02 psu salty jump at # 171 #198 is 0.07 psu saltier than surrounding profiles	SBE41CP	4221
AOML	3901173	GREGORY C. JOHNSON	2018/11/27	171	2020/01/22	213	#137 dated Feb. 2018 and #138 dated July 2018. Since recovery(#138), sensor data are very noisy	SBE41CP	5510
AOML	3901187	GREGORY C. JOHNSON	2019/01/10	176	2020/01/25	214	This float had stopped emmiting on the 2018/02/04 and has begun to emit once more since the 2019/01/10 in the middle of the pacific but values and shapes are totally ut of bounds by 1 PSU saltier. Positions may be incorrect.	SBE41CP	5507
AOML	3901222	BRECK OWENS, STEVEN JAYNE, P.E. ROBBINS	2019/03/05	132	2020/01/26	165	QC2 automatically set. #142 is 0.03 PSU saltier than surrounding profiles	SBE41CP	6509
AOML	3901227	BRECK OWENS, STEVEN JAYNE, P.E. ROBBINS	2018/11/15	120	2020/01/26	164	QC2 automatically set. #139 is 0.07 PSU saltier than surrounding profiles	SBE41CP	6486
AOML	3901238	BRECK OWENS, STEVEN JAYNE, P.E. ROBBINS	2019/10/20	101	2020/01/18	110	#101 is 0.02 psu saltier than surrounding profiles and behaves differently from previous cycles (not a parallel jump). Wait for more cycles	SBE41CP	7146
AOML	3901252	DEAN ROEMMICH	2019/12/21	112	2020/01/20	115	#112 is 0.05 psu saltier than surrounding profiles. Drift may have begun #106	SBE41CP_V7.2.5	8587
AOML	3901259	GREGORY C. JOHNSON	2019/02/14	81	2020/01/20	115	drifting since at least #79. #101 is 1.5 PSU saltier than surrounding profiles	SBE41CP	8462
AOML	3901272	DEAN ROEMMICH	2019/12/11	115	2020/01/20	119	Drift may begins #106. #115 is 0.03 psu saltier than surrounding profiles	SBE41CP_V7.2.5	8593
AOML	3901282	GREGORY C. JOHNSON	2019/02/27	86	2020/01/23	119	salty jump at cycle 86. salinity data are wrecked	SBE41CP	8531
AOML	3901289	GREGORY C. JOHNSON	2019/02/18	80	2020/01/24	114	#99 is 0.2 PSU saltier than surrounding profiles	SBE41CP	8651
AOML	3901299	GREGORY C. JOHNSON	2019/12/15	45	2020/01/24	49	#45 is affected by a 0.02 salty jump. Wait for more cycles	SBE41CP	9957
AOML	3901819	BRECK OWENS, STEVEN JAYNE, P.E. ROBBINS	2019/03/19	128	2020/01/14	188	drifting since #120 (2019/02/06) #160 is 0.05 PSU saltier than surrounding profiles	SBE41CP	8642
AOML	**3902145**	BRECK OWENS, STEVEN JAYNE, P.E. ROBBINS	2019/12/18	28	2020/01/27	32	It has become suddenly noisy from cycle 28 on. Still noisy cycle 31. (dirt or failure ?)	SBE41CP	11024
AOML	**4901591**	BRECK OWENS, STEVE JAYNE, P.E. ROBBINS	2019/12/11	233	2020/01/19	237	#233 seems to be 0.23 psu saltier than surrounding profiles at 1000 dbar. But recent cycles have not been below 1000 dbar and thus is it difficult to be certain of a drift and to infer when it may have begun. Hard 7 psu fresh jump from cycle 234 on.	SBE41CP	4890
AOML	**4902074**	GREGORY C. JOHNSON	2018/04/20	109	2020/01/20	173	The DM process had concluded a drift with QC3 on adjusted but QC3 has not been propagated to RT cycles (many missing RT cycles from 2019/02: only 6 in the period 2019/02 - 2019/10). RT cycles > 100 QCd3 in Coriolis DB.	SBE41CP	7024
AOML	**4902102**	BRECK OWENS, STEVEN JAYNE, P.E. ROBBINS	2019/12/19	3168	2020/01/28	3172	#3168 is affected by a 0.2 psu salty jump. Wait for more cycles	SBE41CP	6488
AOML	**4902312**	GREGORY C. JOHNSON	2019/02/15	102	2020/01/21	136	#121 (2019/08/24) is 0.1 PSU saltier than surrounding profiles	SBE41CP	7557
AOML	**4902893**	GREGORY C. JOHNSON	2019/04/15	89	2020/01/24	117	#103 is 0.07 PSU saltier than the core of the profiles distribution of surronding platforms but there are other similar measurements from surrounding profiles. It would seserve DMQC . Cycles 20 to 22 are affected by fresh jump	SBE41CP	8007
AOML	**4902895**	GREGORY C. JOHNSON	2019/02/28	84	2020/01/20	114	#102 is 0.07 PSU saltier than surrounding profiles	SBE41CP	8012
AOML	**4902899**	GREGORY C. JOHNSON	2019/12/21	111	2020/01/20	117	#111 is 0.02 psu saltier than surrounding profiles. Seems to be gently drfiting since #61	SBE41CP	8559
AOML	**4902901**	GREGORY C. JOHNSON	2018/12/19	74	2020/01/23	114	undoubtly drifting (0.04 PSU saltier on 2018/12/19); hard salty jumps from cycle 80 (2019/02/17)	SBE41CP	8692
AOML	**4902905**	GREGORY C. JOHNSON	2019/05/08	86	2020/01/23	112	#97 is 0.03 PSU saltier than surrounding profiles	SBE41CP	8709
AOML	**4902911**	BRECK OWENS, STEVEN JAYNE, P.E. ROBBINS	2018/12/02	63	2020/01/12	104	#85 is 0.1 PSU saltier than surrounding profiles but values seem to be back to nominal from cycle #86 on. Consequently, there is a -0.07 real-time adjustement from #89 on which seems too big as adjusted values are more than 0.05 psu fresher than surrounding profiles when it is ok for raw salinity.	SBE41CP	8551
AOML	**4902915**	BRECK OWENS, STEVEN JAYNE, P.E. ROBBINS	2018/11/21	108	2020/01/27	195	seems to be depth-dependant and affect temperature as well since #35 (2107/11/23) #160 (2019/08/06) is 0.2 PSU fresher at 2000 dbar.	SBE41CP	8540
AOML	**4903030**	GREGORY C. JOHNSON	2019/12/08	53	2020/01/27	58	#53 is 0.06 psu saltier than surrounding profiles and than cycle 51. Cycle 52 is 0.03 psu saltier than cycle 51.	SBE41CP	10574
AOML	**4903033**	GREGORY C. JOHNSON	2019/10/01	46	2020/01/19	57	#46 (2019/10/01) is affected by a 0.04 psu salty jump. Wait for more cycles.	SBE41CP	10577
AOML	**4903034**	GREGORY C. JOHNSON	2019/08/19	33	2020/01/16	48	0.05 PSU salty jump since #32	SBE41CP	10758
AOML	**4903172**	GREGORY C. JOHNSON	2020/01/12	47	2020/01/22	48	0.2 psu salty jump from #47 on ...	SBE41CP	10983
AOML	**4903173**	GREGORY C. JOHNSON	2019/12/05	42	2020/01/24	47	#42 and #43 are 0.04 psu saltier than surrounding profiles. Drift may have begun #38	SBE41CP	10997
AOML	**4903174**	GREGORY C. JOHNSON	2018/11/28	5	2020/01/22	47	First cycles are fresher than surrounding profiles. #32 (2019/08/25) is 0.1 PSU saltier than surrounding profiles	SBE41CP	11044
AOML	**4903175**	GREGORY C. JOHNSON	2019/08/15	30	2020/01/22	46	#29 and #30 are affecetd by a 0.03 PSU salty jump	SBE41CP	11040
AOML	**4903177**	GREGORY C. JOHNSON	2019/09/04	31	2020/01/22	45	#31 is affected by a 0.02 psu salty jump. Wait for more cycles	SBE41CP	11046
AOML	**4903181**	GREGORY C. JOHNSON	2019/04/23	18	2020/01/18	45	#31 is 0.08 psu saltier than surrounding profiles, may be depth dependant #35 is not parallel => QC4	SBE41CP	11050
AOML	**4903183**	GREGORY C. JOHNSON	2019/03/04	13	2020/01/28	46	#31 is 0.2 PSU saltier than surrounding profiles	SBE41CP	11041
AOML	**4903184**	GREGORY C. JOHNSON	2019/12/19	42	2020/01/18	45	#42 is 0.02 psu saltier than surrounding profiles	SBE41CP	11042
AOML	**4903186**	GREGORY C. JOHNSON	2019/07/14	12	2020/01/20	31	#17 (2019/09/02) is 0.04 PSU saltier than surrounding profiles #25 (2019/11/21) is 0.8 PSU saltier than surrounding profiles	SBE41CP	11067
AOML	**4903188**	GREGORY C. JOHNSON	2019/10/10	21	2020/01/18	31	#21 (2019/10/10) is 0.04 psu saltier than surrounding profiles. Wait for more cycles.	SBE41CP	11069
AOML	**4903202**	GREGORY C. JOHNSON	2020/01/13	24	2020/01/23	25	#24 is 0.05 psu saltier than surrounding profiles. Wait for more cycles.	SBE41CP	11068
AOML	**5903806**	GREGORY C. JOHNSON	2019/07/08	257	2020/01/27	276	#257 is 0.04 PSU saltier than surrounding profiles.	SBE41	5646
AOML	**5904401**	STEPHEN RISER	2018/11/26	155	2020/01/27	197	QC 2 automatically set. #172 is 0.05 PSU saltier than surrounding profiles	SBE41	6396
AOML	**5904587**	GREGORY C. JOHNSON	2019/02/18	140	2020/01/24	174	This float is drifiting since approx #117. The delayed mode applied an adjustement until cycle 143. There are a gap until new RT begins once more at cycle 163. The DM adjustement is not propagated. #163 is 0.06 psu saltier than surrounding profiles.	SBE41CP	6288
AOML	**5904590**	GREGORY C. JOHNSON	2019/09/05	155	2020/01/23	169	The float had stop emitting #53 (2016/11/19) and has come back to life #150 (2019/07/17) . The position was back #155(2019/09/05) with a 0.3 psu salty jump.	SBE41CP	6311
AOML	**5904703**	GREGORY C. JOHNSON	2018/11/28	101	2020/01/22	143		SBE41CP	6296

AOML	**5904738**	GREGORY C. JOHNSON	2019/12/30	119	2019/12/30	119	#119 is 0.02 psu saltier than surrounding profiles. If the drift is confirmed, it is very smooth, and may have begun since the beginning.	SBE41CP	7757
AOML	**5904739**	GREGORY C. JOHNSON	2018/12/27	82	2020/01/21	121	corrected in adjusted, but drift may have increased, with a noticable jump cycle 83.	SBE41CP	7689
AOML	**5904948**	GREGORY C. JOHNSON	2018/11/24	68	2020/01/18	110	was drifting until cycle 67 when hard drift occurs	SBE41CP	8641
AOML	**5905288**	GREGORY C. JOHNSON	2019/12/09	90	2020/01/18	94	#90 is 0.04 psu saltier than surrounding profiles. Smooth drift seems to have begun from the beginning.	SBE41CP	9043
AOML	**5905730**	GREGORY C. JOHNSON	2019/04/15	33	2020/01/20	61	#47 (2019/09/02) is 0.05 psu saltier than surrounding profiles	SBE41CP	9857
AOML	**5905732**	GREGORY C. JOHNSON	2019/04/21	36	2020/01/26	64	rapid drift #36 is 0.05 PSU saltier #49 is 0.3 PSU saltier	SBE41CP_V7.2.5	9964
AOML	**5905736**	GREGORY C. JOHNSON	2019/04/23	36	2020/01/18	63	#36 is 0.04 PSU saltier than surrounding profiles # 49 is back 0.01 PSU saltier than surrounding profiles	SBE41CP	10067
AOML	**5905743**	GREGORY C. JOHNSON	2019/12/07	53	2020/01/26	58	#53 and #54 are 0.02 psu saltier than surrounding profiles. The drift seems to begin #50	SBE41CP	10559
AOML	**5905744**	GREGORY C. JOHNSON	2019/04/01	28	2020/01/26	58	jump in salinity:#29 is 0.07 PSU saltier than surrounding profiles	SBE41CP	10560
AOML	**5906095**	GREGORY C. JOHNSON	2020/01/27	27	2020/01/27	27	#27 is 0.02 psu saltier than surrounding profiles	SBE41CP	11103
AOML	**5906098**	GREGORY C. JOHNSON	2019/06/11	2	2020/01/27	25	Very fresh first cycles (#10 is still 0.3 PSU fresher than expected)	SBE41CP	11099
BODC	**1901914**	Jon Turton	2019/10/10	1	2020/01/18	11	The first too cycles are 0.1 psu saltier than surrounding profiles. The serial number of the conductivity sensor is weird too small for a recent float ...	SBE41CP_V7.2.5	3984
BODC	**2901897**	Brian King	2019/10/30	194	2020/01/20	203	There is 0.05 psu salty jump for #194 with respect to previous cycle. The 0.05 salty jump is confirmed when compared with surrounding profiles.	SBE41CP	7923
CORIOLIS	**6901273**	Pedro Velez	2020/01/25	49	2020/01/25	49	#49 is 0.15 psu saltier than surrounding profiles.	SBE41CP_V7.2.5	9985
CORIOLIS	**6902712**	Christine COATANOAN	2019/12/01	107	2020/01/20	112	Seems to be gently drifting salty. But float is travelling a lot. A proper DMQC would suit better.	SBE41CP_V7.2.5	8215
CSIRO	**1901325**	Susan Wijffels	2020/01/18	305	2020/01/18	305	#303 to #305 are affected by a salty bias of 0.02 psu. From #259 to #302, there seems to be an auto-scaled adjustement of -0.03 / -0.04 psu.	SBE41_V3	5287
CSIRO	**5903706**	Susan Wijffels	2020/01/04	304	2020/01/24	306	#304 is 0.02 psu saltier than surrounding profiles	SBE41_V3	5285
CSIRO	**5904248**	Susan Wijffels	2019/08/24	226	2020/01/18	241	#226 is affected by a 0.15 PSU salty depth-dependant jump; wait for more cycles CSIRO comment (20191204): "This float has been identified as drifting salty and adjusted in DMQC up to cycle 204. Later cycles are drifting more strongly but have not been adjusted in RT. I have set the PSAL to QC-3 for cycles 230-236."	SBE41CP_V2	3856
CSIRO	**5905017**	Susan Wijffels	2020/01/14	151	2020/01/24	152	#151 and #152 are affected by a 0.07 psu salty jump. Wait for more cycles.	SBE41CP_V2	7033
CSIRO	**5905029**	Susan Wijffels	2019/11/18	141	2020/01/25	148	#141 is 0.1 psu slatier than surrounding profiles. Normally there is an adjustement in real-time and as it is far from constant, I suppose it is an autoscale adjustement using CARS2009 climatology. I have QCd 3 from #87 on.	SBE41CP_V2	7010
CSIRO	**5905184**	Susan Wijffels	2020/01/23	117	2020/01/23	117	#117 is 0.07 psu saltier than surrounding profiles	SBE41CP_V7.2.5	8224
CSIRO	**5905186**	Susan Wijffels	2019/06/23	95	2020/01/24	117	drift suspicion though variable area. Might reach 0.04PSU saltier than surrounding platforms	SBE41CP_V7.2.5	8244
CSIRO	**7900622**	Steve Rintoul	2019/09/02	102	2020/01/27	117	drifting salty since #82 (but autoscaled until 102) #102 : 0.04 psu saltier than surrounding profiles CSIRO comments: "This float has a strong salty drift and will be greylisted for PSAL from cycle 81." "This float has a strong salty drift from cycle 84 onwards. It will be grey-listed to QC4 for PSAL."	SBE41CP_V7.2.5	7875
INCOIS	**2902209**	M Ravichandran	2019/03/10	92	2020/01/19	124	drifitng since #87 (2019/01/20) and shape has changed, probably beause it entered an eddy-rich region #109 (20190824) is 0.25 psu saltier than surrounding profiles	SBE41CP	8353
INCOIS	**2902233**	M Ravichandran			2020/01/24	283	The real-time adjustement has reached 1 PSU but adjusted profile is out of bounds for # 256	SBE41CP	9526
INCOIS	**2902235**	M Ravichandran	2019/12/20	276	2019/12/20	276	This float is drfiting probably since #210, but the drift does not seem to be uniform, the saltier cycle being #230. Real-time profiles are adjusted, probably with CARS09. #272 was not adjusted but is 0.02 psu saltier than surrounding profiles.	SBE41CP	9528
INCOIS	**2902236**	M Ravichandran	2019/12/11	181	2019/12/16	182	This float is showing a rapid salty drift beginning at cycle 179 and already reaching 0.15 PSU at cycle 181	SBE41CP	9529
INCOIS	**2902266**	M Ravichandran	2019/06/25	15	2020/01/21	36	Hard fresh jump since #15 (2019/06/25)	SBE41CP	11197
JMA	**2903191**	JMA	2019/10/25	129	2020/01/23	147	seems to be drifting smoothly. #129 reaches 0.02 psu saltier than surrounding profiles	SBE41CP_V7.2.5	9742
JMA	**2903212**	JAMSTEC	2018/12/01	35	2020/01/22	71	highly biased (by approx 0.4 psu) Yuka Okunaka anwered they are looking with the constructor: flag are set by recommandation from ADMT, that is QC1. Yuka's comment from 2019/09/19: "The qc flags of the following floats will be decided when the D-files are created. Float : 2903212 - Cycle : 49 - 55"	SBE61	5631
JMA	**2903214**	JMA	2019/07/02	103	2020/01/23	144	**#103 and #104 are 0.03 PSU saltier than surrounding profiles but #105 and after are back to expected values.** **#125 is 0.06 psu saltier than surrounding platforms. QCd 3. Wait for more cycles**	SBE41CP_V2	9743
KMA	**2901758**	Jaeyoung Byon	2018/11/27	76	2020/01/21	115	rapid salty drift beginning at #66 (2018/06/10) #101 is 0.7 psu saltier than surrounding profiles	SBE41CP	
KMA	**2901759**	Jaeyoung Byon	2018/11/27	85	2020/01/21	127	rapid salty drift beginning at #45 (2017/10/23) approximately #60 is 0.3 psu saltier than surrounding profiles from #45: QCd 4	SBE41CP	
KMA	**2901760**	Jaeyoung Byon	2019/02/06	92	2020/01/22	127	#112 is 0.08 psu saltier than surrounding profiles	SBE41CP	
KMA	**2901765**	Jaeyoung Byon	2018/11/29	85	2020/01/23	127	May be slightly drfiting since the beginning. #125 is 0.04 psu saltier than surrouding profiles	SBE41CP	
MEDS	**4901818**	Blair Greenan	2019/10/26	121	2019/12/05	125	Seems to be drifting since #115. #121 is 0.02 psu saltier than surrounding profiles	SBE41CP	8035
MEDS	**4902465**	Blair Greenan	2019/12/03	51	2020/01/22	56	#51 is 0.04 psu saltier than surrounding profiles. Dirft may have begun cycle 47.	SBE41CP	41-10565

2. Statistics on floats and format version (End of January 2020)

Plots showing format_version percentage, number of floats (*with profiles*), number of D and R files by DACs.

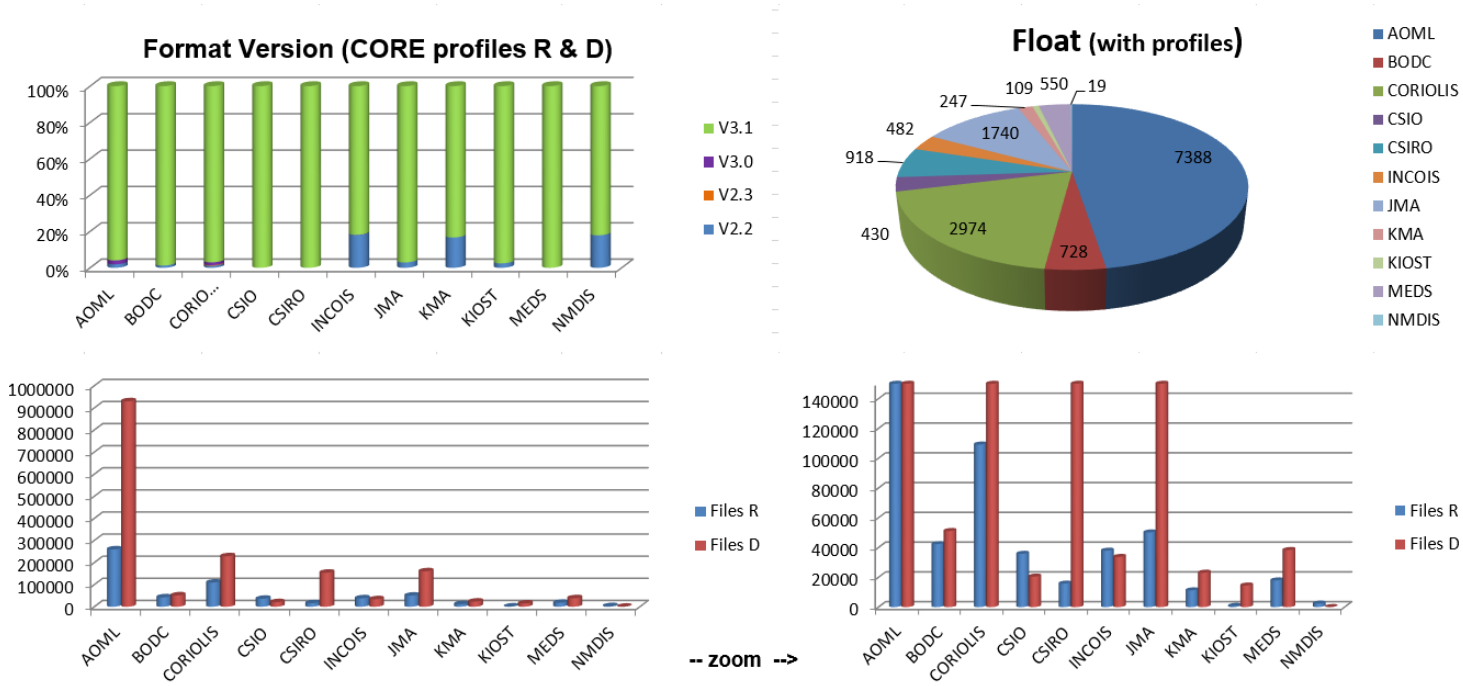

Plots showing format_version percentage, for metadata-technical-trajectory and core profiles following dead or active floats.

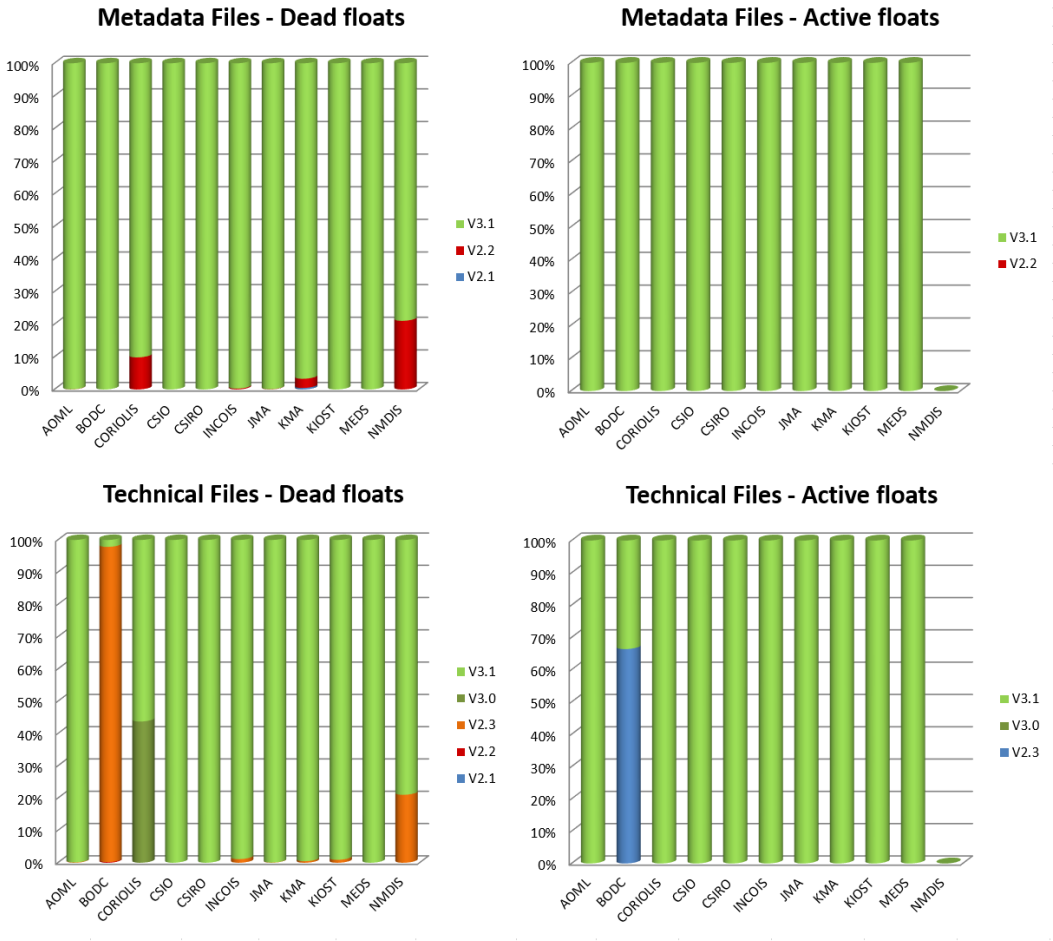

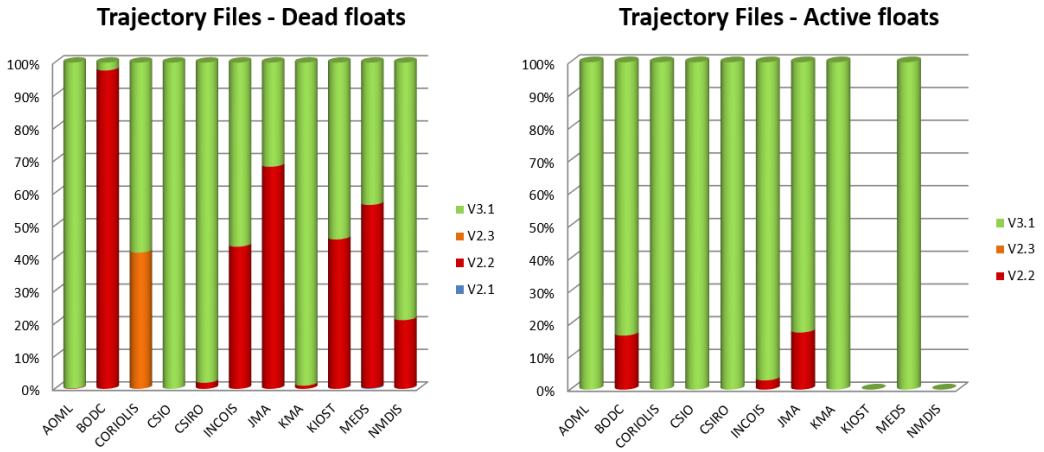

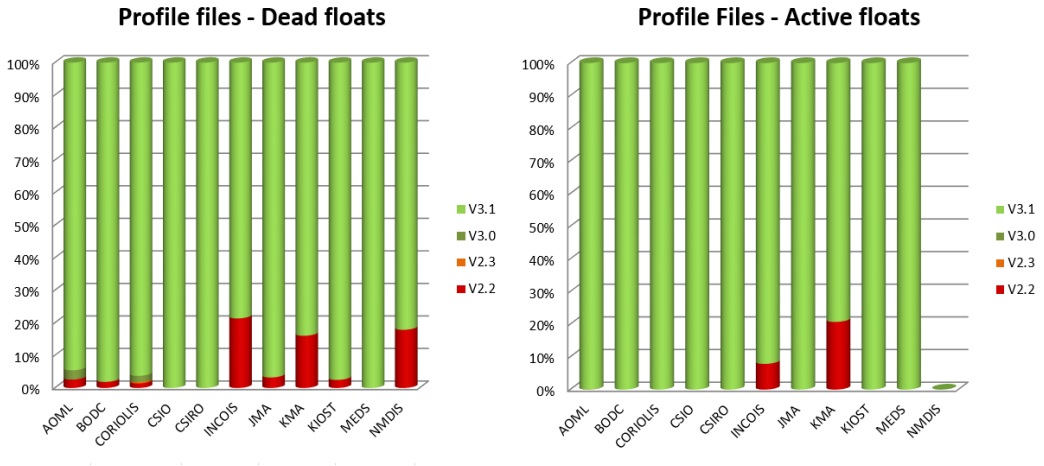

Delayed mode percentage by DAC

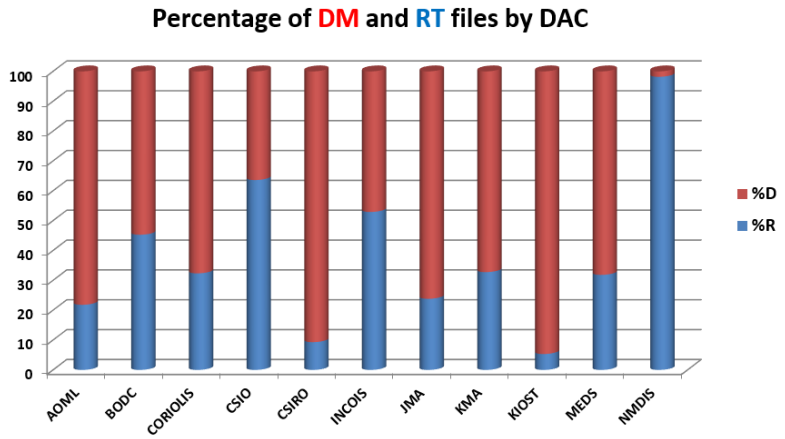

3. Statistics on Anomalies

Plots showing evolution of number of anomalies by DAC.

3.1. Year

3.2. DAC

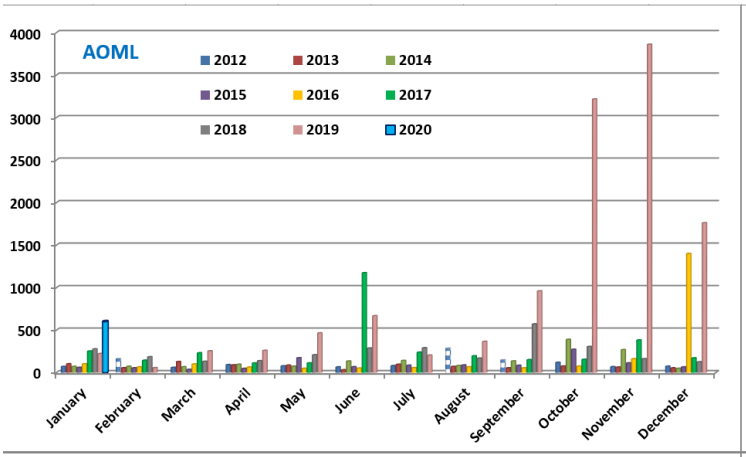

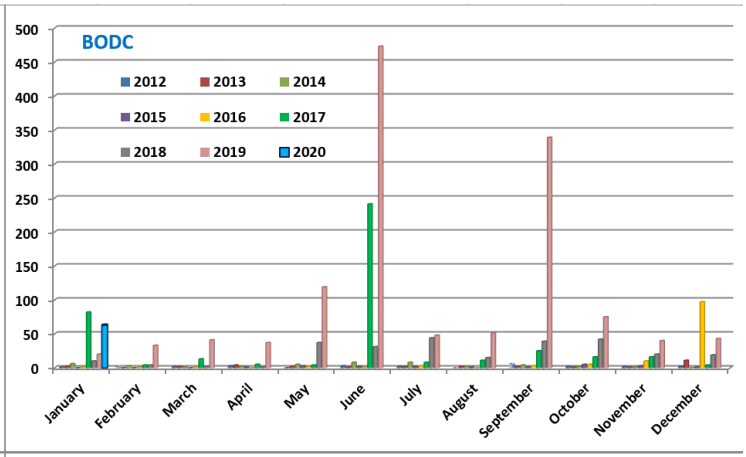

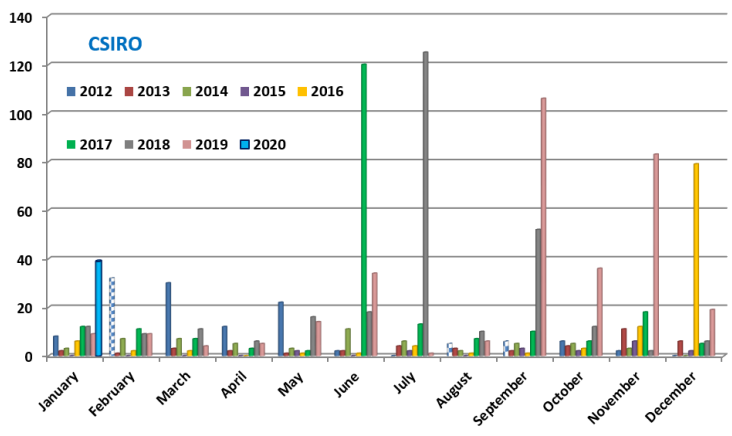

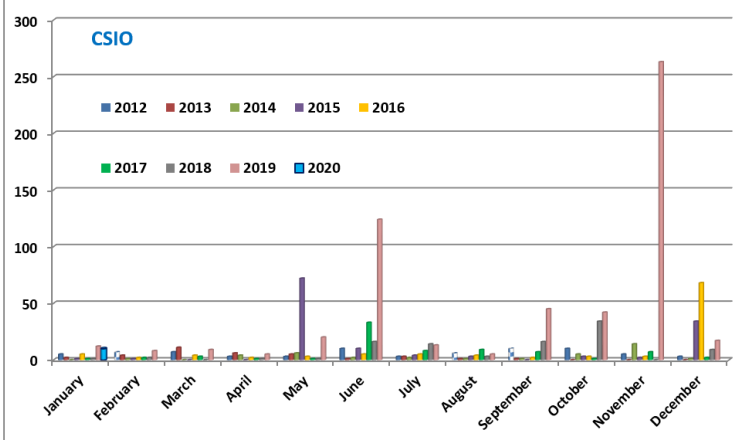

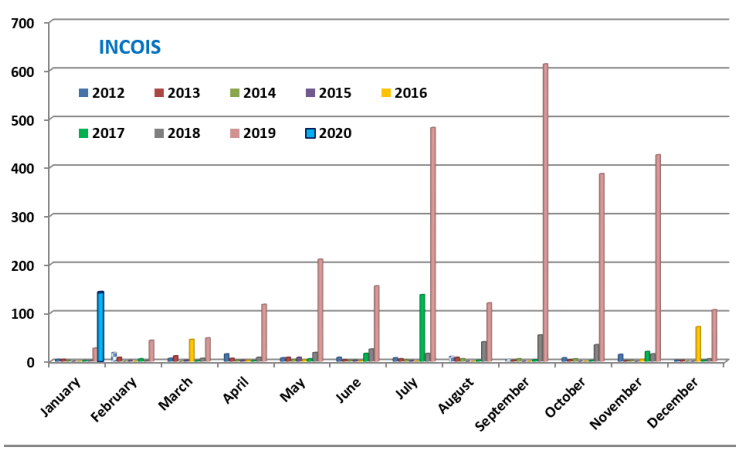
INCOIS
2012 2013 2014 2015 2016
2017 2018 2019 2020
0 100 200 300 400 500 600 700
January February March April May June July August September October November December

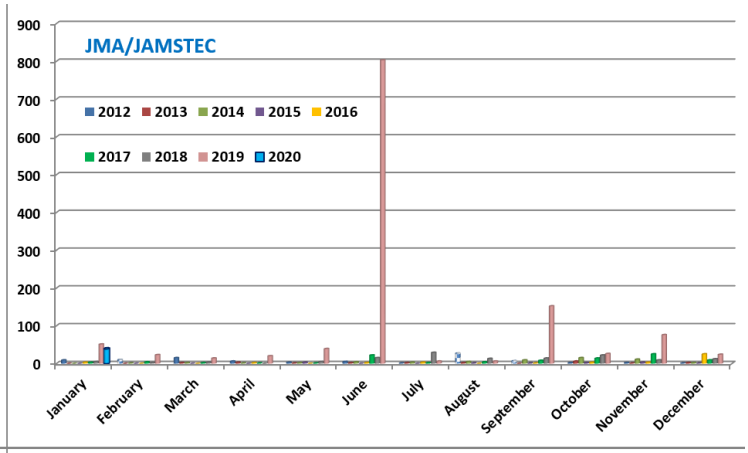
JMA/JAMSTEC
2012 2013 2014 2015 2016
2017 2018 2019 2020
0 100 200 300 400 500 600 700 800 900
January February March April May June July August September October November December

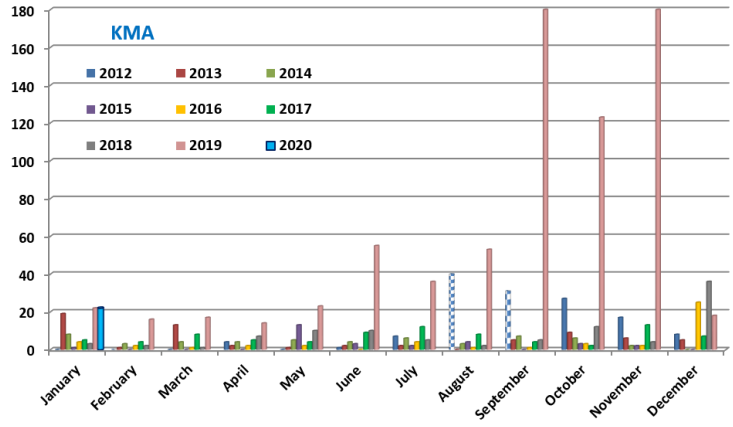
KMA
2012 2013 2014
2015 2016 2017
2018 2019 2020
0 20 40 60 80 100 120 140 160 180
January February March April May June July August September October November December

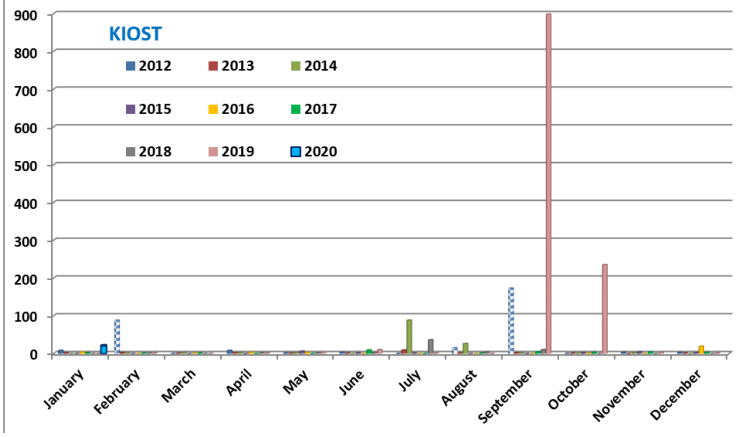
KIOST
2012 2013 2014
2015 2016 2017
2018 2019 2020
0 100 200 300 400 500 600 700 800 900
January February March April May June July August September October November December

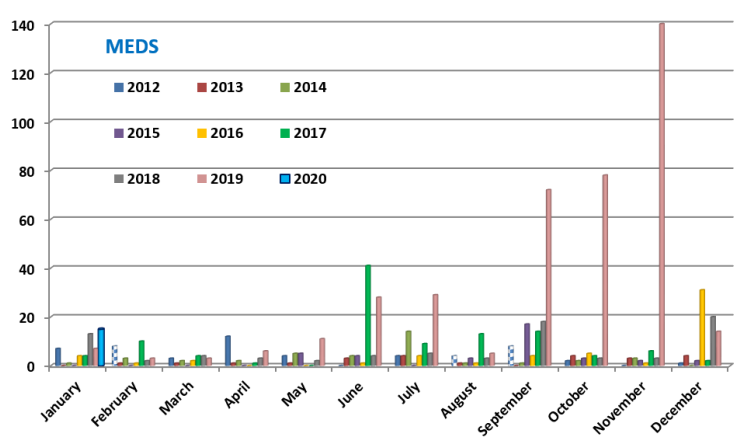
MEDS
2012 2013 2014
2015 2016 2017
2018 2019 2020
0 20 40 60 80 100 120 140
January February March April May June July August September October November December

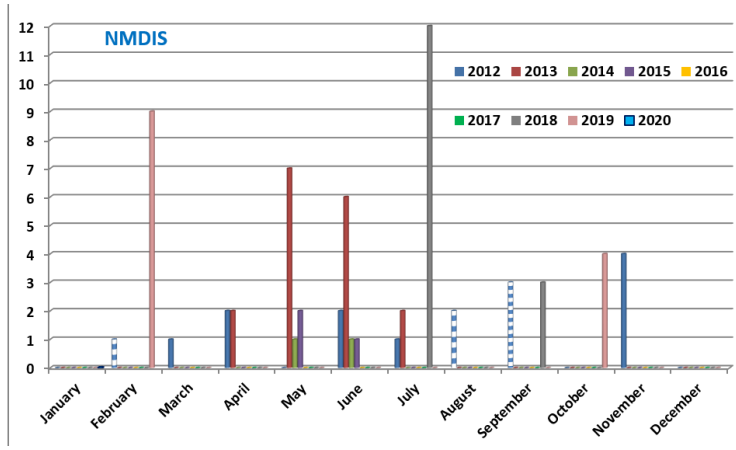
NMDIS
2012 2013 2014 2015 2016
2017 2018 2019 2020
0 1 2 3 4 5 6 7 8 9 10 11 12
January February March April May June July August September October November December

3.3. Anomalies by year, by month

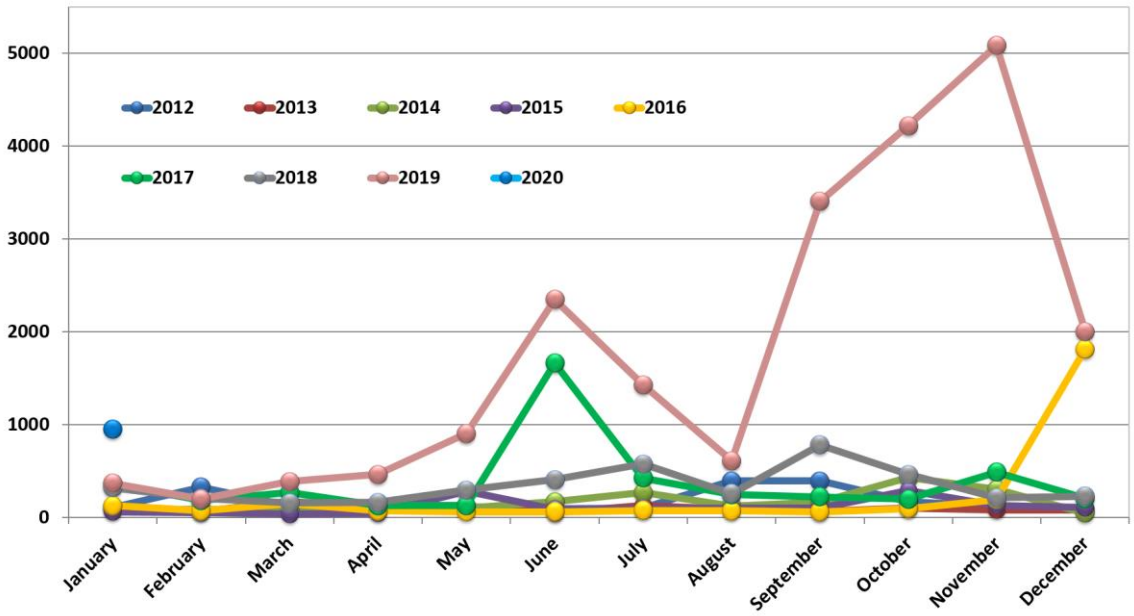

4. DAC Anomalies

4.1. DAC AOML

Profiles detected by the objective analysis: 602 profiles (189 floats, but floats can have several cycles with anomalies)

Data_mode ='R'	Data_mode ='A'	Data_mode ='D'
121 cycles	394 cycles	87 cycles

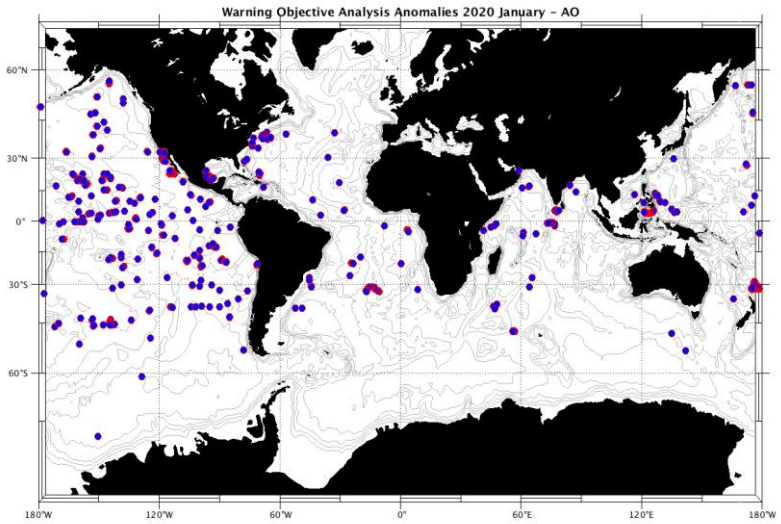

Status of corrections: **Done for few profiles – still bad QC no corrected**

Take care that some floats are shown with data mode D but the corrections can have been applied on R files before submission of the delayed mode. (see the csv messages on the ftp site for more information)

Files data_mode='R' / 'A'

Float : 1901584 - Cycle : 134 - PI : BRECK OWENS - Data mode : R - Platform type : SOLO_W - WMO inst type : 851 - FLOAT SERIAL : 1119 - Date : 2015 11 11
Float : 1901606 - Cycle : 270 - PI : GREGORY C. JOHNSON - Data mode : A - Platform type : APEX - WMO inst type : 846 - FLOAT SERIAL : 5318 - Date : 2020 1 22
Float : 1901816 - Cycle : 133 - PI : BRECK OWENS, STEVEN JAYNE, P.E. ROBBINS - Data mode : R - Platform type : S2A - WMO inst type : 854 - FLOAT SERIAL : 7352 - Date : 2019 12 30
Float : 1901826 - Cycle : 114 - PI : BRECK OWENS, STEVEN JAYNE, P.E. ROBBINS - Data mode : R - Platform type : S2A - WMO inst type : 854 - FLOAT SERIAL : 7383 - Date : 2019 12 13
Float : 1901826 - Cycle : 115 - PI : BRECK OWENS, STEVEN JAYNE, P.E. ROBBINS - Data mode : R - Platform type : S2A - WMO inst type : 854 - FLOAT SERIAL : 7383 - Date : 2019 12 23
Float : 1901826 - Cycle : 116 - PI : BRECK OWENS, STEVEN JAYNE, P.E. ROBBINS - Data mode : R - Platform type : S2A - WMO inst type : 854 - FLOAT SERIAL : 7383 - Date : 2020 1 2
Float : 1901826 - Cycle : 117 - PI : BRECK OWENS, STEVEN JAYNE, P.E. ROBBINS - Data mode : R - Platform type : S2A - WMO inst type : 854 - FLOAT SERIAL : 7383 - Date : 2020 1 12
Float : 1901826 - Cycle : 118 - PI : BRECK OWENS, STEVEN JAYNE, P.E. ROBBINS - Data mode : R - Platform type : S2A - WMO inst type : 854 - FLOAT SERIAL : 7383 - Date : 2020 1 22
Float : 1902056 - Cycle : 113 - PI : GREGORY C. JOHNSON - Data mode : A - Platform type : NAVIS_A - WMO inst type : 863 - FLOAT SERIAL : 0681 - Date : 2019 12 22
Float : 1902057 - Cycle : 113 - PI : GREGORY C. JOHNSON - Data mode : A - Platform type : NAVIS_A - WMO inst type : 863 - FLOAT SERIAL : 0707 - Date : 2019 12 22
Float : 1902057 - Cycle : 114 - PI : GREGORY C. JOHNSON - Data mode : A - Platform type : NAVIS_A - WMO inst type : 863 - FLOAT SERIAL : 0707 - Date : 2020 1 1
Float : 1902057 - Cycle : 115 - PI : GREGORY C. JOHNSON - Data mode : A - Platform type : NAVIS_A - WMO inst type : 863 - FLOAT SERIAL : 0707 - Date : 2020 1 11
Float : 1902063 - Cycle : 113 - PI : BRECK OWENS, STEVEN JAYNE, P.E. ROBBINS - Data mode : R - Platform type : S2A - WMO inst type : 854 - FLOAT SERIAL : 7397 - Date : 2019 12 11
Float : 1902065 - Cycle : 98 - PI : BRECK OWENS, STEVEN JAYNE, P.E. ROBBINS - Data mode : R - Platform type : S2A - WMO inst type : 854 - FLOAT SERIAL : 7399 - Date : 2019 7 24
Float : 1902065 - Cycle : 99 - PI : BRECK OWENS, STEVEN JAYNE, P.E. ROBBINS - Data mode : R - Platform type : S2A - WMO inst type : 854 - FLOAT SERIAL : 7399 - Date : 2019 8 3
Float : 1902065 - Cycle : 100 - PI : BRECK OWENS, STEVEN JAYNE, P.E. ROBBINS - Data mode : R - Platform type : S2A - WMO inst type : 854 - FLOAT SERIAL : 7399 - Date : 2019 8 13
Float : 1902065 - Cycle : 101 - PI : BRECK OWENS, STEVEN JAYNE, P.E. ROBBINS - Data mode : R - Platform type : S2A - WMO inst type : 854 - FLOAT SERIAL : 7399 - Date : 2019 8 23
Float : 1902065 - Cycle : 102 - PI : BRECK OWENS, STEVEN JAYNE, P.E. ROBBINS - Data mode : R - Platform type : S2A - WMO inst type : 854 - FLOAT SERIAL : 7399 - Date : 2019 9 2
Float : 1902065 - Cycle : 103 - PI : BRECK OWENS, STEVEN JAYNE, P.E. ROBBINS - Data mode : R - Platform type : S2A - WMO inst type : 854 - FLOAT SERIAL : 7399 - Date : 2019 9 12
Float : 1902065 - Cycle : 104 - PI : BRECK OWENS, STEVEN JAYNE, P.E. ROBBINS - Data mode : R - Platform type : S2A - WMO inst type : 854 - FLOAT SERIAL : 7399 - Date : 2019 9 22
Float : 1902065 - Cycle : 105 - PI : BRECK OWENS, STEVEN JAYNE, P.E. ROBBINS - Data mode : R - Platform type : S2A - WMO inst type : 854 - FLOAT SERIAL : 7399 - Date : 2019 10 2
Float : 1902065 - Cycle : 106 - PI : BRECK OWENS, STEVEN JAYNE, P.E. ROBBINS - Data mode : R - Platform type : S2A - WMO inst type : 854 - FLOAT SERIAL : 7399 - Date : 2019 10 12
Float : 1902065 - Cycle : 107 - PI : BRECK OWENS, STEVEN JAYNE, P.E. ROBBINS - Data mode : R - Platform type : S2A - WMO inst type : 854 - FLOAT SERIAL : 7399 - Date : 2019 10 22
Float : 1902065 - Cycle : 108 - PI : BRECK OWENS, STEVEN JAYNE, P.E. ROBBINS - Data mode : R - Platform type : S2A - WMO inst type : 854 - FLOAT SERIAL : 7399 - Date : 2019 10 31
Float : 1902065 - Cycle : 109 - PI : BRECK OWENS, STEVEN JAYNE, P.E. ROBBINS - Data mode : R - Platform type : S2A - WMO inst type : 854 - FLOAT SERIAL : 7399 - Date : 2019 11 10
Float : 1902065 - Cycle : 110 - PI : BRECK OWENS, STEVEN JAYNE, P.E. ROBBINS - Data mode : R - Platform type : S2A - WMO inst type : 854 - FLOAT SERIAL : 7399 - Date : 2019 11 20
Float : 1902065 - Cycle : 111 - PI : BRECK OWENS, STEVEN JAYNE, P.E. ROBBINS - Data mode : R - Platform type : S2A - WMO inst type : 854 - FLOAT SERIAL : 7399 - Date : 2019 11 30
Float : 1902065 - Cycle : 112 - PI : BRECK OWENS, STEVEN JAYNE, P.E. ROBBINS - Data mode : R - Platform type : S2A - WMO inst type : 854 - FLOAT SERIAL : 7399 - Date : 2019 12 10
Float : 1902065 - Cycle : 113 - PI : BRECK OWENS, STEVEN JAYNE, P.E. ROBBINS - Data mode : R - Platform type : S2A - WMO inst type : 854 - FLOAT SERIAL : 7399 - Date : 2019 12 20
Float : 1902065 - Cycle : 114 - PI : BRECK OWENS, STEVEN JAYNE, P.E. ROBBINS - Data mode : R - Platform type : S2A - WMO inst type : 854 - FLOAT SERIAL : 7399 - Date : 2019 12 30
Float : 1902184 - Cycle : 321 - PI : BRECK OWENS, STEVEN JAYNE, P.E. ROBBINS - Data mode : A - Platform type : S2A - WMO inst type : 854 - FLOAT SERIAL : 7457 - Date : 2020 1 23
Float : 1902184 - Cycle : 322 - PI : BRECK OWENS, STEVEN JAYNE, P.E. ROBBINS - Data mode : A - Platform type : S2A - WMO inst type : 854 - FLOAT SERIAL : 7457 - Date : 2020 1 24
Float : 1902184 - Cycle : 323 - PI : BRECK OWENS, STEVEN JAYNE, P.E. ROBBINS - Data mode : A - Platform type : S2A - WMO inst type : 854 - FLOAT SERIAL : 7457 - Date : 2020 1 25
Float : 1902184 - Cycle : 324 - PI : BRECK OWENS, STEVEN JAYNE, P.E. ROBBINS - Data mode : A - Platform type : S2A - WMO inst type : 854 - FLOAT SERIAL : 7457 - Date : 2020 1 26
Float : 1902184 - Cycle : 325 - PI : BRECK OWENS, STEVEN JAYNE, P.E. ROBBINS - Data mode : A - Platform type : S2A - WMO inst type : 854 - FLOAT SERIAL : 7457 - Date : 2020 1 26

Float : 1902184 - Cycle : 326 - PI : BRECK OWENS, STEVEN JAYNE, P.E. ROBBINS - Data mode : A - Platform type : S2A - WMO inst type : 854 - FLOAT SERIAL : 7457 - Date : 2020 1 27
Float : 1902198 - Cycle : 47 - PI : GREGORY C. JOHNSON - Data mode : A - Platform type : NAVIS_A - WMO inst type : 863 - FLOAT SERIAL : 0856 - Date : 2019 10 3
Float : 1902198 - Cycle : 48 - PI : GREGORY C. JOHNSON - Data mode : A - Platform type : NAVIS_A - WMO inst type : 863 - FLOAT SERIAL : 0856 - Date : 2019 10 13
Float : 1902198 - Cycle : 49 - PI : GREGORY C. JOHNSON - Data mode : A - Platform type : NAVIS_A - WMO inst type : 863 - FLOAT SERIAL : 0856 - Date : 2019 10 23
Float : 1902198 - Cycle : 50 - PI : GREGORY C. JOHNSON - Data mode : A - Platform type : NAVIS_A - WMO inst type : 863 - FLOAT SERIAL : 0856 - Date : 2019 11 2
Float : 1902198 - Cycle : 51 - PI : GREGORY C. JOHNSON - Data mode : A - Platform type : NAVIS_A - WMO inst type : 863 - FLOAT SERIAL : 0856 - Date : 2019 11 12
Float : 1902198 - Cycle : 52 - PI : GREGORY C. JOHNSON - Data mode : A - Platform type : NAVIS_A - WMO inst type : 863 - FLOAT SERIAL : 0856 - Date : 2019 11 22
Float : 1902198 - Cycle : 53 - PI : GREGORY C. JOHNSON - Data mode : A - Platform type : NAVIS_A - WMO inst type : 863 - FLOAT SERIAL : 0856 - Date : 2019 12 2
Float : 1902198 - Cycle : 55 - PI : GREGORY C. JOHNSON - Data mode : A - Platform type : NAVIS_A - WMO inst type : 863 - FLOAT SERIAL : 0856 - Date : 2019 12 22
Float : 1902198 - Cycle : 56 - PI : GREGORY C. JOHNSON - Data mode : A - Platform type : NAVIS_A - WMO inst type : 863 - FLOAT SERIAL : 0856 - Date : 2020 1 1
Float : 1902198 - Cycle : 57 - PI : GREGORY C. JOHNSON - Data mode : A - Platform type : NAVIS_A - WMO inst type : 863 - FLOAT SERIAL : 0856 - Date : 2020 1 11
Float : 1902198 - Cycle : 58 - PI : GREGORY C. JOHNSON - Data mode : A - Platform type : NAVIS_A - WMO inst type : 863 - FLOAT SERIAL : 0856 - Date : 2020 1 21
Float : 1902199 - Cycle : 47 - PI : GREGORY C. JOHNSON - Data mode : A - Platform type : NAVIS_A - WMO inst type : 863 - FLOAT SERIAL : 0857 - Date : 2019 12 26
Float : 1902199 - Cycle : 48 - PI : GREGORY C. JOHNSON - Data mode : A - Platform type : NAVIS_A - WMO inst type : 863 - FLOAT SERIAL : 0857 - Date : 2020 1 5
Float : 1902199 - Cycle : 49 - PI : GREGORY C. JOHNSON - Data mode : A - Platform type : NAVIS_A - WMO inst type : 863 - FLOAT SERIAL : 0857 - Date : 2020 1 15
Float : 1902199 - Cycle : 50 - PI : GREGORY C. JOHNSON - Data mode : A - Platform type : NAVIS_A - WMO inst type : 863 - FLOAT SERIAL : 0857 - Date : 2020 1 25
Float : 1902200 - Cycle : 49 - PI : GREGORY C. JOHNSON - Data mode : A - Platform type : NAVIS_A - WMO inst type : 863 - FLOAT SERIAL : 0858 - Date : 2019 10 25
Float : 2900799 - Cycle : 117 - PI : CHARLIE HORTON - Data mode : A - Platform type : APEX - WMO inst type : 846 - FLOAT SERIAL : 3288 - Date : 2008 4 29
Float : 2901371 - Cycle : 100 - PI : DR. CHARLIE HORTON - Data mode : A - Platform type : APEX - WMO inst type : 846 - FLOAT SERIAL : 4118 - Date : 2010 1 7
Float : 2901466 - Cycle : 107 - PI : CARL SZCZECHOWSKI - Data mode : A - Platform type : APEX - WMO inst type : 846 - FLOAT SERIAL : 6763 - Date : 2015 5 31
Float : 2901466 - Cycle : 152 - PI : CARL SZCZECHOWSKI - Data mode : A - Platform type : APEX - WMO inst type : 846 - FLOAT SERIAL : 6763 - Date : 2015 11 27
Float : 2901466 - Cycle : 159 - PI : CARL SZCZECHOWSKI - Data mode : A - Platform type : APEX - WMO inst type : 846 - FLOAT SERIAL : 6763 - Date : 2015 12 25
Float : 2902395 - Cycle : 149 - PI : BRECK OWENS, STEVEN JAYNE, P.E. ROBBINS - Data mode : R - Platform type : S2A - WMO inst type : 854 - FLOAT SERIAL : 7333 - Date : 2019 11 27
Float : 2902395 - Cycle : 151 - PI : BRECK OWENS, STEVEN JAYNE, P.E. ROBBINS - Data mode : R - Platform type : S2A - WMO inst type : 854 - FLOAT SERIAL : 7333 - Date : 2019 12 17
Float : 2902395 - Cycle : 152 - PI : BRECK OWENS, STEVEN JAYNE, P.E. ROBBINS - Data mode : R - Platform type : S2A - WMO inst type : 854 - FLOAT SERIAL : 7333 - Date : 2019 12 27
Float : 2902395 - Cycle : 153 - PI : BRECK OWENS, STEVEN JAYNE, P.E. ROBBINS - Data mode : R - Platform type : S2A - WMO inst type : 854 - FLOAT SERIAL : 7333 - Date : 2020 1 5
Float : 2902395 - Cycle : 154 - PI : BRECK OWENS, STEVEN JAYNE, P.E. ROBBINS - Data mode : R - Platform type : S2A - WMO inst type : 854 - FLOAT SERIAL : 7333 - Date : 2020 1 15
Float : 2902395 - Cycle : 155 - PI : BRECK OWENS, STEVEN JAYNE, P.E. ROBBINS - Data mode : R - Platform type : S2A - WMO inst type : 854 - FLOAT SERIAL : 7333 - Date : 2020 1 25
Float : 3901058 - Cycle : 311 - PI : BRECK OWENS, STEVEN JAYNE, P.E. ROBBINS - Data mode : R - Platform type : S2A - WMO inst type : 854 - FLOAT SERIAL : 7114 - Date : 2015 8 17
Float : 3901156 - Cycle : 210 - PI : GREGORY C. JOHNSON - Data mode : A - Platform type : NAVIS_A - WMO inst type : 863 - FLOAT SERIAL : 0162 - Date : 2019 12 26
Float : 3901156 - Cycle : 211 - PI : GREGORY C. JOHNSON - Data mode : A - Platform type : NAVIS_A - WMO inst type : 863 - FLOAT SERIAL : 0162 - Date : 2020 1 5
Float : 3901156 - Cycle : 213 - PI : GREGORY C. JOHNSON - Data mode : A - Platform type : NAVIS_A - WMO inst type : 863 - FLOAT SERIAL : 0162 - Date : 2020 1 25
Float : 3901173 - Cycle : 210 - PI : GREGORY C. JOHNSON - Data mode : A - Platform type : NAVIS_A - WMO inst type : 863 - FLOAT SERIAL : 0291 - Date : 2019 12 23
Float : 3901173 - Cycle : 211 - PI : GREGORY C. JOHNSON - Data mode : A - Platform type : NAVIS_A - WMO inst type : 863 - FLOAT SERIAL : 0291 - Date : 2020 1 2
Float : 3901173 - Cycle : 212 - PI : GREGORY C. JOHNSON - Data mode : A - Platform type : NAVIS_A - WMO inst type : 863 - FLOAT SERIAL : 0291 - Date : 2020 1 12
Float : 3901173 - Cycle : 213 - PI : GREGORY C. JOHNSON - Data mode : A - Platform type : NAVIS_A - WMO inst type : 863 - FLOAT SERIAL : 0291 - Date : 2020 1 22
Float : 3901179 - Cycle : 205 - PI : GREGORY C. JOHNSON - Data mode : A - Platform type : NAVIS_A - WMO inst type : 863 - FLOAT SERIAL : 0316 - Date : 2020 1 21
Float : 3901187 - Cycle : 211 - PI : GREGORY C. JOHNSON - Data mode : A - Platform type : NAVIS_A - WMO inst type : 863 - FLOAT SERIAL : 0300 - Date : 2019 12 26
Float : 3901187 - Cycle : 212 - PI : GREGORY C. JOHNSON - Data mode : A - Platform type : NAVIS_A - WMO inst type : 863 - FLOAT SERIAL : 0300 - Date : 2020 1 5
Float : 3901187 - Cycle : 213 - PI : GREGORY C. JOHNSON - Data mode : A - Platform type : NAVIS_A - WMO inst type : 863 - FLOAT SERIAL : 0300 - Date : 2020 1 15
Float : 3901187 - Cycle : 214 - PI : GREGORY C. JOHNSON - Data mode : A - Platform type : NAVIS_A - WMO inst type : 863 - FLOAT SERIAL : 0300 - Date : 2020 1 25
Float : 3901222 - Cycle : 161 - PI : BRECK OWENS, STEVEN JAYNE, P.E. ROBBINS - Data mode : R - Platform type : S2A - WMO inst type : 854 - FLOAT SERIAL : 7308 - Date : 2019 12 17
Float : 3901222 - Cycle : 162 - PI : BRECK OWENS, STEVEN JAYNE, P.E. ROBBINS - Data mode : R - Platform type : S2A - WMO inst type : 854 - FLOAT SERIAL : 7308 - Date : 2019 12 27
Float : 3901222 - Cycle : 163 - PI : BRECK OWENS, STEVEN JAYNE, P.E. ROBBINS - Data mode : R - Platform type : S2A - WMO inst type : 854 - FLOAT SERIAL : 7308 - Date : 2020 1 6
Float : 3901222 - Cycle : 164 - PI : BRECK OWENS, STEVEN JAYNE, P.E. ROBBINS - Data mode : R - Platform type : S2A - WMO inst type : 854 - FLOAT SERIAL : 7308 - Date : 2020 1 16
Float : 3901222 - Cycle : 165 - PI : BRECK OWENS, STEVEN JAYNE, P.E. ROBBINS - Data mode : R - Platform type : S2A - WMO inst type : 854 - FLOAT SERIAL : 7308 - Date : 2020 1 26
Float : 3901227 - Cycle : 160 - PI : BRECK OWENS, STEVEN JAYNE, P.E. ROBBINS - Data mode : R - Platform type : S2A - WMO inst type : 854 - FLOAT SERIAL : 7293 - Date : 2019 12 18
Float : 3901227 - Cycle : 164 - PI : BRECK OWENS, STEVEN JAYNE, P.E. ROBBINS - Data mode : R - Platform type : S2A - WMO inst type : 854 - FLOAT SERIAL : 7293 - Date : 2020 1 26
Float : 3901238 - Cycle : 107 - PI : BRECK OWENS, STEVEN JAYNE, P.E. ROBBINS - Data mode : R - Platform type : S2A - WMO inst type : 854 - FLOAT SERIAL : 7387 - Date : 2019 12 19
Float : 3901238 - Cycle : 108 - PI : BRECK OWENS, STEVEN JAYNE, P.E. ROBBINS - Data mode : R - Platform type : S2A - WMO inst type : 854 - FLOAT SERIAL : 7387 - Date : 2019 12 29
Float : 3901238 - Cycle : 109 - PI : BRECK OWENS, STEVEN JAYNE, P.E. ROBBINS - Data mode : R - Platform type : S2A - WMO inst type : 854 - FLOAT SERIAL : 7387 - Date : 2020 1 8
Float : 3901238 - Cycle : 110 - PI : BRECK OWENS, STEVEN JAYNE, P.E. ROBBINS - Data mode : R - Platform type : S2A - WMO inst type : 854 - FLOAT SERIAL : 7387 - Date : 2020 1 18
Float : 3901252 - Cycle : 106 - PI : DEAN ROEMMICH - Data mode : A - Platform type : SOLO_II - WMO inst type : 853 - FLOAT SERIAL : 8542 - Date : 2019 10 22
Float : 3901252 - Cycle : 107 - PI : DEAN ROEMMICH - Data mode : A - Platform type : SOLO_II - WMO inst type : 853 - FLOAT SERIAL : 8542 - Date : 2019 11 1
Float : 3901252 - Cycle : 108 - PI : DEAN ROEMMICH - Data mode : A - Platform type : SOLO_II - WMO inst type : 853 - FLOAT SERIAL : 8542 - Date : 2019 11 11
Float : 3901252 - Cycle : 109 - PI : DEAN ROEMMICH - Data mode : A - Platform type : SOLO_II - WMO inst type : 853 - FLOAT SERIAL : 8542 - Date : 2019 11 21
Float : 3901252 - Cycle : 110 - PI : DEAN ROEMMICH - Data mode : A - Platform type : SOLO_II - WMO inst type : 853 - FLOAT SERIAL : 8542 - Date : 2019 12 1
Float : 3901252 - Cycle : 111 - PI : DEAN ROEMMICH - Data mode : A - Platform type : SOLO_II - WMO inst type : 853 - FLOAT SERIAL : 8542 - Date : 2019 12 11
Float : 3901252 - Cycle : 112 - PI : DEAN ROEMMICH - Data mode : A - Platform type : SOLO_II - WMO inst type : 853 - FLOAT SERIAL : 8542 - Date : 2019 12 21
Float : 3901252 - Cycle : 113 - PI : DEAN ROEMMICH - Data mode : A - Platform type : SOLO_II - WMO inst type : 853 - FLOAT SERIAL : 8542 - Date : 2019 12 31
Float : 3901252 - Cycle : 114 - PI : DEAN ROEMMICH - Data mode : A - Platform type : SOLO_II - WMO inst type : 853 - FLOAT SERIAL : 8542 - Date : 2020 1 10
Float : 3901252 - Cycle : 115 - PI : DEAN ROEMMICH - Data mode : A - Platform type : SOLO_II - WMO inst type : 853 - FLOAT SERIAL : 8542 - Date : 2020 1 20
Float : 3901254 - Cycle : 141 - PI : GREGORY C. JOHNSON - Data mode : A - Platform type : NAVIS_A - WMO inst type : 863 - FLOAT SERIAL : 0560 - Date : 2020 1 26
Float : 3901259 - Cycle : 112 - PI : GREGORY C. JOHNSON - Data mode : A - Platform type : NAVIS_A - WMO inst type : 863 - FLOAT SERIAL : 0704 - Date : 2019 12 21
Float : 3901259 - Cycle : 113 - PI : GREGORY C. JOHNSON - Data mode : A - Platform type : NAVIS_A - WMO inst type : 863 - FLOAT SERIAL : 0704 - Date : 2019 12 31
Float : 3901259 - Cycle : 114 - PI : GREGORY C. JOHNSON - Data mode : A - Platform type : NAVIS_A - WMO inst type : 863 - FLOAT SERIAL : 0704 - Date : 2020 1 10
Float : 3901259 - Cycle : 115 - PI : GREGORY C. JOHNSON - Data mode : A - Platform type : NAVIS_A - WMO inst type : 863 - FLOAT SERIAL : 0704 - Date : 2020 1 20
Float : 3901266 - Cycle : 282 - PI : CARL SZCZECHOWSKI - Data mode : A - Platform type : S2A - WMO inst type : 854 - FLOAT SERIAL : 10027 - Date : 2020 1 15
Float : 3901272 - Cycle : 115 - PI : DEAN ROEMMICH - Data mode : A - Platform type : SOLO_II - WMO inst type : 853 - FLOAT SERIAL : 8549 - Date : 2019 12 11
Float : 3901272 - Cycle : 116 - PI : DEAN ROEMMICH - Data mode : A - Platform type : SOLO_II - WMO inst type : 853 - FLOAT SERIAL : 8549 - Date : 2019 12 21
Float : 3901272 - Cycle : 117 - PI : DEAN ROEMMICH - Data mode : A - Platform type : SOLO_II - WMO inst type : 853 - FLOAT SERIAL : 8549 - Date : 2019 12 31
Float : 3901272 - Cycle : 118 - PI : DEAN ROEMMICH - Data mode : A - Platform type : SOLO_II - WMO inst type : 853 - FLOAT SERIAL : 8549 - Date : 2020 1 10
Float : 3901272 - Cycle : 119 - PI : DEAN ROEMMICH - Data mode : A - Platform type : SOLO_II - WMO inst type : 853 - FLOAT SERIAL : 8549 - Date : 2020 1 20
Float : 3901282 - Cycle : 116 - PI : GREGORY C. JOHNSON - Data mode : A - Platform type : NAVIS_A - WMO inst type : 863 - FLOAT SERIAL : 0710 - Date : 2019 12 24
Float : 3901282 - Cycle : 117 - PI : GREGORY C. JOHNSON - Data mode : A - Platform type : NAVIS_A - WMO inst type : 863 - FLOAT SERIAL : 0710 - Date : 2020 1 3
Float : 3901282 - Cycle : 118 - PI : GREGORY C. JOHNSON - Data mode : A - Platform type : NAVIS_A - WMO inst type : 863 - FLOAT SERIAL : 0710 - Date : 2020 1 13
Float : 3901282 - Cycle : 119 - PI : GREGORY C. JOHNSON - Data mode : A - Platform type : NAVIS_A - WMO inst type : 863 - FLOAT SERIAL : 0710 - Date : 2020 1 23
Float : 3901289 - Cycle : 75 - PI : GREGORY C. JOHNSON - Data mode : A - Platform type : NAVIS_A - WMO inst type : 863 - FLOAT SERIAL : 0724 - Date : 2018 12 30
Float : 3901289 - Cycle : 76 - PI : GREGORY C. JOHNSON - Data mode : A - Platform type : NAVIS_A - WMO inst type : 863 - FLOAT SERIAL : 0724 - Date : 2019 1 9

Float : 3901289 - Cycle : 77 - PI : GREGORY C. JOHNSON - Data mode : A - Platform type : NAVIS_A - WMO inst type : 863 - FLOAT SERIAL : 0724 - Date : 2019 1 19
Float : 3901289 - Cycle : 78 - PI : GREGORY C. JOHNSON - Data mode : A - Platform type : NAVIS_A - WMO inst type : 863 - FLOAT SERIAL : 0724 - Date : 2019 1 29
Float : 3901289 - Cycle : 79 - PI : GREGORY C. JOHNSON - Data mode : A - Platform type : NAVIS_A - WMO inst type : 863 - FLOAT SERIAL : 0724 - Date : 2019 2 8
Float : 3901289 - Cycle : 111 - PI : GREGORY C. JOHNSON - Data mode : A - Platform type : NAVIS_A - WMO inst type : 863 - FLOAT SERIAL : 0724 - Date : 2019 12 25
Float : 3901289 - Cycle : 112 - PI : GREGORY C. JOHNSON - Data mode : A - Platform type : NAVIS_A - WMO inst type : 863 - FLOAT SERIAL : 0724 - Date : 2020 1 4
Float : 3901289 - Cycle : 113 - PI : GREGORY C. JOHNSON - Data mode : A - Platform type : NAVIS_A - WMO inst type : 863 - FLOAT SERIAL : 0724 - Date : 2020 1 14
Float : 3901289 - Cycle : 114 - PI : GREGORY C. JOHNSON - Data mode : A - Platform type : NAVIS_A - WMO inst type : 863 - FLOAT SERIAL : 0724 - Date : 2020 1 24
Float : 3901299 - Cycle : 46 - PI : GREGORY C. JOHNSON - Data mode : A - Platform type : NAVIS_A - WMO inst type : 863 - FLOAT SERIAL : 0868 - Date : 2019 12 25
Float : 3901299 - Cycle : 47 - PI : GREGORY C. JOHNSON - Data mode : A - Platform type : NAVIS_A - WMO inst type : 863 - FLOAT SERIAL : 0868 - Date : 2020 1 4
Float : 3901299 - Cycle : 48 - PI : GREGORY C. JOHNSON - Data mode : A - Platform type : NAVIS_A - WMO inst type : 863 - FLOAT SERIAL : 0868 - Date : 2020 1 14
Float : 3901299 - Cycle : 49 - PI : GREGORY C. JOHNSON - Data mode : A - Platform type : NAVIS_A - WMO inst type : 863 - FLOAT SERIAL : 0868 - Date : 2020 1 24
Float : 3901308 - Cycle : 21 - PI : GREGORY C. JOHNSON - Data mode : A - Platform type : NAVIS_A - WMO inst type : 863 - FLOAT SERIAL : 0980 - Date : 2020 1 5
Float : 3901479 - Cycle : 72 - PI : DEAN ROEMMICH - Data mode : A - Platform type : SOLO_II - WMO inst type : 853 - FLOAT SERIAL : 8590 - Date : 2019 9 23
Float : 3901479 - Cycle : 73 - PI : DEAN ROEMMICH - Data mode : A - Platform type : SOLO_II - WMO inst type : 853 - FLOAT SERIAL : 8590 - Date : 2019 10 3
Float : 3901803 - Cycle : 53 - PI : DEAN ROEMMICH - Data mode : R - Platform type : SOLO_II - WMO inst type : 853 - FLOAT SERIAL : 8677 - Date : 2019 12 29
Float : 3901819 - Cycle : 184 - PI : BRECK OWENS, STEVEN JAYNE, P.E. ROBBINS - Data mode : R - Platform type : S2A - WMO inst type : 854 - FLOAT SERIAL : 10088 - Date : 2019 12 25
Float : 3901819 - Cycle : 188 - PI : BRECK OWENS, STEVEN JAYNE, P.E. ROBBINS - Data mode : R - Platform type : S2A - WMO inst type : 854 - FLOAT SERIAL : 10088 - Date : 2020 1 14
Float : 3902145 - Cycle : 28 - PI : BRECK OWENS, STEVEN JAYNE, P.E. ROBBINS - Data mode : R - Platform type : S2A - WMO inst type : 854 - FLOAT SERIAL : 7531 - Date : 2019 12 18
Float : 3902145 - Cycle : 29 - PI : BRECK OWENS, STEVEN JAYNE, P.E. ROBBINS - Data mode : R - Platform type : S2A - WMO inst type : 854 - FLOAT SERIAL : 7531 - Date : 2019 12 28
Float : 3902145 - Cycle : 30 - PI : BRECK OWENS, STEVEN JAYNE, P.E. ROBBINS - Data mode : R - Platform type : S2A - WMO inst type : 854 - FLOAT SERIAL : 7531 - Date : 2020 1 7
Float : 3902145 - Cycle : 31 - PI : BRECK OWENS, STEVEN JAYNE, P.E. ROBBINS - Data mode : R - Platform type : S2A - WMO inst type : 854 - FLOAT SERIAL : 7531 - Date : 2020 1 17
Float : 3902145 - Cycle : 32 - PI : BRECK OWENS, STEVEN JAYNE, P.E. ROBBINS - Data mode : R - Platform type : S2A - WMO inst type : 854 - FLOAT SERIAL : 7531 - Date : 2020 1 27
Float : 3902166 - Cycle : 19 - PI : WIJFFELS, JAYNE, ROBBINS - Data mode : R - Platform type : S2A - WMO inst type : 854 - FLOAT SERIAL : 7572 - Date : 2020 1 27
Float : 3902176 - Cycle : 1 - PI : DEAN ROEMMICH - Data mode : R - Platform type : SOLO_II - WMO inst type : 853 - FLOAT SERIAL : 8824 - Date : 2019 12 21
Float : 3902177 - Cycle : 5 - PI : DEAN ROEMMICH - Data mode : R - Platform type : SOLO_II - WMO inst type : 853 - FLOAT SERIAL : 8825 - Date : 2020 1 4
Float : 3902178 - Cycle : 0 - PI : DEAN ROEMMICH - Data mode : R - Platform type : SOLO_II - WMO inst type : 853 - FLOAT SERIAL : 8826 - Date : 2019 12 23
Float : 3902180 - Cycle : 0 - PI : DEAN ROEMMICH - Data mode : R - Platform type : SOLO_II - WMO inst type : 853 - FLOAT SERIAL : 8828 - Date : 2019 12 24
Float : 3902182 - Cycle : 0 - PI : DEAN ROEMMICH - Data mode : R - Platform type : SOLO_II - WMO inst type : 853 - FLOAT SERIAL : 8830 - Date : 2019 12 25
Float : 3902183 - Cycle : 6 - PI : DEAN ROEMMICH - Data mode : R - Platform type : SOLO_II - WMO inst type : 853 - FLOAT SERIAL : 8831 - Date : 2020 1 18
Float : 3902184 - Cycle : 0 - PI : DEAN ROEMMICH - Data mode : R - Platform type : SOLO_II - WMO inst type : 853 - FLOAT SERIAL : 8832 - Date : 2020 1 5
Float : 3902186 - Cycle : 0 - PI : DEAN ROEMMICH - Data mode : R - Platform type : SOLO_II - WMO inst type : 853 - FLOAT SERIAL : 8834 - Date : 2020 1 8
Float : 3902190 - Cycle : 0 - PI : DEAN ROEMMICH - Data mode : R - Platform type : SOLO_II - WMO inst type : 853 - FLOAT SERIAL : 8838 - Date : 2020 1 11
Float : 3902195 - Cycle : 0 - PI : DEAN ROEMMICH - Data mode : R - Platform type : SOLO_II - WMO inst type : 853 - FLOAT SERIAL : 8843 - Date : 2020 1 15
Float : 3902204 - Cycle : 24 - PI : GREGORY C. JOHNSON - Data mode : A - Platform type : SOLO_D_MRV - WMO inst type : 874 - FLOAT SERIAL : 12033 - Date : 2020 1 15
Float : 3902207 - Cycle : 0 - PI : GREGORY C. JOHNSON - Data mode : A - Platform type : SOLO_D_MRV - WMO inst type : 874 - FLOAT SERIAL : 12036 - Date : 2020 1 2
Float : 3902244 - Cycle : 3 - PI : WHOI: WIJFFELS, JAYNE, ROBBINS - Data mode : R - Platform type : ALTO - WMO inst type : 873 - FLOAT SERIAL : 11049 - Date : 2020 1 2
Float : 4900268 - Cycle : 1 - PI : BRECK OWENS - Data mode : R - Platform type : SOLO_W - WMO inst type : 852 - FLOAT SERIAL : SL158 - Date : 2002 6 17
Float : 4901435 - Cycle : 283 - PI : GREGORY C. JOHNSON - Data mode : A - Platform type : APEX - WMO inst type : 846 - FLOAT SERIAL : 5323 - Date : 2019 12 30
Float : 4901591 - Cycle : 233 - PI : BRECK OWENS, STEVE JAYNE, P.E. ROBBINS - Data mode : R - Platform type : S2A - WMO inst type : 854 - FLOAT SERIAL : 7183 - Date : 2019 12 11
Float : 4901591 - Cycle : 234 - PI : BRECK OWENS, STEVE JAYNE, P.E. ROBBINS - Data mode : R - Platform type : S2A - WMO inst type : 854 - FLOAT SERIAL : 7183 - Date : 2019 12 21
Float : 4901591 - Cycle : 235 - PI : BRECK OWENS, STEVE JAYNE, P.E. ROBBINS - Data mode : R - Platform type : S2A - WMO inst type : 854 - FLOAT SERIAL : 7183 - Date : 2019 12 30
Float : 4901591 - Cycle : 236 - PI : BRECK OWENS, STEVE JAYNE, P.E. ROBBINS - Data mode : R - Platform type : S2A - WMO inst type : 854 - FLOAT SERIAL : 7183 - Date : 2020 1 9
Float : 4901591 - Cycle : 237 - PI : BRECK OWENS, STEVE JAYNE, P.E. ROBBINS - Data mode : R - Platform type : S2A - WMO inst type : 854 - FLOAT SERIAL : 7183 - Date : 2020 1 19
Float : 4901646 - Cycle : 315 - PI : CARL SZCZECHOWSKI - Data mode : A - Platform type : APEX - WMO inst type : 846 - FLOAT SERIAL : 6767 - Date : 2015 7 2
Float : 4901651 - Cycle : 201 - PI : GREGORY C. JOHNSON - Data mode : A - Platform type : NAVIS_A - WMO inst type : 863 - FLOAT SERIAL : 0330 - Date : 2020 1 17
Float : 4901670 - Cycle : 224 - PI : CARL SZCZECHOWSKI - Data mode : A - Platform type : APEX - WMO inst type : 846 - FLOAT SERIAL : 6782 - Date : 2015 10 1
Float : 4901710 - Cycle : 32 - PI : BRECK OWENS, STEVEN JAYNE, P.E. ROBBINS - Data mode : R - Platform type : S2A - WMO inst type : 854 - FLOAT SERIAL : 7121 - Date : 2015 9 4
Float : 4902074 - Cycle : 173 - PI : GREGORY C. JOHNSON - Data mode : A - Platform type : NAVIS_A - WMO inst type : 863 - FLOAT SERIAL : 0492 - Date : 2020 1 20
Float : 4902092 - Cycle : 105 - PI : CARL SZCZECHOWSKI - Data mode : A - Platform type : APEX - WMO inst type : 846 - FLOAT SERIAL : 6884 - Date : 2015 11 6
Float : 4902092 - Cycle : 106 - PI : CARL SZCZECHOWSKI - Data mode : A - Platform type : APEX - WMO inst type : 846 - FLOAT SERIAL : 6884 - Date : 2015 11 8
Float : 4902092 - Cycle : 107 - PI : CARL SZCZECHOWSKI - Data mode : A - Platform type : APEX - WMO inst type : 846 - FLOAT SERIAL : 6884 - Date : 2015 11 10
Float : 4902092 - Cycle : 108 - PI : CARL SZCZECHOWSKI - Data mode : A - Platform type : APEX - WMO inst type : 846 - FLOAT SERIAL : 6884 - Date : 2015 11 12
Float : 4902092 - Cycle : 109 - PI : CARL SZCZECHOWSKI - Data mode : A - Platform type : APEX - WMO inst type : 846 - FLOAT SERIAL : 6884 - Date : 2015 11 14
Float : 4902092 - Cycle : 110 - PI : CARL SZCZECHOWSKI - Data mode : A - Platform type : APEX - WMO inst type : 846 - FLOAT SERIAL : 6884 - Date : 2015 11 16
Float : 4902092 - Cycle : 111 - PI : CARL SZCZECHOWSKI - Data mode : A - Platform type : APEX - WMO inst type : 846 - FLOAT SERIAL : 6884 - Date : 2015 11 18
Float : 4902093 - Cycle : 21 - PI : CARL SZCZECHOWSKI - Data mode : A - Platform type : APEX - WMO inst type : 846 - FLOAT SERIAL : 6885 - Date : 2015 5 22
Float : 4902093 - Cycle : 53 - PI : CARL SZCZECHOWSKI - Data mode : A - Platform type : APEX - WMO inst type : 846 - FLOAT SERIAL : 6885 - Date : 2015 7 25
Float : 4902093 - Cycle : 58 - PI : CARL SZCZECHOWSKI - Data mode : A - Platform type : APEX - WMO inst type : 846 - FLOAT SERIAL : 6885 - Date : 2015 8 4
Float : 4902093 - Cycle : 66 - PI : CARL SZCZECHOWSKI - Data mode : A - Platform type : APEX - WMO inst type : 846 - FLOAT SERIAL : 6885 - Date : 2015 8 20
Float : 4902093 - Cycle : 67 - PI : CARL SZCZECHOWSKI - Data mode : A - Platform type : APEX - WMO inst type : 846 - FLOAT SERIAL : 6885 - Date : 2015 8 22
Float : 4902093 - Cycle : 72 - PI : CARL SZCZECHOWSKI - Data mode : A - Platform type : APEX - WMO inst type : 846 - FLOAT SERIAL : 6885 - Date : 2015 9 1
Float : 4902093 - Cycle : 73 - PI : CARL SZCZECHOWSKI - Data mode : A - Platform type : APEX - WMO inst type : 846 - FLOAT SERIAL : 6885 - Date : 2015 9 3
Float : 4902093 - Cycle : 76 - PI : CARL SZCZECHOWSKI - Data mode : A - Platform type : APEX - WMO inst type : 846 - FLOAT SERIAL : 6885 - Date : 2015 9 9
Float : 4902102 - Cycle : 3169 - PI : BRECK OWENS, STEVEN JAYNE, P.E. ROBBINS - Data mode : R - Platform type : S2A - WMO inst type : 854 - FLOAT SERIAL : 7299 - Date : 2019 12 29
Float : 4902102 - Cycle : 3170 - PI : BRECK OWENS, STEVEN JAYNE, P.E. ROBBINS - Data mode : R - Platform type : S2A - WMO inst type : 854 - FLOAT SERIAL : 7299 - Date : 2020 1 8
Float : 4902102 - Cycle : 3171 - PI : BRECK OWENS, STEVEN JAYNE, P.E. ROBBINS - Data mode : R - Platform type : S2A - WMO inst type : 854 - FLOAT SERIAL : 7299 - Date : 2020 1 18
Float : 4902102 - Cycle : 3172 - PI : BRECK OWENS, STEVEN JAYNE, P.E. ROBBINS - Data mode : R - Platform type : S2A - WMO inst type : 854 - FLOAT SERIAL : 7299 - Date : 2020 1 28
Float : 4902293 - Cycle : 3 - PI : CARL SZCZECHOWSKI - Data mode : A - Platform type : APEX - WMO inst type : 846 - FLOAT SERIAL : 6795 - Date : 2015 10 21
Float : 4902293 - Cycle : 4 - PI : CARL SZCZECHOWSKI - Data mode : A - Platform type : APEX - WMO inst type : 846 - FLOAT SERIAL : 6795 - Date : 2015 10 23
Float : 4902293 - Cycle : 14 - PI : CARL SZCZECHOWSKI - Data mode : A - Platform type : APEX - WMO inst type : 846 - FLOAT SERIAL : 6795 - Date : 2015 11 12
Float : 4902312 - Cycle : 133 - PI : GREGORY C. JOHNSON - Data mode : A - Platform type : NAVIS_A - WMO inst type : 863 - FLOAT SERIAL : 0605 - Date : 2019 12 22
Float : 4902312 - Cycle : 134 - PI : GREGORY C. JOHNSON - Data mode : A - Platform type : NAVIS_A - WMO inst type : 863 - FLOAT SERIAL : 0605 - Date : 2020 1 1
Float : 4902312 - Cycle : 135 - PI : GREGORY C. JOHNSON - Data mode : A - Platform type : NAVIS_A - WMO inst type : 863 - FLOAT SERIAL : 0605 - Date : 2020 1 11
Float : 4902312 - Cycle : 136 - PI : GREGORY C. JOHNSON - Data mode : A - Platform type : NAVIS_A - WMO inst type : 863 - FLOAT SERIAL : 0605 - Date : 2020 1 21
Float : 4902893 - Cycle : 114 - PI : GREGORY C. JOHNSON - Data mode : A - Platform type : NAVIS_A - WMO inst type : 863 - FLOAT SERIAL : 0625 - Date : 2019 12 21
Float : 4902893 - Cycle : 115 - PI : GREGORY C. JOHNSON - Data mode : A - Platform type : NAVIS_A - WMO inst type : 863 - FLOAT SERIAL : 0625 - Date : 2019 12 31
Float : 4902893 - Cycle : 116 - PI : GREGORY C. JOHNSON - Data mode : A - Platform type : NAVIS_A - WMO inst type : 863 - FLOAT SERIAL : 0625 - Date : 2020 1 10
Float : 4902893 - Cycle : 117 - PI : GREGORY C. JOHNSON - Data mode : A - Platform type : NAVIS_A - WMO inst type : 863 - FLOAT SERIAL : 0625 - Date : 2020 1 20
Float : 4902895 - Cycle : 114 - PI : GREGORY C. JOHNSON - Data mode : A - Platform type : NAVIS_A - WMO inst type : 863 - FLOAT SERIAL : 0627 - Date : 2019 12 25

Float : 4902895 - Cycle : 115 - PI : GREGORY C. JOHNSON - Data mode : A - Platform type : NAVIS_A - WMO inst type : 863 - FLOAT SERIAL : 0627 - Date : 2020 1 4
Float : 4902895 - Cycle : 116 - PI : GREGORY C. JOHNSON - Data mode : A - Platform type : NAVIS_A - WMO inst type : 863 - FLOAT SERIAL : 0627 - Date : 2020 1 14
Float : 4902895 - Cycle : 117 - PI : GREGORY C. JOHNSON - Data mode : A - Platform type : NAVIS_A - WMO inst type : 863 - FLOAT SERIAL : 0627 - Date : 2020 1 24
Float : 4902899 - Cycle : 111 - PI : GREGORY C. JOHNSON - Data mode : A - Platform type : NAVIS_A - WMO inst type : 863 - FLOAT SERIAL : 0717 - Date : 2019 12 21
Float : 4902899 - Cycle : 112 - PI : GREGORY C. JOHNSON - Data mode : A - Platform type : NAVIS_A - WMO inst type : 863 - FLOAT SERIAL : 0717 - Date : 2019 12 31
Float : 4902899 - Cycle : 113 - PI : GREGORY C. JOHNSON - Data mode : A - Platform type : NAVIS_A - WMO inst type : 863 - FLOAT SERIAL : 0717 - Date : 2020 1 10
Float : 4902899 - Cycle : 114 - PI : GREGORY C. JOHNSON - Data mode : A - Platform type : NAVIS_A - WMO inst type : 863 - FLOAT SERIAL : 0717 - Date : 2020 1 20
Float : 4902901 - Cycle : 111 - PI : GREGORY C. JOHNSON - Data mode : A - Platform type : NAVIS_A - WMO inst type : 863 - FLOAT SERIAL : 0723 - Date : 2019 12 24
Float : 4902901 - Cycle : 112 - PI : GREGORY C. JOHNSON - Data mode : A - Platform type : NAVIS_A - WMO inst type : 863 - FLOAT SERIAL : 0723 - Date : 2020 1 3
Float : 4902901 - Cycle : 113 - PI : GREGORY C. JOHNSON - Data mode : A - Platform type : NAVIS_A - WMO inst type : 863 - FLOAT SERIAL : 0723 - Date : 2020 1 13
Float : 4902901 - Cycle : 114 - PI : GREGORY C. JOHNSON - Data mode : A - Platform type : NAVIS_A - WMO inst type : 863 - FLOAT SERIAL : 0723 - Date : 2020 1 23
Float : 4902905 - Cycle : 109 - PI : GREGORY C. JOHNSON - Data mode : A - Platform type : NAVIS_A - WMO inst type : 863 - FLOAT SERIAL : 0730 - Date : 2019 12 24
Float : 4902905 - Cycle : 110 - PI : GREGORY C. JOHNSON - Data mode : A - Platform type : NAVIS_A - WMO inst type : 863 - FLOAT SERIAL : 0730 - Date : 2020 1 3
Float : 4902905 - Cycle : 111 - PI : GREGORY C. JOHNSON - Data mode : A - Platform type : NAVIS_A - WMO inst type : 863 - FLOAT SERIAL : 0730 - Date : 2020 1 13
Float : 4902905 - Cycle : 112 - PI : GREGORY C. JOHNSON - Data mode : A - Platform type : NAVIS_A - WMO inst type : 863 - FLOAT SERIAL : 0730 - Date : 2020 1 23
Float : 4902911 - Cycle : 95 - PI : BRECK OWENS, STEVEN JAYNE, P.E. ROBBINS - Data mode : A - Platform type : S2A - WMO inst type : 854 - FLOAT SERIAL : 7423 - Date : 2019 10 14
Float : 4902911 - Cycle : 96 - PI : BRECK OWENS, STEVEN JAYNE, P.E. ROBBINS - Data mode : A - Platform type : S2A - WMO inst type : 854 - FLOAT SERIAL : 7423 - Date : 2019 10 24
Float : 4902911 - Cycle : 97 - PI : BRECK OWENS, STEVEN JAYNE, P.E. ROBBINS - Data mode : A - Platform type : S2A - WMO inst type : 854 - FLOAT SERIAL : 7423 - Date : 2019 11 3
Float : 4902911 - Cycle : 98 - PI : BRECK OWENS, STEVEN JAYNE, P.E. ROBBINS - Data mode : A - Platform type : S2A - WMO inst type : 854 - FLOAT SERIAL : 7423 - Date : 2019 11 13
Float : 4902911 - Cycle : 99 - PI : BRECK OWENS, STEVEN JAYNE, P.E. ROBBINS - Data mode : A - Platform type : S2A - WMO inst type : 854 - FLOAT SERIAL : 7423 - Date : 2019 11 23
Float : 4902911 - Cycle : 100 - PI : BRECK OWENS, STEVEN JAYNE, P.E. ROBBINS - Data mode : A - Platform type : S2A - WMO inst type : 854 - FLOAT SERIAL : 7423 - Date : 2019 12 3
Float : 4902911 - Cycle : 101 - PI : BRECK OWENS, STEVEN JAYNE, P.E. ROBBINS - Data mode : A - Platform type : S2A - WMO inst type : 854 - FLOAT SERIAL : 7423 - Date : 2019 12 13
Float : 4902911 - Cycle : 102 - PI : BRECK OWENS, STEVEN JAYNE, P.E. ROBBINS - Data mode : A - Platform type : S2A - WMO inst type : 854 - FLOAT SERIAL : 7423 - Date : 2019 12 23
Float : 4902911 - Cycle : 103 - PI : BRECK OWENS, STEVEN JAYNE, P.E. ROBBINS - Data mode : A - Platform type : S2A - WMO inst type : 854 - FLOAT SERIAL : 7423 - Date : 2020 1 2
Float : 4902911 - Cycle : 104 - PI : BRECK OWENS, STEVEN JAYNE, P.E. ROBBINS - Data mode : A - Platform type : S2A - WMO inst type : 854 - FLOAT SERIAL : 7423 - Date : 2020 1 12
Float : 4902915 - Cycle : 187 - PI : BRECK OWENS, STEVEN JAYNE, P.E. ROBBINS - Data mode : R - Platform type : S2A - WMO inst type : 854 - FLOAT SERIAL : 7427 - Date : 2019 12 19
Float : 4902915 - Cycle : 188 - PI : BRECK OWENS, STEVEN JAYNE, P.E. ROBBINS - Data mode : R - Platform type : S2A - WMO inst type : 854 - FLOAT SERIAL : 7427 - Date : 2019 12 24
Float : 4902915 - Cycle : 189 - PI : BRECK OWENS, STEVEN JAYNE, P.E. ROBBINS - Data mode : R - Platform type : S2A - WMO inst type : 854 - FLOAT SERIAL : 7427 - Date : 2019 12 28
Float : 4902915 - Cycle : 190 - PI : BRECK OWENS, STEVEN JAYNE, P.E. ROBBINS - Data mode : R - Platform type : S2A - WMO inst type : 854 - FLOAT SERIAL : 7427 - Date : 2020 1 2
Float : 4902915 - Cycle : 191 - PI : BRECK OWENS, STEVEN JAYNE, P.E. ROBBINS - Data mode : R - Platform type : S2A - WMO inst type : 854 - FLOAT SERIAL : 7427 - Date : 2020 1 7
Float : 4902915 - Cycle : 192 - PI : BRECK OWENS, STEVEN JAYNE, P.E. ROBBINS - Data mode : R - Platform type : S2A - WMO inst type : 854 - FLOAT SERIAL : 7427 - Date : 2020 1 12
Float : 4902915 - Cycle : 193 - PI : BRECK OWENS, STEVEN JAYNE, P.E. ROBBINS - Data mode : R - Platform type : S2A - WMO inst type : 854 - FLOAT SERIAL : 7427 - Date : 2020 1 17
Float : 4902915 - Cycle : 194 - PI : BRECK OWENS, STEVEN JAYNE, P.E. ROBBINS - Data mode : R - Platform type : S2A - WMO inst type : 854 - FLOAT SERIAL : 7427 - Date : 2020 1 22
Float : 4902915 - Cycle : 195 - PI : BRECK OWENS, STEVEN JAYNE, P.E. ROBBINS - Data mode : R - Platform type : S2A - WMO inst type : 854 - FLOAT SERIAL : 7427 - Date : 2020 1 27
Float : 4902917 - Cycle : 14 - PI : BRECK OWENS, STEVEN JAYNE, P.E. ROBBINS - Data mode : R - Platform type : S2A - WMO inst type : 854 - FLOAT SERIAL : 10085 - Date : 2017 8 8
Float : 4902917 - Cycle : 15 - PI : BRECK OWENS, STEVEN JAYNE, P.E. ROBBINS - Data mode : R - Platform type : S2A - WMO inst type : 854 - FLOAT SERIAL : 10085 - Date : 2017 8 18
Float : 4902917 - Cycle : 16 - PI : BRECK OWENS, STEVEN JAYNE, P.E. ROBBINS - Data mode : R - Platform type : S2A - WMO inst type : 854 - FLOAT SERIAL : 10085 - Date : 2017 8 23
Float : 4902917 - Cycle : 20 - PI : BRECK OWENS, STEVEN JAYNE, P.E. ROBBINS - Data mode : R - Platform type : S2A - WMO inst type : 854 - FLOAT SERIAL : 10085 - Date : 2017 9 12
Float : 4902917 - Cycle : 22 - PI : BRECK OWENS, STEVEN JAYNE, P.E. ROBBINS - Data mode : R - Platform type : S2A - WMO inst type : 854 - FLOAT SERIAL : 10085 - Date : 2017 9 22
Float : 4902917 - Cycle : 23 - PI : BRECK OWENS, STEVEN JAYNE, P.E. ROBBINS - Data mode : R - Platform type : S2A - WMO inst type : 854 - FLOAT SERIAL : 10085 - Date : 2017 9 26
Float : 4902917 - Cycle : 24 - PI : BRECK OWENS, STEVEN JAYNE, P.E. ROBBINS - Data mode : R - Platform type : S2A - WMO inst type : 854 - FLOAT SERIAL : 10085 - Date : 2017 10 1
Float : 4902917 - Cycle : 25 - PI : BRECK OWENS, STEVEN JAYNE, P.E. ROBBINS - Data mode : R - Platform type : S2A - WMO inst type : 854 - FLOAT SERIAL : 10085 - Date : 2017 10 7
Float : 4902917 - Cycle : 26 - PI : BRECK OWENS, STEVEN JAYNE, P.E. ROBBINS - Data mode : R - Platform type : S2A - WMO inst type : 854 - FLOAT SERIAL : 10085 - Date : 2017 10 12
Float : 4902917 - Cycle : 34 - PI : BRECK OWENS, STEVEN JAYNE, P.E. ROBBINS - Data mode : R - Platform type : S2A - WMO inst type : 854 - FLOAT SERIAL : 10085 - Date : 2017 11 21
Float : 4902917 - Cycle : 47 - PI : BRECK OWENS, STEVEN JAYNE, P.E. ROBBINS - Data mode : R - Platform type : S2A - WMO inst type : 854 - FLOAT SERIAL : 10085 - Date : 2018 1 25
Float : 4902917 - Cycle : 71 - PI : BRECK OWENS, STEVEN JAYNE, P.E. ROBBINS - Data mode : R - Platform type : S2A - WMO inst type : 854 - FLOAT SERIAL : 10085 - Date : 2018 5 26
Float : 4902917 - Cycle : 83 - PI : BRECK OWENS, STEVEN JAYNE, P.E. ROBBINS - Data mode : R - Platform type : S2A - WMO inst type : 854 - FLOAT SERIAL : 10085 - Date : 2018 7 25
Float : 4902917 - Cycle : 91 - PI : BRECK OWENS, STEVEN JAYNE, P.E. ROBBINS - Data mode : R - Platform type : S2A - WMO inst type : 854 - FLOAT SERIAL : 10085 - Date : 2018 9 4
Float : 4902917 - Cycle : 95 - PI : BRECK OWENS, STEVEN JAYNE, P.E. ROBBINS - Data mode : R - Platform type : S2A - WMO inst type : 854 - FLOAT SERIAL : 10085 - Date : 2018 9 24
Float : 4902917 - Cycle : 99 - PI : BRECK OWENS, STEVEN JAYNE, P.E. ROBBINS - Data mode : R - Platform type : S2A - WMO inst type : 854 - FLOAT SERIAL : 10085 - Date : 2018 10 14
Float : 4902917 - Cycle : 103 - PI : BRECK OWENS, STEVEN JAYNE, P.E. ROBBINS - Data mode : R - Platform type : S2A - WMO inst type : 854 - FLOAT SERIAL : 10085 - Date : 2018 11 3
Float : 4902917 - Cycle : 107 - PI : BRECK OWENS, STEVEN JAYNE, P.E. ROBBINS - Data mode : R - Platform type : S2A - WMO inst type : 854 - FLOAT SERIAL : 10085 - Date : 2018 11 23
Float : 4902921 - Cycle : 84 - PI : BRECK OWENS, STEVEN JAYNE, P.E. ROBBINS - Data mode : R - Platform type : S2A - WMO inst type : 854 - FLOAT SERIAL : 10092 - Date : 2019 12 26
Float : 4902928 - Cycle : 74 - PI : BRECK OWENS, STEVEN JAYNE, P.E. ROBBINS - Data mode : R - Platform type : S2A - WMO inst type : 854 - FLOAT SERIAL : 7463 - Date : 2019 12 13
Float : 4903009 - Cycle : 68 - PI : DEAN ROEMMICH - Data mode : R - Platform type : SOLO_II - WMO inst type : 853 - FLOAT SERIAL : 8641 - Date : 2019 12 14
Float : 4903009 - Cycle : 70 - PI : DEAN ROEMMICH - Data mode : R - Platform type : SOLO_II - WMO inst type : 853 - FLOAT SERIAL : 8641 - Date : 2020 1 3
Float : 4903030 - Cycle : 55 - PI : GREGORY C. JOHNSON - Data mode : A - Platform type : NAVIS_A - WMO inst type : 863 - FLOAT SERIAL : 0940 - Date : 2019 12 28
Float : 4903030 - Cycle : 56 - PI : GREGORY C. JOHNSON - Data mode : A - Platform type : NAVIS_A - WMO inst type : 863 - FLOAT SERIAL : 0940 - Date : 2020 1 7
Float : 4903030 - Cycle : 57 - PI : GREGORY C. JOHNSON - Data mode : A - Platform type : NAVIS_A - WMO inst type : 863 - FLOAT SERIAL : 0940 - Date : 2020 1 17
Float : 4903030 - Cycle : 58 - PI : GREGORY C. JOHNSON - Data mode : A - Platform type : NAVIS_A - WMO inst type : 863 - FLOAT SERIAL : 0940 - Date : 2020 1 27
Float : 4903033 - Cycle : 55 - PI : GREGORY C. JOHNSON - Data mode : A - Platform type : NAVIS_A - WMO inst type : 863 - FLOAT SERIAL : 0943 - Date : 2019 12 30
Float : 4903033 - Cycle : 56 - PI : GREGORY C. JOHNSON - Data mode : A - Platform type : NAVIS_A - WMO inst type : 863 - FLOAT SERIAL : 0943 - Date : 2020 1 9
Float : 4903033 - Cycle : 57 - PI : GREGORY C. JOHNSON - Data mode : A - Platform type : NAVIS_A - WMO inst type : 863 - FLOAT SERIAL : 0943 - Date : 2020 1 19
Float : 4903034 - Cycle : 46 - PI : GREGORY C. JOHNSON - Data mode : A - Platform type : NAVIS_A - WMO inst type : 863 - FLOAT SERIAL : 0960 - Date : 2019 12 27
Float : 4903034 - Cycle : 47 - PI : GREGORY C. JOHNSON - Data mode : A - Platform type : NAVIS_A - WMO inst type : 863 - FLOAT SERIAL : 0960 - Date : 2020 1 6
Float : 4903034 - Cycle : 48 - PI : GREGORY C. JOHNSON - Data mode : A - Platform type : NAVIS_A - WMO inst type : 863 - FLOAT SERIAL : 0960 - Date : 2020 1 16
Float : 4903036 - Cycle : 75 - PI : BRECK OWENS, STEVEN JAYNE, P.E. ROBBINS - Data mode : R - Platform type : S2A - WMO inst type : 854 - FLOAT SERIAL : 7466 - Date : 2019 12 26
Float : 4903172 - Cycle : 47 - PI : GREGORY C. JOHNSON - Data mode : A - Platform type : NAVIS_A - WMO inst type : 863 - FLOAT SERIAL : 0965 - Date : 2020 1 12
Float : 4903172 - Cycle : 48 - PI : GREGORY C. JOHNSON - Data mode : A - Platform type : NAVIS_A - WMO inst type : 863 - FLOAT SERIAL : 0965 - Date : 2020 1 22
Float : 4903173 - Cycle : 44 - PI : GREGORY C. JOHNSON - Data mode : A - Platform type : NAVIS_A - WMO inst type : 863 - FLOAT SERIAL : 0966 - Date : 2019 12 25
Float : 4903173 - Cycle : 45 - PI : GREGORY C. JOHNSON - Data mode : A - Platform type : NAVIS_A - WMO inst type : 863 - FLOAT SERIAL : 0966 - Date : 2020 1 4
Float : 4903173 - Cycle : 46 - PI : GREGORY C. JOHNSON - Data mode : A - Platform type : NAVIS_A - WMO inst type : 863 - FLOAT SERIAL : 0966 - Date : 2020 1 14
Float : 4903173 - Cycle : 47 - PI : GREGORY C. JOHNSON - Data mode : A - Platform type : NAVIS_A - WMO inst type : 863 - FLOAT SERIAL : 0966 - Date : 2020 1 24
Float : 4903174 - Cycle : 44 - PI : GREGORY C. JOHNSON - Data mode : A - Platform type : NAVIS_A - WMO inst type : 863 - FLOAT SERIAL : 0967 - Date : 2019 12 23
Float : 4903174 - Cycle : 45 - PI : GREGORY C. JOHNSON - Data mode : A - Platform type : NAVIS_A - WMO inst type : 863 - FLOAT SERIAL : 0967 - Date : 2020 1 2
Float : 4903174 - Cycle : 46 - PI : GREGORY C. JOHNSON - Data mode : A - Platform type : NAVIS_A - WMO inst type : 863 - FLOAT SERIAL : 0967 - Date : 2020 1 12
Float : 4903174 - Cycle : 47 - PI : GREGORY C. JOHNSON - Data mode : A - Platform type : NAVIS_A - WMO inst type : 863 - FLOAT SERIAL : 0967 - Date : 2020 1 22
Float : 4903175 - Cycle : 43 - PI : GREGORY C. JOHNSON - Data mode : A - Platform type : NAVIS_A - WMO inst type : 863 - FLOAT SERIAL : 0968 - Date : 2019 12 23
Float : 4903175 - Cycle : 44 - PI : GREGORY C. JOHNSON - Data mode : A - Platform type : NAVIS_A - WMO inst type : 863 - FLOAT SERIAL : 0968 - Date : 2020 1 2

Float : 4903175 - Cycle : 45 - PI : GREGORY C. JOHNSON - Data mode : A - Platform type : NAVIS_A - WMO inst type : 863 - FLOAT SERIAL : 0968 - Date : 2020 1 12
Float : 4903175 - Cycle : 46 - PI : GREGORY C. JOHNSON - Data mode : A - Platform type : NAVIS_A - WMO inst type : 863 - FLOAT SERIAL : 0968 - Date : 2020 1 22
Float : 4903177 - Cycle : 42 - PI : GREGORY C. JOHNSON - Data mode : A - Platform type : NAVIS_A - WMO inst type : 863 - FLOAT SERIAL : 0970 - Date : 2019 12 23
Float : 4903177 - Cycle : 43 - PI : GREGORY C. JOHNSON - Data mode : A - Platform type : NAVIS_A - WMO inst type : 863 - FLOAT SERIAL : 0970 - Date : 2020 1 2
Float : 4903177 - Cycle : 44 - PI : GREGORY C. JOHNSON - Data mode : A - Platform type : NAVIS_A - WMO inst type : 863 - FLOAT SERIAL : 0970 - Date : 2020 1 12
Float : 4903177 - Cycle : 45 - PI : GREGORY C. JOHNSON - Data mode : A - Platform type : NAVIS_A - WMO inst type : 863 - FLOAT SERIAL : 0970 - Date : 2020 1 22
Float : 4903180 - Cycle : 44 - PI : GREGORY C. JOHNSON - Data mode : A - Platform type : NAVIS_A - WMO inst type : 863 - FLOAT SERIAL : 0973 - Date : 2020 1 19
Float : 4903181 - Cycle : 43 - PI : GREGORY C. JOHNSON - Data mode : A - Platform type : NAVIS_A - WMO inst type : 863 - FLOAT SERIAL : 0974 - Date : 2019 12 29
Float : 4903181 - Cycle : 44 - PI : GREGORY C. JOHNSON - Data mode : A - Platform type : NAVIS_A - WMO inst type : 863 - FLOAT SERIAL : 0974 - Date : 2020 1 8
Float : 4903181 - Cycle : 45 - PI : GREGORY C. JOHNSON - Data mode : A - Platform type : NAVIS_A - WMO inst type : 863 - FLOAT SERIAL : 0974 - Date : 2020 1 18
Float : 4903183 - Cycle : 24 - PI : GREGORY C. JOHNSON - Data mode : A - Platform type : NAVIS_A - WMO inst type : 863 - FLOAT SERIAL : 0977 - Date : 2019 6 22
Float : 4903183 - Cycle : 25 - PI : GREGORY C. JOHNSON - Data mode : A - Platform type : NAVIS_A - WMO inst type : 863 - FLOAT SERIAL : 0977 - Date : 2019 7 2
Float : 4903183 - Cycle : 26 - PI : GREGORY C. JOHNSON - Data mode : A - Platform type : NAVIS_A - WMO inst type : 863 - FLOAT SERIAL : 0977 - Date : 2019 7 12
Float : 4903183 - Cycle : 27 - PI : GREGORY C. JOHNSON - Data mode : A - Platform type : NAVIS_A - WMO inst type : 863 - FLOAT SERIAL : 0977 - Date : 2019 7 22
Float : 4903183 - Cycle : 28 - PI : GREGORY C. JOHNSON - Data mode : A - Platform type : NAVIS_A - WMO inst type : 863 - FLOAT SERIAL : 0977 - Date : 2019 8 1
Float : 4903183 - Cycle : 29 - PI : GREGORY C. JOHNSON - Data mode : A - Platform type : NAVIS_A - WMO inst type : 863 - FLOAT SERIAL : 0977 - Date : 2019 8 11
Float : 4903183 - Cycle : 30 - PI : GREGORY C. JOHNSON - Data mode : A - Platform type : NAVIS_A - WMO inst type : 863 - FLOAT SERIAL : 0977 - Date : 2019 8 21
Float : 4903183 - Cycle : 31 - PI : GREGORY C. JOHNSON - Data mode : A - Platform type : NAVIS_A - WMO inst type : 863 - FLOAT SERIAL : 0977 - Date : 2019 8 31
Float : 4903183 - Cycle : 32 - PI : GREGORY C. JOHNSON - Data mode : A - Platform type : NAVIS_A - WMO inst type : 863 - FLOAT SERIAL : 0977 - Date : 2019 9 10
Float : 4903183 - Cycle : 33 - PI : GREGORY C. JOHNSON - Data mode : A - Platform type : NAVIS_A - WMO inst type : 863 - FLOAT SERIAL : 0977 - Date : 2019 9 20
Float : 4903183 - Cycle : 34 - PI : GREGORY C. JOHNSON - Data mode : A - Platform type : NAVIS_A - WMO inst type : 863 - FLOAT SERIAL : 0977 - Date : 2019 9 30
Float : 4903183 - Cycle : 35 - PI : GREGORY C. JOHNSON - Data mode : A - Platform type : NAVIS_A - WMO inst type : 863 - FLOAT SERIAL : 0977 - Date : 2019 10 10
Float : 4903183 - Cycle : 36 - PI : GREGORY C. JOHNSON - Data mode : A - Platform type : NAVIS_A - WMO inst type : 863 - FLOAT SERIAL : 0977 - Date : 2019 10 20
Float : 4903183 - Cycle : 37 - PI : GREGORY C. JOHNSON - Data mode : A - Platform type : NAVIS_A - WMO inst type : 863 - FLOAT SERIAL : 0977 - Date : 2019 10 30
Float : 4903183 - Cycle : 38 - PI : GREGORY C. JOHNSON - Data mode : A - Platform type : NAVIS_A - WMO inst type : 863 - FLOAT SERIAL : 0977 - Date : 2019 11 9
Float : 4903183 - Cycle : 39 - PI : GREGORY C. JOHNSON - Data mode : A - Platform type : NAVIS_A - WMO inst type : 863 - FLOAT SERIAL : 0977 - Date : 2019 11 19
Float : 4903183 - Cycle : 40 - PI : GREGORY C. JOHNSON - Data mode : A - Platform type : NAVIS_A - WMO inst type : 863 - FLOAT SERIAL : 0977 - Date : 2019 11 29
Float : 4903183 - Cycle : 41 - PI : GREGORY C. JOHNSON - Data mode : A - Platform type : NAVIS_A - WMO inst type : 863 - FLOAT SERIAL : 0977 - Date : 2019 12 9
Float : 4903183 - Cycle : 42 - PI : GREGORY C. JOHNSON - Data mode : A - Platform type : NAVIS_A - WMO inst type : 863 - FLOAT SERIAL : 0977 - Date : 2019 12 19
Float : 4903183 - Cycle : 43 - PI : GREGORY C. JOHNSON - Data mode : A - Platform type : NAVIS_A - WMO inst type : 863 - FLOAT SERIAL : 0977 - Date : 2019 12 29
Float : 4903183 - Cycle : 44 - PI : GREGORY C. JOHNSON - Data mode : A - Platform type : NAVIS_A - WMO inst type : 863 - FLOAT SERIAL : 0977 - Date : 2020 1 8
Float : 4903183 - Cycle : 45 - PI : GREGORY C. JOHNSON - Data mode : A - Platform type : NAVIS_A - WMO inst type : 863 - FLOAT SERIAL : 0977 - Date : 2020 1 18
Float : 4903183 - Cycle : 46 - PI : GREGORY C. JOHNSON - Data mode : A - Platform type : NAVIS_A - WMO inst type : 863 - FLOAT SERIAL : 0977 - Date : 2020 1 28
Float : 4903184 - Cycle : 43 - PI : GREGORY C. JOHNSON - Data mode : A - Platform type : NAVIS_A - WMO inst type : 863 - FLOAT SERIAL : 0978 - Date : 2019 12 29
Float : 4903184 - Cycle : 44 - PI : GREGORY C. JOHNSON - Data mode : A - Platform type : NAVIS_A - WMO inst type : 863 - FLOAT SERIAL : 0978 - Date : 2020 1 8
Float : 4903184 - Cycle : 45 - PI : GREGORY C. JOHNSON - Data mode : A - Platform type : NAVIS_A - WMO inst type : 863 - FLOAT SERIAL : 0978 - Date : 2020 1 18
Float : 4903186 - Cycle : 28 - PI : GREGORY C. JOHNSON - Data mode : A - Platform type : NAVIS_A - WMO inst type : 863 - FLOAT SERIAL : 0981 - Date : 2019 12 21
Float : 4903186 - Cycle : 29 - PI : GREGORY C. JOHNSON - Data mode : A - Platform type : NAVIS_A - WMO inst type : 863 - FLOAT SERIAL : 0981 - Date : 2019 12 31
Float : 4903186 - Cycle : 30 - PI : GREGORY C. JOHNSON - Data mode : A - Platform type : NAVIS_A - WMO inst type : 863 - FLOAT SERIAL : 0981 - Date : 2020 1 10
Float : 4903186 - Cycle : 31 - PI : GREGORY C. JOHNSON - Data mode : A - Platform type : NAVIS_A - WMO inst type : 863 - FLOAT SERIAL : 0981 - Date : 2020 1 20
Float : 4903188 - Cycle : 29 - PI : GREGORY C. JOHNSON - Data mode : A - Platform type : NAVIS_A - WMO inst type : 863 - FLOAT SERIAL : 0983 - Date : 2019 12 29
Float : 4903188 - Cycle : 30 - PI : GREGORY C. JOHNSON - Data mode : A - Platform type : NAVIS_A - WMO inst type : 863 - FLOAT SERIAL : 0983 - Date : 2020 1 8
Float : 4903188 - Cycle : 31 - PI : GREGORY C. JOHNSON - Data mode : A - Platform type : NAVIS_A - WMO inst type : 863 - FLOAT SERIAL : 0983 - Date : 2020 1 18
Float : 4903202 - Cycle : 24 - PI : GREGORY C. JOHNSON - Data mode : A - Platform type : NAVIS_A - WMO inst type : 863 - FLOAT SERIAL : 1023 - Date : 2020 1 13
Float : 4903202 - Cycle : 25 - PI : GREGORY C. JOHNSON - Data mode : A - Platform type : NAVIS_A - WMO inst type : 863 - FLOAT SERIAL : 1023 - Date : 2020 1 23
Float : 4903283 - Cycle : 1 - PI : GREGORY C. JOHNSON - Data mode : A - Platform type : NAVIS_A - WMO inst type : 863 - FLOAT SERIAL : 1038 - Date : 2019 6 24
Float : 4903283 - Cycle : 22 - PI : GREGORY C. JOHNSON - Data mode : A - Platform type : NAVIS_A - WMO inst type : 863 - FLOAT SERIAL : 1038 - Date : 2020 1 20
Float : 5901411 - Cycle : 446 - PI : GREGORY C. JOHNSON - Data mode : A - Platform type : APEX - WMO inst type : 846 - FLOAT SERIAL : 3017 - Date : 2019 12 23
Float : 5901411 - Cycle : 447 - PI : GREGORY C. JOHNSON - Data mode : A - Platform type : APEX - WMO inst type : 846 - FLOAT SERIAL : 3017 - Date : 2020 1 3
Float : 5901411 - Cycle : 448 - PI : GREGORY C. JOHNSON - Data mode : A - Platform type : APEX - WMO inst type : 846 - FLOAT SERIAL : 3017 - Date : 2020 1 13
Float : 5901411 - Cycle : 449 - PI : GREGORY C. JOHNSON - Data mode : A - Platform type : APEX - WMO inst type : 846 - FLOAT SERIAL : 3017 - Date : 2020 1 24
Float : 5901469 - Cycle : 4 - PI : STEPHEN RISER - Data mode : A - Platform type : APEX - WMO inst type : 846 - FLOAT SERIAL : 2730 - Date : 2007 12 25
Float : 5901469 - Cycle : 191 - PI : STEPHEN RISER - Data mode : A - Platform type : APEX - WMO inst type : 846 - FLOAT SERIAL : 2730 - Date : 2009 1 12
Float : 5901469 - Cycle : 199 - PI : STEPHEN RISER - Data mode : A - Platform type : APEX - WMO inst type : 846 - FLOAT SERIAL : 2730 - Date : 2009 4 4
Float : 5901469 - Cycle : 220 - PI : STEPHEN RISER - Data mode : A - Platform type : APEX - WMO inst type : 846 - FLOAT SERIAL : 2730 - Date : 2009 11 6
Float : 5901469 - Cycle : 242 - PI : STEPHEN RISER - Data mode : A - Platform type : APEX - WMO inst type : 846 - FLOAT SERIAL : 2730 - Date : 2009 11 9
Float : 5901469 - Cycle : 262 - PI : STEPHEN RISER - Data mode : A - Platform type : APEX - WMO inst type : 846 - FLOAT SERIAL : 2730 - Date : 2009 11 11
Float : 5901748 - Cycle : 3 - PI : STEPHEN RISER - Data mode : A - Platform type : APEX - WMO inst type : 846 - FLOAT SERIAL : 3665 - Date : 2008 3 18
Float : 5901748 - Cycle : 49 - PI : STEPHEN RISER - Data mode : A - Platform type : APEX - WMO inst type : 846 - FLOAT SERIAL : 3665 - Date : 2008 6 19
Float : 5901748 - Cycle : 181 - PI : STEPHEN RISER - Data mode : A - Platform type : APEX - WMO inst type : 846 - FLOAT SERIAL : 3665 - Date : 2010 6 18
Float : 5902123 - Cycle : 200 - PI : STEPHEN RISER - Data mode : A - Platform type : APEX - WMO inst type : 846 - FLOAT SERIAL : 4185 - Date : 2014 9 10
Float : 5902123 - Cycle : 203 - PI : STEPHEN RISER - Data mode : A - Platform type : APEX - WMO inst type : 846 - FLOAT SERIAL : 4185 - Date : 2014 10 10
Float : 5902126 - Cycle : 92 - PI : STEPHEN RISER - Data mode : A - Platform type : APEX - WMO inst type : 846 - FLOAT SERIAL : 4184 - Date : 2011 9 21
Float : 5902334 - Cycle : 248 - PI : DEAN ROEMMICH - Data mode : R - Platform type : SOLO_II - WMO inst type : 853 - FLOAT SERIAL : 8186 - Date : 2020 1 1
Float : 5902361 - Cycle : 195 - PI : DEAN ROEMMICH - Data mode : A - Platform type : SOLO_II - WMO inst type : 853 - FLOAT SERIAL : 8282 - Date : 2020 1 28
Float : 5902393 - Cycle : 160 - PI : DEAN ROEMMICH - Data mode : A - Platform type : SOLO_II - WMO inst type : 853 - FLOAT SERIAL : 8345 - Date : 2019 12 30
Float : 5902446 - Cycle : 128 - PI : DEAN ROEMMICH - Data mode : A - Platform type : SOLO_D - WMO inst type : 862 - FLOAT SERIAL : 6009 - Date : 2019 12 1
Float : 5902446 - Cycle : 129 - PI : DEAN ROEMMICH - Data mode : A - Platform type : SOLO_D - WMO inst type : 862 - FLOAT SERIAL : 6009 - Date : 2019 12 16
Float : 5902499 - Cycle : 111 - PI : DEAN ROEMMICH - Data mode : A - Platform type : SOLO_II - WMO inst type : 853 - FLOAT SERIAL : 8508 - Date : 2019 11 16
Float : 5902511 - Cycle : 119 - PI : DEAN ROEMMICH - Data mode : R - Platform type : SOLO_II - WMO inst type : 853 - FLOAT SERIAL : 8521 - Date : 2019 12 26
Float : 5903735 - Cycle : 179 - PI : STEPHEN RISER - Data mode : A - Platform type : APEX - WMO inst type : 846 - FLOAT SERIAL : 5578 - Date : 2015 3 6
Float : 5903748 - Cycle : 168 - PI : STEPHEN RISER - Data mode : A - Platform type : APEX - WMO inst type : 846 - FLOAT SERIAL : 5404 - Date : 2014 9 8
Float : 5903748 - Cycle : 176 - PI : STEPHEN RISER - Data mode : A - Platform type : APEX - WMO inst type : 846 - FLOAT SERIAL : 5404 - Date : 2014 9 10
Float : 5903748 - Cycle : 183 - PI : STEPHEN RISER - Data mode : A - Platform type : APEX - WMO inst type : 846 - FLOAT SERIAL : 5404 - Date : 2014 9 11
Float : 5903748 - Cycle : 195 - PI : STEPHEN RISER - Data mode : A - Platform type : APEX - WMO inst type : 846 - FLOAT SERIAL : 5404 - Date : 2014 9 12
Float : 5903748 - Cycle : 198 - PI : STEPHEN RISER - Data mode : A - Platform type : APEX - WMO inst type : 846 - FLOAT SERIAL : 5404 - Date : 2014 9 13
Float : 5903748 - Cycle : 200 - PI : STEPHEN RISER - Data mode : A - Platform type : APEX - WMO inst type : 846 - FLOAT SERIAL : 5404 - Date : 2014 9 13
Float : 5903748 - Cycle : 204 - PI : STEPHEN RISER - Data mode : A - Platform type : APEX - WMO inst type : 846 - FLOAT SERIAL : 5404 - Date : 2014 9 14
Float : 5903748 - Cycle : 205 - PI : STEPHEN RISER - Data mode : A - Platform type : APEX - WMO inst type : 846 - FLOAT SERIAL : 5404 - Date : 2014 9 14

Float : 5903748 - Cycle : 209 - PI : STEPHEN RISER - Data mode : A - Platform type : APEX - WMO inst type : 846 - FLOAT SERIAL : 5404 - Date : 2014 9 14
Float : 5903748 - Cycle : 210 - PI : STEPHEN RISER - Data mode : A - Platform type : APEX - WMO inst type : 846 - FLOAT SERIAL : 5404 - Date : 2014 9 14
Float : 5903748 - Cycle : 213 - PI : STEPHEN RISER - Data mode : A - Platform type : APEX - WMO inst type : 846 - FLOAT SERIAL : 5404 - Date : 2014 9 15
Float : 5903748 - Cycle : 220 - PI : STEPHEN RISER - Data mode : A - Platform type : APEX - WMO inst type : 846 - FLOAT SERIAL : 5404 - Date : 2014 9 16
Float : 5903748 - Cycle : 221 - PI : STEPHEN RISER - Data mode : A - Platform type : APEX - WMO inst type : 846 - FLOAT SERIAL : 5404 - Date : 2014 9 16
Float : 5903748 - Cycle : 222 - PI : STEPHEN RISER - Data mode : A - Platform type : APEX - WMO inst type : 846 - FLOAT SERIAL : 5404 - Date : 2014 9 16
Float : 5903748 - Cycle : 223 - PI : STEPHEN RISER - Data mode : A - Platform type : APEX - WMO inst type : 846 - FLOAT SERIAL : 5404 - Date : 2014 9 16
Float : 5903748 - Cycle : 224 - PI : STEPHEN RISER - Data mode : A - Platform type : APEX - WMO inst type : 846 - FLOAT SERIAL : 5404 - Date : 2014 9 16
Float : 5903748 - Cycle : 225 - PI : STEPHEN RISER - Data mode : A - Platform type : APEX - WMO inst type : 846 - FLOAT SERIAL : 5404 - Date : 2014 9 16
Float : 5903748 - Cycle : 226 - PI : STEPHEN RISER - Data mode : A - Platform type : APEX - WMO inst type : 846 - FLOAT SERIAL : 5404 - Date : 2014 9 16
Float : 5903748 - Cycle : 228 - PI : STEPHEN RISER - Data mode : A - Platform type : APEX - WMO inst type : 846 - FLOAT SERIAL : 5404 - Date : 2014 9 17
Float : 5903748 - Cycle : 229 - PI : STEPHEN RISER - Data mode : A - Platform type : APEX - WMO inst type : 846 - FLOAT SERIAL : 5404 - Date : 2014 9 17
Float : 5903748 - Cycle : 230 - PI : STEPHEN RISER - Data mode : A - Platform type : APEX - WMO inst type : 846 - FLOAT SERIAL : 5404 - Date : 2014 9 17
Float : 5903748 - Cycle : 232 - PI : STEPHEN RISER - Data mode : A - Platform type : APEX - WMO inst type : 846 - FLOAT SERIAL : 5404 - Date : 2014 9 17
Float : 5903748 - Cycle : 233 - PI : STEPHEN RISER - Data mode : A - Platform type : APEX - WMO inst type : 846 - FLOAT SERIAL : 5404 - Date : 2014 9 17
Float : 5903748 - Cycle : 235 - PI : STEPHEN RISER - Data mode : A - Platform type : APEX - WMO inst type : 846 - FLOAT SERIAL : 5404 - Date : 2014 9 18
Float : 5903748 - Cycle : 237 - PI : STEPHEN RISER - Data mode : A - Platform type : APEX - WMO inst type : 846 - FLOAT SERIAL : 5404 - Date : 2014 9 18
Float : 5903748 - Cycle : 238 - PI : STEPHEN RISER - Data mode : A - Platform type : APEX - WMO inst type : 846 - FLOAT SERIAL : 5404 - Date : 2014 9 18
Float : 5903748 - Cycle : 243 - PI : STEPHEN RISER - Data mode : A - Platform type : APEX - WMO inst type : 846 - FLOAT SERIAL : 5404 - Date : 2014 10 8
Float : 5903750 - Cycle : 99 - PI : STEPHEN RISER - Data mode : A - Platform type : APEX - WMO inst type : 846 - FLOAT SERIAL : 5581 - Date : 2014 11 15
Float : 5903806 - Cycle : 273 - PI : GREGORY C. JOHNSON - Data mode : A - Platform type : APEX - WMO inst type : 846 - FLOAT SERIAL : 5869 - Date : 2019 12 25
Float : 5903806 - Cycle : 275 - PI : GREGORY C. JOHNSON - Data mode : A - Platform type : APEX - WMO inst type : 846 - FLOAT SERIAL : 5869 - Date : 2020 1 16
Float : 5903806 - Cycle : 276 - PI : GREGORY C. JOHNSON - Data mode : A - Platform type : APEX - WMO inst type : 846 - FLOAT SERIAL : 5869 - Date : 2020 1 27
Float : 5903879 - Cycle : 296 - PI : DEAN ROEMMICH - Data mode : R - Platform type : SOLO - WMO inst type : 851 - FLOAT SERIAL : 3039 - Date : 2019 12 30
Float : 5903907 - Cycle : 137 - PI : STEPHEN RISER, - Data mode : A - Platform type : APEX - WMO inst type : 846 - FLOAT SERIAL : 6022 - Date : 2016 8 6
Float : 5903975 - Cycle : 57 - PI : STEPHEN RISER - Data mode : A - Platform type : APEX - WMO inst type : 846 - FLOAT SERIAL : 5851 - Date : 2014 6 15
Float : 5904019 - Cycle : 176 - PI : STEPHEN RISER - Data mode : A - Platform type : APEX - WMO inst type : 846 - FLOAT SERIAL : 6009 - Date : 2014 8 25
Float : 5904019 - Cycle : 290 - PI : STEPHEN RISER - Data mode : A - Platform type : APEX - WMO inst type : 846 - FLOAT SERIAL : 6009 - Date : 2014 9 4
Float : 5904019 - Cycle : 334 - PI : STEPHEN RISER - Data mode : A - Platform type : APEX - WMO inst type : 846 - FLOAT SERIAL : 6009 - Date : 2014 9 7
Float : 5904020 - Cycle : 121 - PI : STEPHEN RISER - Data mode : A - Platform type : APEX - WMO inst type : 846 - FLOAT SERIAL : 5996 - Date : 2014 12 3
Float : 5904020 - Cycle : 122 - PI : STEPHEN RISER - Data mode : A - Platform type : APEX - WMO inst type : 846 - FLOAT SERIAL : 5996 - Date : 2014 12 10
Float : 5904020 - Cycle : 129 - PI : STEPHEN RISER - Data mode : A - Platform type : APEX - WMO inst type : 846 - FLOAT SERIAL : 5996 - Date : 2015 1 29
Float : 5904138 - Cycle : 59 - PI : STEPHEN RISER - Data mode : A - Platform type : APEX - WMO inst type : 846 - FLOAT SERIAL : 5998 - Date : 2014 12 5
Float : 5904138 - Cycle : 73 - PI : STEPHEN RISER - Data mode : A - Platform type : APEX - WMO inst type : 846 - FLOAT SERIAL : 5998 - Date : 2015 3 14
Float : 5904138 - Cycle : 76 - PI : STEPHEN RISER - Data mode : A - Platform type : APEX - WMO inst type : 846 - FLOAT SERIAL : 5998 - Date : 2015 4 5
Float : 5904139 - Cycle : 54 - PI : STEPHEN RISER - Data mode : A - Platform type : APEX - WMO inst type : 846 - FLOAT SERIAL : 5999 - Date : 2014 11 7
Float : 5904325 - Cycle : 83 - PI : CARL SZCZECHOWSKI - Data mode : A - Platform type : APEX - WMO inst type : 846 - FLOAT SERIAL : 6483 - Date : 2014 9 3
Float : 5904325 - Cycle : 85 - PI : CARL SZCZECHOWSKI - Data mode : A - Platform type : APEX - WMO inst type : 846 - FLOAT SERIAL : 6483 - Date : 2014 9 11
Float : 5904325 - Cycle : 87 - PI : CARL SZCZECHOWSKI - Data mode : A - Platform type : APEX - WMO inst type : 846 - FLOAT SERIAL : 6483 - Date : 2014 9 19
Float : 5904325 - Cycle : 88 - PI : CARL SZCZECHOWSKI - Data mode : A - Platform type : APEX - WMO inst type : 846 - FLOAT SERIAL : 6483 - Date : 2014 9 23
Float : 5904372 - Cycle : 255 - PI : DEAN ROEMMICH - Data mode : R - Platform type : SOLO_II - WMO inst type : 853 - FLOAT SERIAL : 8177 - Date : 2019 12 16
Float : 5904399 - Cycle : 200 - PI : STEPHEN RISER - Data mode : A - Platform type : APEX - WMO inst type : 846 - FLOAT SERIAL : 6928 - Date : 2020 1 24
Float : 5904401 - Cycle : 193 - PI : STEPHEN RISER - Data mode : A - Platform type : APEX - WMO inst type : 846 - FLOAT SERIAL : 6930 - Date : 2019 12 17
Float : 5904401 - Cycle : 194 - PI : STEPHEN RISER - Data mode : A - Platform type : APEX - WMO inst type : 846 - FLOAT SERIAL : 6930 - Date : 2019 12 27
Float : 5904401 - Cycle : 195 - PI : STEPHEN RISER - Data mode : A - Platform type : APEX - WMO inst type : 846 - FLOAT SERIAL : 6930 - Date : 2020 1 6
Float : 5904401 - Cycle : 196 - PI : STEPHEN RISER - Data mode : A - Platform type : APEX - WMO inst type : 846 - FLOAT SERIAL : 6930 - Date : 2020 1 16
Float : 5904401 - Cycle : 197 - PI : STEPHEN RISER - Data mode : A - Platform type : APEX - WMO inst type : 846 - FLOAT SERIAL : 6930 - Date : 2020 1 27
Float : 5904402 - Cycle : 194 - PI : STEPHEN RISER - Data mode : A - Platform type : APEX - WMO inst type : 846 - FLOAT SERIAL : 6931 - Date : 2019 12 30
Float : 5904420 - Cycle : 184 - PI : STEPHEN RISER - Data mode : A - Platform type : APEX - WMO inst type : 846 - FLOAT SERIAL : 6422 - Date : 2019 12 24
Float : 5904536 - Cycle : 255 - PI : DEAN ROEMMICH - Data mode : A - Platform type : SOLO_II - WMO inst type : 853 - FLOAT SERIAL : 8249 - Date : 2020 1 21
Float : 5904536 - Cycle : 256 - PI : DEAN ROEMMICH - Data mode : A - Platform type : SOLO_II - WMO inst type : 853 - FLOAT SERIAL : 8249 - Date : 2020 1 22
Float : 5904542 - Cycle : 92 - PI : CARL SZCZECHOWSKI - Data mode : A - Platform type : APEX - WMO inst type : 846 - FLOAT SERIAL : 6136 - Date : 2015 7 11
Float : 5904548 - Cycle : 194 - PI : GREGORY C. JOHNSON - Data mode : A - Platform type : NAVIS_A - WMO inst type : 863 - FLOAT SERIAL : 0258 - Date : 2019 12 30
Float : 5904560 - Cycle : 188 - PI : GREGORY C. JOHNSON - Data mode : A - Platform type : NAVIS_A - WMO inst type : 863 - FLOAT SERIAL : 0408 - Date : 2020 1 3
Float : 5904575 - Cycle : 177 - PI : GREGORY C. JOHNSON - Data mode : A - Platform type : NAVIS_A - WMO inst type : 863 - FLOAT SERIAL : 0446 - Date : 2019 12 31
Float : 5904579 - Cycle : 23 - PI : GREGORY C. JOHNSON - Data mode : A - Platform type : NAVIS_A - WMO inst type : 863 - FLOAT SERIAL : 0450 - Date : 2015 10 27
Float : 5904587 - Cycle : 171 - PI : GREGORY C. JOHNSON - Data mode : A - Platform type : NAVIS_A - WMO inst type : 863 - FLOAT SERIAL : 0458 - Date : 2019 12 25
Float : 5904587 - Cycle : 172 - PI : GREGORY C. JOHNSON - Data mode : A - Platform type : NAVIS_A - WMO inst type : 863 - FLOAT SERIAL : 0458 - Date : 2020 1 4
Float : 5904587 - Cycle : 173 - PI : GREGORY C. JOHNSON - Data mode : A - Platform type : NAVIS_A - WMO inst type : 863 - FLOAT SERIAL : 0458 - Date : 2020 1 14
Float : 5904587 - Cycle : 174 - PI : GREGORY C. JOHNSON - Data mode : A - Platform type : NAVIS_A - WMO inst type : 863 - FLOAT SERIAL : 0458 - Date : 2020 1 24
Float : 5904590 - Cycle : 167 - PI : GREGORY C. JOHNSON - Data mode : A - Platform type : NAVIS_A - WMO inst type : 863 - FLOAT SERIAL : 0481 - Date : 2020 1 3
Float : 5904590 - Cycle : 168 - PI : GREGORY C. JOHNSON - Data mode : A - Platform type : NAVIS_A - WMO inst type : 863 - FLOAT SERIAL : 0481 - Date : 2020 1 13
Float : 5904590 - Cycle : 169 - PI : GREGORY C. JOHNSON - Data mode : A - Platform type : NAVIS_A - WMO inst type : 863 - FLOAT SERIAL : 0481 - Date : 2020 1 23
Float : 5904595 - Cycle : 21 - PI : CARL SZCZECHOWSKI - Data mode : A - Platform type : APEX - WMO inst type : 846 - FLOAT SERIAL : 6336 - Date : 2015 2 23
Float : 5904703 - Cycle : 140 - PI : GREGORY C. JOHNSON - Data mode : A - Platform type : NAVIS_A - WMO inst type : 863 - FLOAT SERIAL : 0471 - Date : 2019 12 23
Float : 5904703 - Cycle : 141 - PI : GREGORY C. JOHNSON - Data mode : A - Platform type : NAVIS_A - WMO inst type : 863 - FLOAT SERIAL : 0471 - Date : 2020 1 2
Float : 5904703 - Cycle : 142 - PI : GREGORY C. JOHNSON - Data mode : A - Platform type : NAVIS_A - WMO inst type : 863 - FLOAT SERIAL : 0471 - Date : 2020 1 12
Float : 5904703 - Cycle : 143 - PI : GREGORY C. JOHNSON - Data mode : A - Platform type : NAVIS_A - WMO inst type : 863 - FLOAT SERIAL : 0471 - Date : 2020 1 22
Float : 5904738 - Cycle : 119 - PI : GREGORY C. JOHNSON - Data mode : A - Platform type : NAVIS_A - WMO inst type : 863 - FLOAT SERIAL : 0613 - Date : 2019 12 30
Float : 5904739 - Cycle : 118 - PI : GREGORY C. JOHNSON - Data mode : A - Platform type : NAVIS_A - WMO inst type : 863 - FLOAT SERIAL : 0614 - Date : 2019 12 22
Float : 5904739 - Cycle : 119 - PI : GREGORY C. JOHNSON - Data mode : A - Platform type : NAVIS_A - WMO inst type : 863 - FLOAT SERIAL : 0614 - Date : 2020 1 1
Float : 5904739 - Cycle : 120 - PI : GREGORY C. JOHNSON - Data mode : A - Platform type : NAVIS_A - WMO inst type : 863 - FLOAT SERIAL : 0614 - Date : 2020 1 11
Float : 5904739 - Cycle : 121 - PI : GREGORY C. JOHNSON - Data mode : A - Platform type : NAVIS_A - WMO inst type : 863 - FLOAT SERIAL : 0614 - Date : 2020 1 21
Float : 5904762 - Cycle : 130 - PI : STEPHEN RISER - Data mode : A - Platform type : APEX - WMO inst type : 846 - FLOAT SERIAL : 6426 - Date : 2020 1 27
Float : 5904945 - Cycle : 99 - PI : GREGORY C. JOHNSON - Data mode : A - Platform type : NAVIS_A - WMO inst type : 863 - FLOAT SERIAL : 0749 - Date : 2020 1 10
Float : 5904946 - Cycle : 100 - PI : GREGORY C. JOHNSON - Data mode : A - Platform type : NAVIS_A - WMO inst type : 863 - FLOAT SERIAL : 0750 - Date : 2020 1 24
Float : 5904948 - Cycle : 108 - PI : GREGORY C. JOHNSON - Data mode : A - Platform type : NAVIS_A - WMO inst type : 863 - FLOAT SERIAL : 0734 - Date : 2019 12 29
Float : 5904948 - Cycle : 109 - PI : GREGORY C. JOHNSON - Data mode : A - Platform type : NAVIS_A - WMO inst type : 863 - FLOAT SERIAL : 0734 - Date : 2020 1 8
Float : 5904948 - Cycle : 110 - PI : GREGORY C. JOHNSON - Data mode : A - Platform type : NAVIS_A - WMO inst type : 863 - FLOAT SERIAL : 0734 - Date : 2020 1 18

Float : 5904949 - Cycle : 107 - PI : GREGORY C. JOHNSON - Data mode : A - Platform type : NAVIS_A - WMO inst type : 863 - FLOAT SERIAL : 0735 - Date : 2019 12 21
Float : 5905249 - Cycle : 82 - PI : DEAN ROEMMICH - Data mode : R - Platform type : SOLO_II - WMO inst type : 853 - FLOAT SERIAL : 8573 - Date : 2019 12 21
Float : 5905250 - Cycle : 84 - PI : DEAN ROEMMICH - Data mode : R - Platform type : SOLO_II - WMO inst type : 853 - FLOAT SERIAL : 8576 - Date : 2020 1 9
Float : 5905269 - Cycle : 79 - PI : DEAN ROEMMICH - Data mode : A - Platform type : SOLO_D - WMO inst type : 862 - FLOAT SERIAL : 6039 - Date : 2019 12 22
Float : 5905269 - Cycle : 80 - PI : DEAN ROEMMICH - Data mode : A - Platform type : SOLO_D - WMO inst type : 862 - FLOAT SERIAL : 6039 - Date : 2020 1 1
Float : 5905288 - Cycle : 92 - PI : GREGORY C. JOHNSON - Data mode : A - Platform type : NAVIS_A - WMO inst type : 863 - FLOAT SERIAL : 0790 - Date : 2019 12 29
Float : 5905288 - Cycle : 93 - PI : GREGORY C. JOHNSON - Data mode : A - Platform type : NAVIS_A - WMO inst type : 863 - FLOAT SERIAL : 0790 - Date : 2020 1 8
Float : 5905288 - Cycle : 94 - PI : GREGORY C. JOHNSON - Data mode : A - Platform type : NAVIS_A - WMO inst type : 863 - FLOAT SERIAL : 0790 - Date : 2020 1 18
Float : 5905320 - Cycle : 80 - PI : STEPHEN RISER - Data mode : A - Platform type : APEX - WMO inst type : 846 - FLOAT SERIAL : 7864 - Date : 2019 12 29
Float : 5905320 - Cycle : 82 - PI : STEPHEN RISER - Data mode : A - Platform type : APEX - WMO inst type : 846 - FLOAT SERIAL : 7864 - Date : 2020 1 18
Float : 5905364 - Cycle : 81 - PI : STEPHEN RISER - Data mode : A - Platform type : APEX - WMO inst type : 846 - FLOAT SERIAL : 7932 - Date : 2020 1 4
Float : 5905655 - Cycle : 53 - PI : STEPHEN RISER - Data mode : A - Platform type : APEX - WMO inst type : 846 - FLOAT SERIAL : 8241 - Date : 2020 1 19
Float : 5905680 - Cycle : 69 - PI : DEAN ROEMMICH - Data mode : R - Platform type : SOLO_II - WMO inst type : 853 - FLOAT SERIAL : 8646 - Date : 2019 12 20
Float : 5905730 - Cycle : 58 - PI : GREGORY C. JOHNSON - Data mode : A - Platform type : NAVIS_A - WMO inst type : 863 - FLOAT SERIAL : 0842 - Date : 2019 12 21
Float : 5905730 - Cycle : 59 - PI : GREGORY C. JOHNSON - Data mode : A - Platform type : NAVIS_A - WMO inst type : 863 - FLOAT SERIAL : 0842 - Date : 2019 12 31
Float : 5905730 - Cycle : 60 - PI : GREGORY C. JOHNSON - Data mode : A - Platform type : NAVIS_A - WMO inst type : 863 - FLOAT SERIAL : 0842 - Date : 2020 1 10
Float : 5905730 - Cycle : 61 - PI : GREGORY C. JOHNSON - Data mode : A - Platform type : NAVIS_A - WMO inst type : 863 - FLOAT SERIAL : 0842 - Date : 2020 1 20
Float : 5905732 - Cycle : 61 - PI : GREGORY C. JOHNSON - Data mode : A - Platform type : NAVIS_A - WMO inst type : 863 - FLOAT SERIAL : 0873 - Date : 2019 12 27
Float : 5905732 - Cycle : 62 - PI : GREGORY C. JOHNSON - Data mode : A - Platform type : NAVIS_A - WMO inst type : 863 - FLOAT SERIAL : 0873 - Date : 2020 1 6
Float : 5905732 - Cycle : 63 - PI : GREGORY C. JOHNSON - Data mode : A - Platform type : NAVIS_A - WMO inst type : 863 - FLOAT SERIAL : 0873 - Date : 2020 1 16
Float : 5905732 - Cycle : 64 - PI : GREGORY C. JOHNSON - Data mode : A - Platform type : NAVIS_A - WMO inst type : 863 - FLOAT SERIAL : 0873 - Date : 2020 1 26
Float : 5905736 - Cycle : 61 - PI : GREGORY C. JOHNSON - Data mode : A - Platform type : NAVIS_A - WMO inst type : 863 - FLOAT SERIAL : 0890 - Date : 2019 12 29
Float : 5905736 - Cycle : 62 - PI : GREGORY C. JOHNSON - Data mode : A - Platform type : NAVIS_A - WMO inst type : 863 - FLOAT SERIAL : 0890 - Date : 2020 1 8
Float : 5905736 - Cycle : 63 - PI : GREGORY C. JOHNSON - Data mode : A - Platform type : NAVIS_A - WMO inst type : 863 - FLOAT SERIAL : 0890 - Date : 2020 1 18
Float : 5905743 - Cycle : 55 - PI : GREGORY C. JOHNSON - Data mode : A - Platform type : NAVIS_A - WMO inst type : 863 - FLOAT SERIAL : 0938 - Date : 2019 12 27
Float : 5905743 - Cycle : 56 - PI : GREGORY C. JOHNSON - Data mode : A - Platform type : NAVIS_A - WMO inst type : 863 - FLOAT SERIAL : 0938 - Date : 2020 1 6
Float : 5905743 - Cycle : 57 - PI : GREGORY C. JOHNSON - Data mode : A - Platform type : NAVIS_A - WMO inst type : 863 - FLOAT SERIAL : 0938 - Date : 2020 1 16
Float : 5905743 - Cycle : 58 - PI : GREGORY C. JOHNSON - Data mode : A - Platform type : NAVIS_A - WMO inst type : 863 - FLOAT SERIAL : 0938 - Date : 2020 1 26
Float : 5905744 - Cycle : 55 - PI : GREGORY C. JOHNSON - Data mode : A - Platform type : NAVIS_A - WMO inst type : 863 - FLOAT SERIAL : 0939 - Date : 2019 12 27
Float : 5905744 - Cycle : 56 - PI : GREGORY C. JOHNSON - Data mode : A - Platform type : NAVIS_A - WMO inst type : 863 - FLOAT SERIAL : 0939 - Date : 2020 1 6
Float : 5905744 - Cycle : 57 - PI : GREGORY C. JOHNSON - Data mode : A - Platform type : NAVIS_A - WMO inst type : 863 - FLOAT SERIAL : 0939 - Date : 2020 1 16
Float : 5905744 - Cycle : 58 - PI : GREGORY C. JOHNSON - Data mode : A - Platform type : NAVIS_A - WMO inst type : 863 - FLOAT SERIAL : 0939 - Date : 2020 1 26
Float : 5905761 - Cycle : 60 - PI : DEAN ROEMMICH - Data mode : A - Platform type : SOLO_D - WMO inst type : 862 - FLOAT SERIAL : 6045 - Date : 2019 12 1
Float : 5905782 - Cycle : 41 - PI : DEAN ROEMMICH - Data mode : R - Platform type : SOLO_II - WMO inst type : 853 - FLOAT SERIAL : 8750 - Date : 2020 1 17
Float : 5905982 - Cycle : 42 - PI : STEPHEN RISER, KENNETH JOHNSON - Data mode : A - Platform type : APEX - WMO inst type : 846 - FLOAT SERIAL : 8345 - Date : 2019 12 7
Float : 5905982 - Cycle : 45 - PI : STEPHEN RISER, KENNETH JOHNSON - Data mode : A - Platform type : APEX - WMO inst type : 846 - FLOAT SERIAL : 8345 - Date : 2020 1 6
Float : 5905990 - Cycle : 175 - PI : STEPHEN RISER - Data mode : A - Platform type : APEX - WMO inst type : 846 - FLOAT SERIAL : 8316 - Date : 2019 11 12
Float : 5905990 - Cycle : 194 - PI : STEPHEN RISER - Data mode : A - Platform type : APEX - WMO inst type : 846 - FLOAT SERIAL : 8316 - Date : 2019 12 20
Float : 5906019 - Cycle : 45 - PI : STEPHEN RISER - Data mode : A - Platform type : APEX - WMO inst type : 846 - FLOAT SERIAL : 7962 - Date : 2020 1 24
Float : 5906022 - Cycle : 30 - PI : STEPHEN RISER - Data mode : A - Platform type : APEX - WMO inst type : 846 - FLOAT SERIAL : 8368 - Date : 2019 11 17
Float : 5906023 - Cycle : 30 - PI : STEPHEN RISER - Data mode : A - Platform type : APEX - WMO inst type : 846 - FLOAT SERIAL : 8370 - Date : 2019 11 28
Float : 5906036 - Cycle : 24 - PI : STEPHEN RISER, KENNETH JOHNSON - Data mode : A - Platform type : NAVIS_A - WMO inst type : 863 - FLOAT SERIAL : 0889 - Date : 2019 12 21
Float : 5906036 - Cycle : 25 - PI : STEPHEN RISER, KENNETH JOHNSON - Data mode : A - Platform type : NAVIS_A - WMO inst type : 863 - FLOAT SERIAL : 0889 - Date : 2019 12 31
Float : 5906036 - Cycle : 26 - PI : STEPHEN RISER, KENNETH JOHNSON - Data mode : A - Platform type : NAVIS_A - WMO inst type : 863 - FLOAT SERIAL : 0889 - Date : 2020 1 10
Float : 5906036 - Cycle : 27 - PI : STEPHEN RISER, KENNETH JOHNSON - Data mode : A - Platform type : NAVIS_A - WMO inst type : 863 - FLOAT SERIAL : 0889 - Date : 2020 1 19
Float : 5906045 - Cycle : 22 - PI : STEPHEN RISER/KEN JOHNSON - Data mode : A - Platform type : APEX - WMO inst type : 846 - FLOAT SERIAL : 8327 - Date : 2020 1 18
Float : 5906067 - Cycle : 1 - PI : STEPHEN RISER - Data mode : A - Platform type : APEX - WMO inst type : 846 - FLOAT SERIAL : 8310 - Date : 2019 12 22
Float : 5906095 - Cycle : 27 - PI : GREGORY C. JOHNSON - Data mode : A - Platform type : NAVIS_A - WMO inst type : 863 - FLOAT SERIAL : 1009 - Date : 2020 1 27
Float : 5906098 - Cycle : 22 - PI : GREGORY C. JOHNSON - Data mode : A - Platform type : NAVIS_A - WMO inst type : 863 - FLOAT SERIAL : 1012 - Date : 2019 12 28
Float : 5906098 - Cycle : 23 - PI : GREGORY C. JOHNSON - Data mode : A - Platform type : NAVIS_A - WMO inst type : 863 - FLOAT SERIAL : 1012 - Date : 2020 1 7
Float : 5906098 - Cycle : 24 - PI : GREGORY C. JOHNSON - Data mode : A - Platform type : NAVIS_A - WMO inst type : 863 - FLOAT SERIAL : 1012 - Date : 2020 1 17
Float : 5906098 - Cycle : 25 - PI : GREGORY C. JOHNSON - Data mode : A - Platform type : NAVIS_A - WMO inst type : 863 - FLOAT SERIAL : 1012 - Date : 2020 1 27
Float : 5906109 - Cycle : 11 - PI : DEAN ROEMMICH - Data mode : A - Platform type : SOLO_D - WMO inst type : 862 - FLOAT SERIAL : 6063 - Date : 2020 1 5
Float : 5906116 - Cycle : 8 - PI : DEAN ROEMMICH - Data mode : R - Platform type : SOLO_II - WMO inst type : 853 - FLOAT SERIAL : 8804 - Date : 2020 1 17
Float : 5906117 - Cycle : 6 - PI : DEAN ROEMMICH - Data mode : R - Platform type : SOLO_II - WMO inst type : 853 - FLOAT SERIAL : 8805 - Date : 2019 12 29
Float : 5906117 - Cycle : 7 - PI : DEAN ROEMMICH - Data mode : R - Platform type : SOLO_II - WMO inst type : 853 - FLOAT SERIAL : 8805 - Date : 2020 1 8
Float : 5906130 - Cycle : 0 - PI : DEAN ROEMMICH - Data mode : R - Platform type : SOLO_II - WMO inst type : 853 - FLOAT SERIAL : 8847 - Date : 2020 1 18
Float : 5906132 - Cycle : 0 - PI : DEAN ROEMMICH - Data mode : R - Platform type : SOLO_II - WMO inst type : 853 - FLOAT SERIAL : 8849 - Date : 2020 1 20
Float : 5906133 - Cycle : 0 - PI : DEAN ROEMMICH - Data mode : R - Platform type : SOLO_II - WMO inst type : 853 - FLOAT SERIAL : 8850 - Date : 2020 1 21
Float : 5906200 - Cycle : 1 - PI : STEPHEN RISER - Data mode : A - Platform type : APEX - WMO inst type : 846 - FLOAT SERIAL : 8812 - Date : 2019 12 19
Float : 5906200 - Cycle : 2 - PI : STEPHEN RISER - Data mode : A - Platform type : APEX - WMO inst type : 846 - FLOAT SERIAL : 8812 - Date : 2019 12 29
Float : 5906200 - Cycle : 3 - PI : STEPHEN RISER - Data mode : A - Platform type : APEX - WMO inst type : 846 - FLOAT SERIAL : 8812 - Date : 2020 1 8
Float : 5906200 - Cycle : 4 - PI : STEPHEN RISER - Data mode : A - Platform type : APEX - WMO inst type : 846 - FLOAT SERIAL : 8812 - Date : 2020 1 18
Float : 7900208 - Cycle : 183 - PI : DEAN ROEMMICH - Data mode : R - Platform type : SOLO_II - WMO inst type : 853 - FLOAT SERIAL : 8326 - Date : 2019 12 31
Float : 7900678 - Cycle : 300 - PI : DEAN ROEMMICH - Data mode : A - Platform type : SOLO_D - WMO inst type : 862 - FLOAT SERIAL : 6041 - Date : 2019 11 28
Float : 7900678 - Cycle : 301 - PI : DEAN ROEMMICH - Data mode : A - Platform type : SOLO_D - WMO inst type : 862 - FLOAT SERIAL : 6041 - Date : 2019 12 8
Float : 7900678 - Cycle : 302 - PI : DEAN ROEMMICH - Data mode : A - Platform type : SOLO_D - WMO inst type : 862 - FLOAT SERIAL : 6041 - Date : 2019 12 18
Float : 7900678 - Cycle : 303 - PI : DEAN ROEMMICH - Data mode : A - Platform type : SOLO_D - WMO inst type : 862 - FLOAT SERIAL : 6041 - Date : 2019 12 27
Float : 7900679 - Cycle : 60 - PI : DEAN ROEMMICH - Data mode : A - Platform type : SOLO_D - WMO inst type : 862 - FLOAT SERIAL : 6042 - Date : 2019 6 27
Float : 7900679 - Cycle : 61 - PI : DEAN ROEMMICH - Data mode : A - Platform type : SOLO_D - WMO inst type : 862 - FLOAT SERIAL : 6042 - Date : 2019 7 7
Float : 7900679 - Cycle : 62 - PI : DEAN ROEMMICH - Data mode : A - Platform type : SOLO_D - WMO inst type : 862 - FLOAT SERIAL : 6042 - Date : 2019 7 17
Float : 7900679 - Cycle : 63 - PI : DEAN ROEMMICH - Data mode : A - Platform type : SOLO_D - WMO inst type : 862 - FLOAT SERIAL : 6042 - Date : 2019 7 27
Float : 7900679 - Cycle : 64 - PI : DEAN ROEMMICH - Data mode : A - Platform type : SOLO_D - WMO inst type : 862 - FLOAT SERIAL : 6042 - Date : 2019 8 6
Float : 7900679 - Cycle : 65 - PI : DEAN ROEMMICH - Data mode : A - Platform type : SOLO_D - WMO inst type : 862 - FLOAT SERIAL : 6042 - Date : 2019 8 16
Float : 7900679 - Cycle : 66 - PI : DEAN ROEMMICH - Data mode : A - Platform type : SOLO_D - WMO inst type : 862 - FLOAT SERIAL : 6042 - Date : 2019 8 26
Float : 7900679 - Cycle : 67 - PI : DEAN ROEMMICH - Data mode : A - Platform type : SOLO_D - WMO inst type : 862 - FLOAT SERIAL : 6042 - Date : 2019 9 5
Float : 7900679 - Cycle : 68 - PI : DEAN ROEMMICH - Data mode : A - Platform type : SOLO_D - WMO inst type : 862 - FLOAT SERIAL : 6042 - Date : 2019 9 14
Float : 7900679 - Cycle : 69 - PI : DEAN ROEMMICH - Data mode : A - Platform type : SOLO_D - WMO inst type : 862 - FLOAT SERIAL : 6042 - Date : 2019 9 24
Float : 7900679 - Cycle : 70 - PI : DEAN ROEMMICH - Data mode : A - Platform type : SOLO_D - WMO inst type : 862 - FLOAT SERIAL : 6042 - Date : 2019 10 4

Float : 7900679 - Cycle : 71 - PI : DEAN ROEMMICH - Data mode : A - Platform type : SOLO_D - WMO inst type : 862 - FLOAT SERIAL : 6042 - Date : 2019 10 14
Float : 7900679 - Cycle : 72 - PI : DEAN ROEMMICH - Data mode : A - Platform type : SOLO_D - WMO inst type : 862 - FLOAT SERIAL : 6042 - Date : 2019 10 24
Float : 7900679 - Cycle : 73 - PI : DEAN ROEMMICH - Data mode : A - Platform type : SOLO_D - WMO inst type : 862 - FLOAT SERIAL : 6042 - Date : 2019 11 3
Float : 7900679 - Cycle : 74 - PI : DEAN ROEMMICH - Data mode : A - Platform type : SOLO_D - WMO inst type : 862 - FLOAT SERIAL : 6042 - Date : 2019 11 13
Float : 7900679 - Cycle : 75 - PI : DEAN ROEMMICH - Data mode : A - Platform type : SOLO_D - WMO inst type : 862 - FLOAT SERIAL : 6042 - Date : 2019 11 23
Float : 7900679 - Cycle : 76 - PI : DEAN ROEMMICH - Data mode : A - Platform type : SOLO_D - WMO inst type : 862 - FLOAT SERIAL : 6042 - Date : 2019 12 3

Files data_mode='D'

Float : 1901049 - Cycle : 205 - PI : STEPHEN RISER - Data mode : D - Platform type : APEX - WMO inst type : 846 - FLOAT SERIAL : 3233 - Date : 2015 2 28
Float : 1901806 - Cycle : 153 - PI : BRECK OWENS, STEVEN JAYNE, P.E. ROBBINS - Data mode : D - Platform type : S2A - WMO inst type : 854 - FLOAT SERIAL : 7314 - Date : 2019 10 2
Float : 2901476 - Cycle : 107 - PI : CARL SZCZECHOWSKI - Data mode : D - Platform type : APEX - WMO inst type : 846 - FLOAT SERIAL : 6862 - Date : 2015 7 7
Float : 3900822 - Cycle : 175 - PI : DEAN ROEMMICH - Data mode : D - Platform type : SOLO - WMO inst type : 851 - FLOAT SERIAL : 2965 - Date : 2015 9 12
Float : 3901186 - Cycle : 44 - PI : GREGORY C. JOHNSON - Data mode : D - Platform type : NAVIS_A - WMO inst type : 863 - FLOAT SERIAL : 0299 - Date : 2015 6 2
Float : 3902168 - Cycle : 6 - PI : WIJFFELS, JAYNE, ROBBINS - Data mode : D - Platform type : S2A - WMO inst type : 854 - FLOAT SERIAL : 7587 - Date : 2019 9 23
Float : 5901896 - Cycle : 237 - PI : STEPHEN RISER - Data mode : D - Platform type : APEX - WMO inst type : 846 - FLOAT SERIAL : 3940 - Date : 2015 5 5
Float : 5901896 - Cycle : 276 - PI : STEPHEN RISER - Data mode : D - Platform type : APEX - WMO inst type : 846 - FLOAT SERIAL : 3940 - Date : 2016 6 5
Float : 5901897 - Cycle : 246 - PI : STEPHEN RISER - Data mode : D - Platform type : APEX - WMO inst type : 846 - FLOAT SERIAL : 3941 - Date : 2015 8 5
Float : 5901897 - Cycle : 250 - PI : STEPHEN RISER - Data mode : D - Platform type : APEX - WMO inst type : 846 - FLOAT SERIAL : 3941 - Date : 2015 9 15
Float : 5901897 - Cycle : 268 - PI : STEPHEN RISER - Data mode : D - Platform type : APEX - WMO inst type : 846 - FLOAT SERIAL : 3941 - Date : 2016 3 16
Float : 5901897 - Cycle : 280 - PI : STEPHEN RISER - Data mode : D - Platform type : APEX - WMO inst type : 846 - FLOAT SERIAL : 3941 - Date : 2016 7 16
Float : 5901897 - Cycle : 282 - PI : STEPHEN RISER - Data mode : D - Platform type : APEX - WMO inst type : 846 - FLOAT SERIAL : 3941 - Date : 2016 8 5
Float : 5902242 - Cycle : 226 - PI : GREGORY C. JOHNSON - Data mode : D - Platform type : APEX - WMO inst type : 846 - FLOAT SERIAL : 4304 - Date : 2015 11 16
Float : 5903435 - Cycle : 210 - PI : STEPHEN RISER, - Data mode : D - Platform type : APEX - WMO inst type : 846 - FLOAT SERIAL : 5231 - Date : 2018 9 24
Float : 5903435 - Cycle : 223 - PI : STEPHEN RISER, - Data mode : D - Platform type : APEX - WMO inst type : 846 - FLOAT SERIAL : 5231 - Date : 2019 2 3
Float : 5903435 - Cycle : 226 - PI : STEPHEN RISER, - Data mode : D - Platform type : APEX - WMO inst type : 846 - FLOAT SERIAL : 5231 - Date : 2019 3 5
Float : 5903436 - Cycle : 199 - PI : STEPHEN RISER - Data mode : D - Platform type : APEX - WMO inst type : 846 - FLOAT SERIAL : 4936 - Date : 2017 4 1
Float : 5903436 - Cycle : 237 - PI : STEPHEN RISER - Data mode : D - Platform type : APEX - WMO inst type : 846 - FLOAT SERIAL : 4936 - Date : 2018 4 22
Float : 5903712 - Cycle : 113 - PI : STEPHEN RISER , KENNETH JOHNSON - Data mode : D - Platform type : APEX - WMO inst type : 846 - FLOAT SERIAL : 5639 - Date : 2015 3 16
Float : 5903729 - Cycle : 213 - PI : STEPHEN RISER, - Data mode : D - Platform type : APEX - WMO inst type : 846 - FLOAT SERIAL : 6408 - Date : 2019 9 30
Float : 5903729 - Cycle : 221 - PI : STEPHEN RISER, - Data mode : D - Platform type : APEX - WMO inst type : 846 - FLOAT SERIAL : 6408 - Date : 2019 12 21
Float : 5903907 - Cycle : 128 - PI : STEPHEN RISER, - Data mode : D - Platform type : APEX - WMO inst type : 846 - FLOAT SERIAL : 6022 - Date : 2016 5 7
Float : 5903907 - Cycle : 129 - PI : STEPHEN RISER, - Data mode : D - Platform type : APEX - WMO inst type : 846 - FLOAT SERIAL : 6022 - Date : 2016 5 17
Float : 5903907 - Cycle : 130 - PI : STEPHEN RISER, - Data mode : D - Platform type : APEX - WMO inst type : 846 - FLOAT SERIAL : 6022 - Date : 2016 5 27
Float : 5903907 - Cycle : 162 - PI : STEPHEN RISER, - Data mode : D - Platform type : APEX - WMO inst type : 846 - FLOAT SERIAL : 6022 - Date : 2017 4 18
Float : 5903907 - Cycle : 163 - PI : STEPHEN RISER - Data mode : D - Platform type : APEX - WMO inst type : 846 - FLOAT SERIAL : - Date : 2017 4 28
Float : 5903907 - Cycle : 165 - PI : STEPHEN RISER, - Data mode : D - Platform type : APEX - WMO inst type : 846 - FLOAT SERIAL : 6022 - Date : 2017 5 18
Float : 5903907 - Cycle : 185 - PI : STEPHEN RISER, - Data mode : D - Platform type : APEX - WMO inst type : 846 - FLOAT SERIAL : 6022 - Date : 2017 12 7
Float : 5903907 - Cycle : 187 - PI : STEPHEN RISER, - Data mode : D - Platform type : APEX - WMO inst type : 846 - FLOAT SERIAL : 6022 - Date : 2017 12 28
Float : 5903907 - Cycle : 188 - PI : STEPHEN RISER, - Data mode : D - Platform type : APEX - WMO inst type : 846 - FLOAT SERIAL : 6022 - Date : 2018 1 7
Float : 5903907 - Cycle : 189 - PI : STEPHEN RISER, - Data mode : D - Platform type : APEX - WMO inst type : 846 - FLOAT SERIAL : 6022 - Date : 2018 1 17
Float : 5903907 - Cycle : 190 - PI : STEPHEN RISER, - Data mode : D - Platform type : APEX - WMO inst type : 846 - FLOAT SERIAL : 6022 - Date : 2018 1 27
Float : 5903907 - Cycle : 191 - PI : STEPHEN RISER, - Data mode : D - Platform type : APEX - WMO inst type : 846 - FLOAT SERIAL : 6022 - Date : 2018 2 6
Float : 5903907 - Cycle : 192 - PI : STEPHEN RISER - Data mode : D - Platform type : APEX - WMO inst type : 846 - FLOAT SERIAL : 6022 - Date : 2018 2 17
Float : 5903907 - Cycle : 193 - PI : STEPHEN RISER, - Data mode : D - Platform type : APEX - WMO inst type : 846 - FLOAT SERIAL : 6022 - Date : 2018 2 27
Float : 5903907 - Cycle : 196 - PI : STEPHEN RISER, - Data mode : D - Platform type : APEX - WMO inst type : 846 - FLOAT SERIAL : 6022 - Date : 2018 3 29
Float : 5903907 - Cycle : 198 - PI : STEPHEN RISER, - Data mode : D - Platform type : APEX - WMO inst type : 846 - FLOAT SERIAL : 6022 - Date : 2018 4 19
Float : 5903907 - Cycle : 199 - PI : STEPHEN RISER - Data mode : D - Platform type : APEX - WMO inst type : 846 - FLOAT SERIAL : 6022 - Date : 2018 4 29
Float : 5903907 - Cycle : 201 - PI : STEPHEN RISER - Data mode : D - Platform type : APEX - WMO inst type : 846 - FLOAT SERIAL : 6022 - Date : 2018 5 19
Float : 5903971 - Cycle : 259 - PI : STEPHEN RISER, - Data mode : D - Platform type : APEX - WMO inst type : 846 - FLOAT SERIAL : 6036 - Date : 2019 12 25
Float : 5904302 - Cycle : 366 - PI : DAN RUDNICK - Data mode : D - Platform type : SOLO_II - WMO inst type : 853 - FLOAT SERIAL : 8119 - Date : 2015 10 24
Float : 5904399 - Cycle : 37 - PI : STEPHEN RISER - Data mode : D - Platform type : APEX - WMO inst type : 846 - FLOAT SERIAL : 6928 - Date : 2015 7 12
Float : 5904536 - Cycle : 212 - PI : DEAN ROEMMICH - Data mode : D - Platform type : SOLO_II - WMO inst type : 853 - FLOAT SERIAL : 8249 - Date : 2019 3 24
Float : 5904536 - Cycle : 213 - PI : DEAN ROEMMICH - Data mode : D - Platform type : SOLO_II - WMO inst type : 853 - FLOAT SERIAL : 8249 - Date : 2019 4 3
Float : 5904536 - Cycle : 214 - PI : DEAN ROEMMICH - Data mode : D - Platform type : SOLO_II - WMO inst type : 853 - FLOAT SERIAL : 8249 - Date : 2019 4 13
Float : 5904536 - Cycle : 215 - PI : DEAN ROEMMICH - Data mode : D - Platform type : SOLO_II - WMO inst type : 853 - FLOAT SERIAL : 8249 - Date : 2019 4 13
Float : 5904536 - Cycle : 216 - PI : DEAN ROEMMICH - Data mode : D - Platform type : SOLO_II - WMO inst type : 853 - FLOAT SERIAL : 8249 - Date : 2019 4 23
Float : 5904536 - Cycle : 217 - PI : DEAN ROEMMICH - Data mode : D - Platform type : SOLO_II - WMO inst type : 853 - FLOAT SERIAL : 8249 - Date : 2019 5 3
Float : 5904536 - Cycle : 218 - PI : DEAN ROEMMICH - Data mode : D - Platform type : SOLO_II - WMO inst type : 853 - FLOAT SERIAL : 8249 - Date : 2019 5 4
Float : 5904536 - Cycle : 219 - PI : DEAN ROEMMICH - Data mode : D - Platform type : SOLO_II - WMO inst type : 853 - FLOAT SERIAL : 8249 - Date : 2019 5 13
Float : 5904536 - Cycle : 220 - PI : DEAN ROEMMICH - Data mode : D - Platform type : SOLO_II - WMO inst type : 853 - FLOAT SERIAL : 8249 - Date : 2019 5 23
Float : 5904536 - Cycle : 221 - PI : DEAN ROEMMICH - Data mode : D - Platform type : SOLO_II - WMO inst type : 853 - FLOAT SERIAL : 8249 - Date : 2019 5 24
Float : 5904536 - Cycle : 222 - PI : DEAN ROEMMICH - Data mode : D - Platform type : SOLO_II - WMO inst type : 853 - FLOAT SERIAL : 8249 - Date : 2019 6 3
Float : 5904536 - Cycle : 223 - PI : DEAN ROEMMICH - Data mode : D - Platform type : SOLO_II - WMO inst type : 853 - FLOAT SERIAL : 8249 - Date : 2019 6 12
Float : 5904536 - Cycle : 224 - PI : DEAN ROEMMICH - Data mode : D - Platform type : SOLO_II - WMO inst type : 853 - FLOAT SERIAL : 8249 - Date : 2019 6 13
Float : 5904536 - Cycle : 225 - PI : DEAN ROEMMICH - Data mode : D - Platform type : SOLO_II - WMO inst type : 853 - FLOAT SERIAL : 8249 - Date : 2019 6 23
Float : 5904536 - Cycle : 226 - PI : DEAN ROEMMICH - Data mode : D - Platform type : SOLO_II - WMO inst type : 853 - FLOAT SERIAL : 8249 - Date : 2019 7 3
Float : 5904536 - Cycle : 227 - PI : DEAN ROEMMICH - Data mode : D - Platform type : SOLO_II - WMO inst type : 853 - FLOAT SERIAL : 8249 - Date : 2019 7 4
Float : 5904536 - Cycle : 228 - PI : DEAN ROEMMICH - Data mode : D - Platform type : SOLO_II - WMO inst type : 853 - FLOAT SERIAL : 8249 - Date : 2019 7 13
Float : 5904536 - Cycle : 229 - PI : DEAN ROEMMICH - Data mode : D - Platform type : SOLO_II - WMO inst type : 853 - FLOAT SERIAL : 8249 - Date : 2019 7 23
Float : 5904536 - Cycle : 230 - PI : DEAN ROEMMICH - Data mode : D - Platform type : SOLO_II - WMO inst type : 853 - FLOAT SERIAL : 8249 - Date : 2019 7 24
Float : 5904536 - Cycle : 231 - PI : DEAN ROEMMICH - Data mode : D - Platform type : SOLO_II - WMO inst type : 853 - FLOAT SERIAL : 8249 - Date : 2019 8 3
Float : 5904536 - Cycle : 232 - PI : DEAN ROEMMICH - Data mode : D - Platform type : SOLO_II - WMO inst type : 853 - FLOAT SERIAL : 8249 - Date : 2019 8 12
Float : 5904536 - Cycle : 233 - PI : DEAN ROEMMICH - Data mode : D - Platform type : SOLO_II - WMO inst type : 853 - FLOAT SERIAL : 8249 - Date : 2019 8 13
Float : 5904536 - Cycle : 234 - PI : DEAN ROEMMICH - Data mode : D - Platform type : SOLO_II - WMO inst type : 853 - FLOAT SERIAL : 8249 - Date : 2019 8 23
Float : 5904536 - Cycle : 235 - PI : DEAN ROEMMICH - Data mode : D - Platform type : SOLO_II - WMO inst type : 853 - FLOAT SERIAL : 8249 - Date : 2019 9 2
Float : 5904536 - Cycle : 236 - PI : DEAN ROEMMICH - Data mode : D - Platform type : SOLO_II - WMO inst type : 853 - FLOAT SERIAL : 8249 - Date : 2019 9 2
Float : 5904536 - Cycle : 237 - PI : DEAN ROEMMICH - Data mode : D - Platform type : SOLO_II - WMO inst type : 853 - FLOAT SERIAL : 8249 - Date : 2019 9 12
Float : 5904536 - Cycle : 238 - PI : DEAN ROEMMICH - Data mode : D - Platform type : SOLO_II - WMO inst type : 853 - FLOAT SERIAL : 8249 - Date : 2019 9 22
Float : 5904536 - Cycle : 239 - PI : DEAN ROEMMICH - Data mode : D - Platform type : SOLO_II - WMO inst type : 853 - FLOAT SERIAL : 8249 - Date : 2019 9 23

Float : 5904536 - Cycle : 240 - PI : DEAN ROEMMICH - Data mode : D - Platform type : SOLO_II - WMO inst type : 853 - FLOAT SERIAL : 8249 - Date : 2019 10 2
Float : 5904536 - Cycle : 241 - PI : DEAN ROEMMICH - Data mode : D - Platform type : SOLO_II - WMO inst type : 853 - FLOAT SERIAL : 8249 - Date : 2019 10 12
Float : 5904536 - Cycle : 242 - PI : DEAN ROEMMICH - Data mode : D - Platform type : SOLO_II - WMO inst type : 853 - FLOAT SERIAL : 8249 - Date : 2019 10 13
Float : 5904536 - Cycle : 243 - PI : DEAN ROEMMICH - Data mode : D - Platform type : SOLO_II - WMO inst type : 853 - FLOAT SERIAL : 8249 - Date : 2019 10 23
Float : 5904536 - Cycle : 244 - PI : DEAN ROEMMICH - Data mode : D - Platform type : SOLO_II - WMO inst type : 853 - FLOAT SERIAL : 8249 - Date : 2019 11 1
Float : 5904536 - Cycle : 245 - PI : DEAN ROEMMICH - Data mode : D - Platform type : SOLO_II - WMO inst type : 853 - FLOAT SERIAL : 8249 - Date : 2019 11 2
Float : 5904536 - Cycle : 246 - PI : DEAN ROEMMICH - Data mode : D - Platform type : SOLO_II - WMO inst type : 853 - FLOAT SERIAL : 8249 - Date : 2019 11 12
Float : 5904536 - Cycle : 247 - PI : DEAN ROEMMICH - Data mode : D - Platform type : SOLO_II - WMO inst type : 853 - FLOAT SERIAL : 8249 - Date : 2019 11 22
Float : 5904536 - Cycle : 248 - PI : DEAN ROEMMICH - Data mode : D - Platform type : SOLO_II - WMO inst type : 853 - FLOAT SERIAL : 8249 - Date : 2019 11 23
Float : 5904536 - Cycle : 249 - PI : DEAN ROEMMICH - Data mode : D - Platform type : SOLO_II - WMO inst type : 853 - FLOAT SERIAL : 8249 - Date : 2019 12 2
Float : 5904536 - Cycle : 250 - PI : DEAN ROEMMICH - Data mode : D - Platform type : SOLO_II - WMO inst type : 853 - FLOAT SERIAL : 8249 - Date : 2019 12 12
Float : 5904536 - Cycle : 251 - PI : DEAN ROEMMICH - Data mode : D - Platform type : SOLO_II - WMO inst type : 853 - FLOAT SERIAL : 8249 - Date : 2019 12 22
Float : 5904536 - Cycle : 252 - PI : DEAN ROEMMICH - Data mode : D - Platform type : SOLO_II - WMO inst type : 853 - FLOAT SERIAL : 8249 - Date : 2019 12 23
Float : 5904536 - Cycle : 253 - PI : DEAN ROEMMICH - Data mode : D - Platform type : SOLO_II - WMO inst type : 853 - FLOAT SERIAL : 8249 - Date : 2020 1 1
Float : 5904536 - Cycle : 254 - PI : DEAN ROEMMICH - Data mode : D - Platform type : SOLO_II - WMO inst type : 853 - FLOAT SERIAL : 8249 - Date : 2020 1 11
Float : 5905103 - Cycle : 33 - PI : STEPHEN RISER, KENNETH JOHNSON - Data mode : D - Platform type : APEX - WMO inst type : 846 - FLOAT SERIAL : 7704 - Date : 2019 1 2

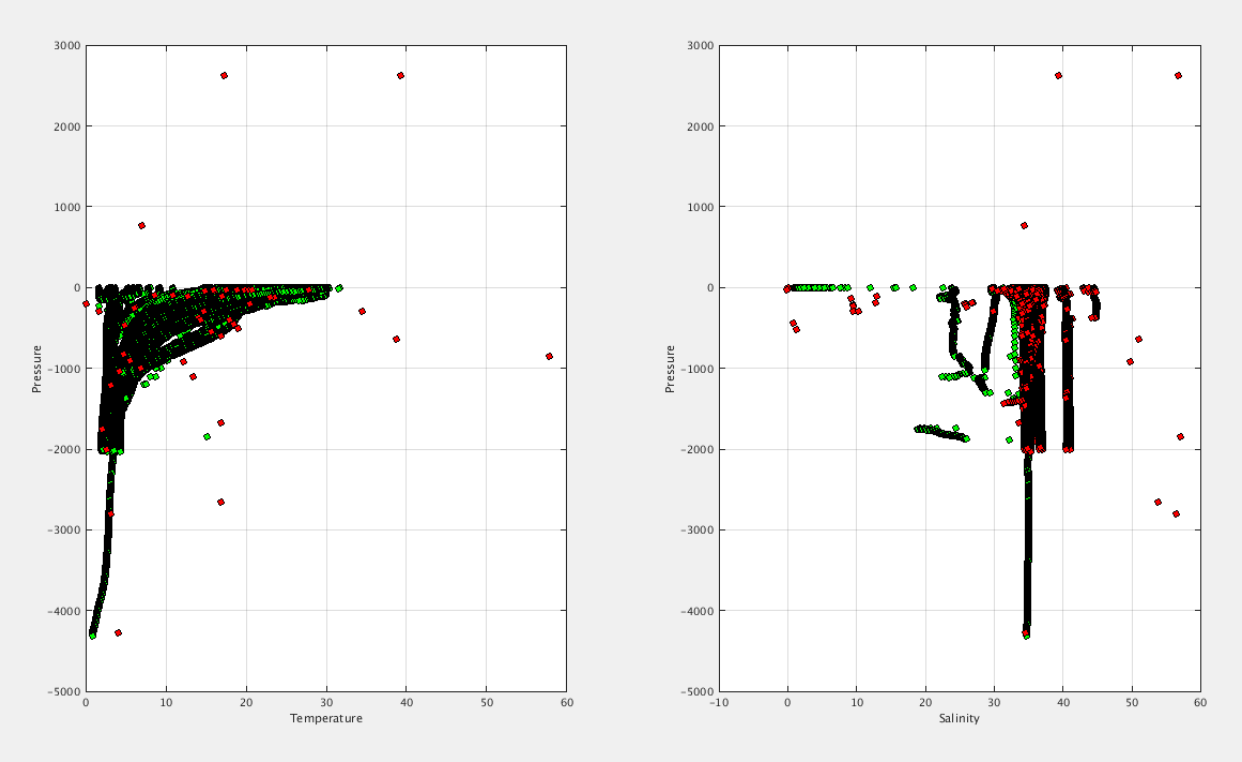

Plot for the 240 first profiles.

The list of the anomalies can be found at ftp://ftp.ifremer.fr/ifremer/argo/etc/ObjectiveAnalysisWarning/aoml/

Example of anomalies:

Warning Objective Analysis Anomalies 2020 January TEMP PSAL : DAC AO- Float 1901806 - 153

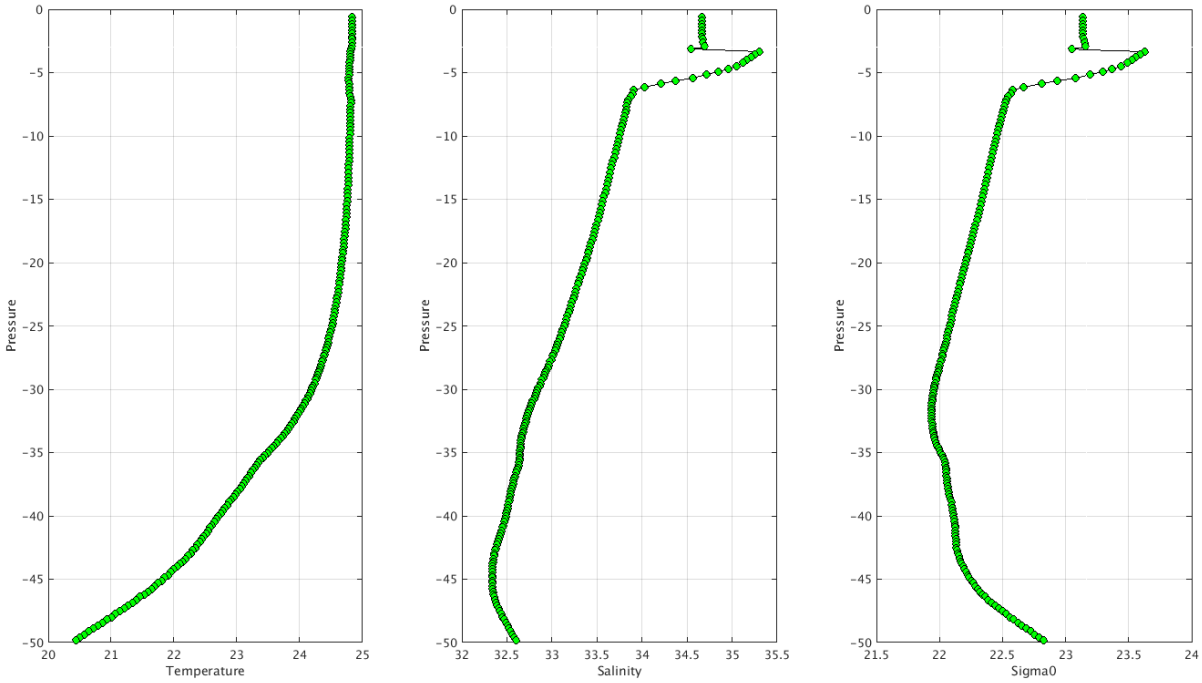

Warning Objective Analysis Anomalies 2020 January TEMP PSAL : DAC AO- Float 3901058 - 311

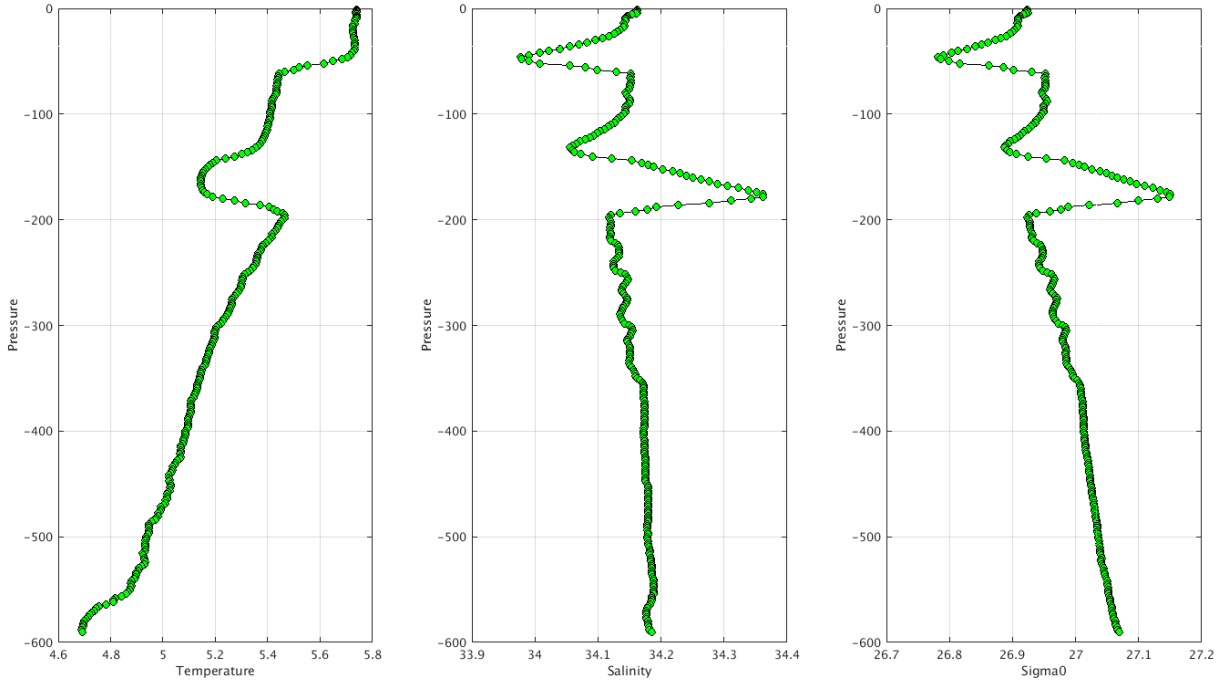

4.2. DAC BODC

Profiles detected by the objective analysis: 63 profiles (13 floats, but floats can have several cycles with anomalies)

Data_mode ='R'	Data_mode ='A'	Data_mode ='D'
7 cycles	52 cycles	4 cycles

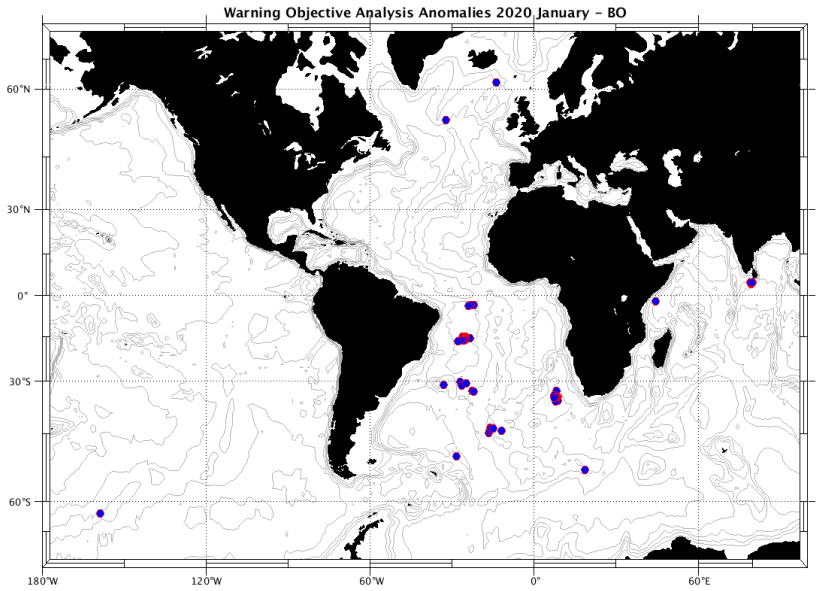

Status of corrections: **Correction not yet done, few feedback.**

Files data_mode='R' / 'A'

Float : 1901305 - Cycle : 66 - PI : Jon Turton - Data mode : A - Platform type : APEX - WMO inst type : 846 - FLOAT SERIAL : 6242 - Date : 2015 1 4
Float : 1901849 - Cycle : 199 - PI : Jon Turton - Data mode : R - Platform type : APEX - WMO inst type : 846 - FLOAT SERIAL : 7008 - Date : 2019 11 3
Float : 1901866 - Cycle : 85 - PI : Jon Turton - Data mode : A - Platform type : APEX - WMO inst type : 846 - FLOAT SERIAL : 7325 - Date : 2019 7 8
Float : 1901866 - Cycle : 88 - PI : Jon Turton - Data mode : A - Platform type : APEX - WMO inst type : 846 - FLOAT SERIAL : 7325 - Date : 2019 8 7
Float : 1901866 - Cycle : 91 - PI : Jon Turton - Data mode : A - Platform type : APEX - WMO inst type : 846 - FLOAT SERIAL : 7325 - Date : 2019 9 6
Float : 1901866 - Cycle : 93 - PI : Jon Turton - Data mode : A - Platform type : APEX - WMO inst type : 846 - FLOAT SERIAL : 7325 - Date : 2019 9 26
Float : 1901866 - Cycle : 94 - PI : Jon Turton - Data mode : A - Platform type : APEX - WMO inst type : 846 - FLOAT SERIAL : 7325 - Date : 2019 10 6
Float : 1901866 - Cycle : 98 - PI : Jon Turton - Data mode : A - Platform type : APEX - WMO inst type : 846 - FLOAT SERIAL : 7325 - Date : 2019 11 15
Float : 1901866 - Cycle : 101 - PI : Jon Turton - Data mode : A - Platform type : APEX - WMO inst type : 846 - FLOAT SERIAL : 7325 - Date : 2019 12 15
Float : 1901901 - Cycle : 41 - PI : Jon Turton - Data mode : A - Platform type : APEX - WMO inst type : 846 - FLOAT SERIAL : 8463 - Date : 2019 8 2
Float : 1901914 - Cycle : 1 - PI : Jon Turton - Data mode : A - Platform type : APEX - WMO inst type : 846 - FLOAT SERIAL : 3901 - Date : 2019 10 10
Float : 1901914 - Cycle : 2 - PI : Jon Turton - Data mode : A - Platform type : APEX - WMO inst type : 846 - FLOAT SERIAL : 3901 - Date : 2019 10 20
Float : 1901914 - Cycle : 3 - PI : Jon Turton - Data mode : A - Platform type : APEX - WMO inst type : 846 - FLOAT SERIAL : 3901 - Date : 2019 10 30
Float : 1901914 - Cycle : 4 - PI : Jon Turton - Data mode : A - Platform type : APEX - WMO inst type : 846 - FLOAT SERIAL : 3901 - Date : 2019 11 9
Float : 1901914 - Cycle : 6 - PI : Jon Turton - Data mode : A - Platform type : APEX - WMO inst type : 846 - FLOAT SERIAL : 3901 - Date : 2019 11 29
Float : 1901914 - Cycle : 7 - PI : Jon Turton - Data mode : A - Platform type : APEX - WMO inst type : 846 - FLOAT SERIAL : 3901 - Date : 2019 12 9
Float : 1901914 - Cycle : 8 - PI : Jon Turton - Data mode : A - Platform type : APEX - WMO inst type : 846 - FLOAT SERIAL : 3901 - Date : 2019 12 19
Float : 1901914 - Cycle : 9 - PI : Jon Turton - Data mode : A - Platform type : APEX - WMO inst type : 846 - FLOAT SERIAL : 3901 - Date : 2019 12 29
Float : 1901914 - Cycle : 10 - PI : Jon Turton - Data mode : A - Platform type : APEX - WMO inst type : 846 - FLOAT SERIAL : 3901 - Date : 2020 1 8
Float : 1901914 - Cycle : 11 - PI : Jon Turton - Data mode : A - Platform type : APEX - WMO inst type : 846 - FLOAT SERIAL : 3901 - Date : 2020 1 18
Float : 2901897 - Cycle : 199 - PI : Brian King - Data mode : A - Platform type : NAVIS_EBR - WMO inst type : 863 - FLOAT SERIAL : 0630 - Date : 2019 12 14
Float : 2901897 - Cycle : 200 - PI : Brian King - Data mode : A - Platform type : NAVIS_EBR - WMO inst type : 863 - FLOAT SERIAL : 0630 - Date : 2019 12 23
Float : 2901897 - Cycle : 201 - PI : Brian King - Data mode : A - Platform type : NAVIS_EBR - WMO inst type : 863 - FLOAT SERIAL : 0630 - Date : 2020 1 1
Float : 2901897 - Cycle : 202 - PI : Brian King - Data mode : A - Platform type : NAVIS_EBR - WMO inst type : 863 - FLOAT SERIAL : 0630 - Date : 2020 1 10
Float : 2901897 - Cycle : 203 - PI : Brian King - Data mode : A - Platform type : NAVIS_EBR - WMO inst type : 863 - FLOAT SERIAL : 0630 - Date : 2020 1 20
Float : 3901548 - Cycle : 5 - PI : Jon Turton - Data mode : A - Platform type : APEX - WMO inst type : 846 - FLOAT SERIAL : 7001 - Date : 2018 11 24
Float : 3901548 - Cycle : 6 - PI : Jon Turton - Data mode : A - Platform type : APEX - WMO inst type : 846 - FLOAT SERIAL : 7001 - Date : 2018 12 4
Float : 3901548 - Cycle : 7 - PI : Jon Turton - Data mode : A - Platform type : APEX - WMO inst type : 846 - FLOAT SERIAL : 7001 - Date : 2018 12 14
Float : 3901548 - Cycle : 8 - PI : Jon Turton - Data mode : A - Platform type : APEX - WMO inst type : 846 - FLOAT SERIAL : 7001 - Date : 2018 12 24
Float : 3901548 - Cycle : 21 - PI : Jon Turton - Data mode : A - Platform type : APEX - WMO inst type : 846 - FLOAT SERIAL : 7001 - Date : 2019 5 3
Float : 3901548 - Cycle : 22 - PI : Jon Turton - Data mode : A - Platform type : APEX - WMO inst type : 846 - FLOAT SERIAL : 7001 - Date : 2019 5 13

Float : 3901548 - Cycle : 23 - PI : Jon Turton - Data mode : A - Platform type : APEX - WMO inst type : 846 - FLOAT SERIAL : 7001 - Date : 2019 5 23
Float : 3901548 - Cycle : 24 - PI : Jon Turton - Data mode : A - Platform type : APEX - WMO inst type : 846 - FLOAT SERIAL : 7001 - Date : 2019 6 2
Float : 3901548 - Cycle : 25 - PI : Jon Turton - Data mode : A - Platform type : APEX - WMO inst type : 846 - FLOAT SERIAL : 7001 - Date : 2019 6 12
Float : 3901548 - Cycle : 26 - PI : Jon Turton - Data mode : A - Platform type : APEX - WMO inst type : 846 - FLOAT SERIAL : 7001 - Date : 2019 6 22
Float : 3901548 - Cycle : 27 - PI : Jon Turton - Data mode : A - Platform type : APEX - WMO inst type : 846 - FLOAT SERIAL : 7001 - Date : 2019 7 2
Float : 3901548 - Cycle : 28 - PI : Jon Turton - Data mode : A - Platform type : APEX - WMO inst type : 846 - FLOAT SERIAL : 7001 - Date : 2019 7 12
Float : 3901548 - Cycle : 29 - PI : Jon Turton - Data mode : A - Platform type : APEX - WMO inst type : 846 - FLOAT SERIAL : 7001 - Date : 2019 7 22
Float : 3901548 - Cycle : 30 - PI : Jon Turton - Data mode : A - Platform type : APEX - WMO inst type : 846 - FLOAT SERIAL : 7001 - Date : 2019 8 1
Float : 3901548 - Cycle : 31 - PI : Jon Turton - Data mode : A - Platform type : APEX - WMO inst type : 846 - FLOAT SERIAL : 7001 - Date : 2019 8 11
Float : 3901548 - Cycle : 32 - PI : Jon Turton - Data mode : A - Platform type : APEX - WMO inst type : 846 - FLOAT SERIAL : 7001 - Date : 2019 8 21
Float : 3901548 - Cycle : 33 - PI : Jon Turton - Data mode : A - Platform type : APEX - WMO inst type : 846 - FLOAT SERIAL : 7001 - Date : 2019 8 31
Float : 3901548 - Cycle : 34 - PI : Jon Turton - Data mode : A - Platform type : APEX - WMO inst type : 846 - FLOAT SERIAL : 7001 - Date : 2019 9 10
Float : 3901548 - Cycle : 35 - PI : Jon Turton - Data mode : A - Platform type : APEX - WMO inst type : 846 - FLOAT SERIAL : 7001 - Date : 2019 9 20
Float : 3901548 - Cycle : 36 - PI : Jon Turton - Data mode : A - Platform type : APEX - WMO inst type : 846 - FLOAT SERIAL : 7001 - Date : 2019 9 30
Float : 3901548 - Cycle : 38 - PI : Jon Turton - Data mode : A - Platform type : APEX - WMO inst type : 846 - FLOAT SERIAL : 7001 - Date : 2019 10 20
Float : 3901548 - Cycle : 39 - PI : Jon Turton - Data mode : A - Platform type : APEX - WMO inst type : 846 - FLOAT SERIAL : 7001 - Date : 2019 10 30
Float : 3901548 - Cycle : 40 - PI : Jon Turton - Data mode : A - Platform type : APEX - WMO inst type : 846 - FLOAT SERIAL : 7001 - Date : 2019 11 9
Float : 3901548 - Cycle : 42 - PI : Jon Turton - Data mode : A - Platform type : APEX - WMO inst type : 846 - FLOAT SERIAL : 7001 - Date : 2019 11 29
Float : 3901548 - Cycle : 45 - PI : Jon Turton - Data mode : A - Platform type : APEX - WMO inst type : 846 - FLOAT SERIAL : 7001 - Date : 2019 12 29
Float : 3901904 - Cycle : 105 - PI : Pierre-Marie Poulain - Data mode : R - Platform type : ARVOR - WMO inst type : 844 - FLOAT SERIAL : AR2600-16FR067 - Date : 2019 12 2
Float : 3901955 - Cycle : 81 - PI : Andy Rees - Data mode : R - Platform type : ARVOR - WMO inst type : 844 - FLOAT SERIAL : AI2600-16FR098 - Date : 2019 12 24
Float : 3901955 - Cycle : 82 - PI : Andy Rees - Data mode : R - Platform type : ARVOR - WMO inst type : 844 - FLOAT SERIAL : AI2600-16FR098 - Date : 2020 1 3
Float : 3901955 - Cycle : 83 - PI : Andy Rees - Data mode : R - Platform type : ARVOR - WMO inst type : 844 - FLOAT SERIAL : AI2600-16FR098 - Date : 2020 1 13
Float : 6901166 - Cycle : 187 - PI : Jon Turton - Data mode : R - Platform type : APEX - WMO inst type : 846 - FLOAT SERIAL : 6608 - Date : 2019 8 14
Float : 6901930 - Cycle : 61 - PI : Diarmuid O'Conchubhair - Data mode : R - Platform type : ARVOR - WMO inst type : 844 - FLOAT SERIAL : AI2600-17EU02 - Date : 2019 11 19

Files data_mode='D'

Float : 3900114 - Cycle : 10 - PI : Jon Turton - Data mode : D - Platform type : APEX - WMO inst type : 846 - FLOAT SERIAL : 894 - Date : 2003 8 30
Float : 3900114 - Cycle : 148 - PI : Jon Turton - Data mode : D - Platform type : APEX - WMO inst type : 846 - FLOAT SERIAL : 894 - Date : 2007 7 12
Float : 3900114 - Cycle : 150 - PI : Jon Turton - Data mode : D - Platform type : APEX - WMO inst type : 846 - FLOAT SERIAL : 894 - Date : 2007 8 1
Float : 3901879 - Cycle : 77 - PI : Andreas Sterl - Data mode : D - Platform type : ARVOR - WMO inst type : 844 - FLOAT SERIAL : AI2600-16FR042 - Date : 2019 5 5

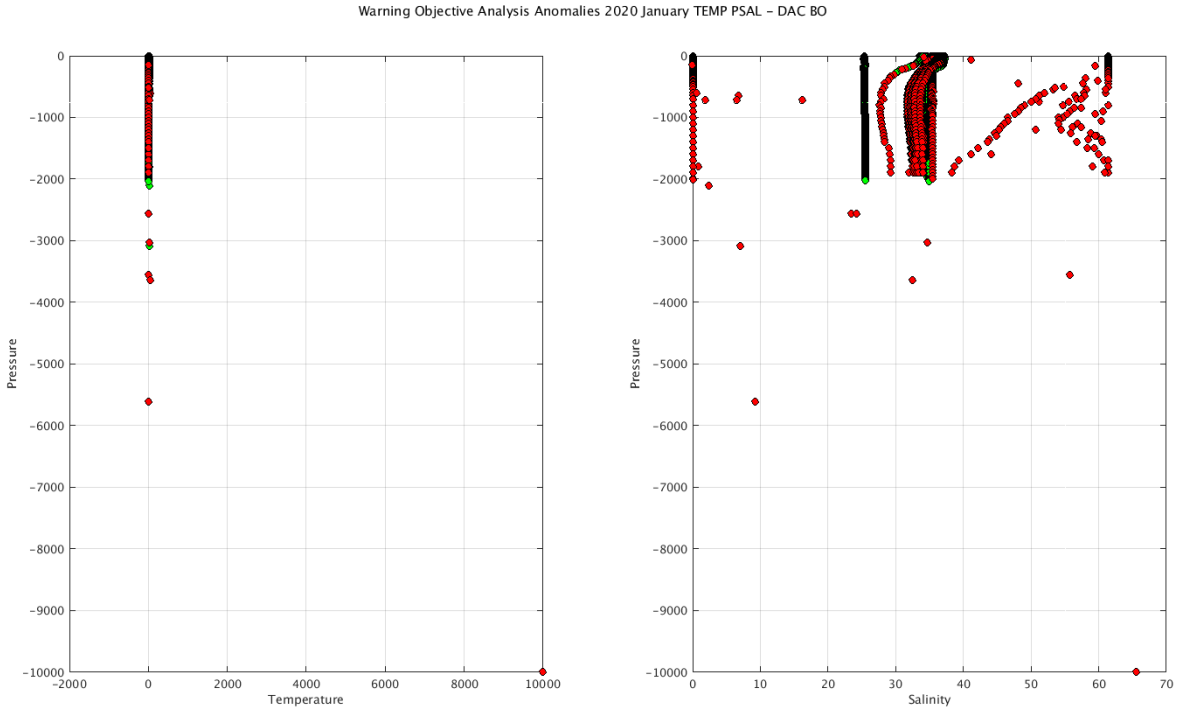

The list of the anomalies can be found at ftp://ftp.ifremer.fr/ifremer/argo/etc/ObjectiveAnalysisWarning/bodc/

Example of anomalies:

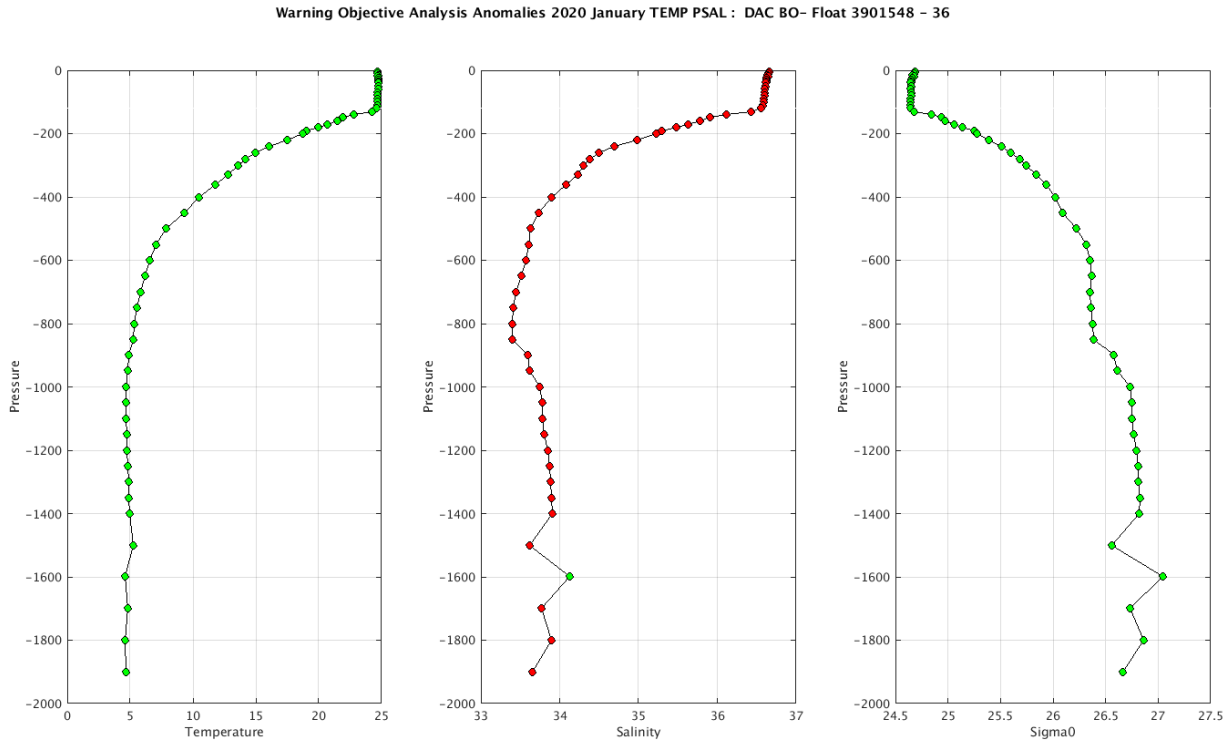

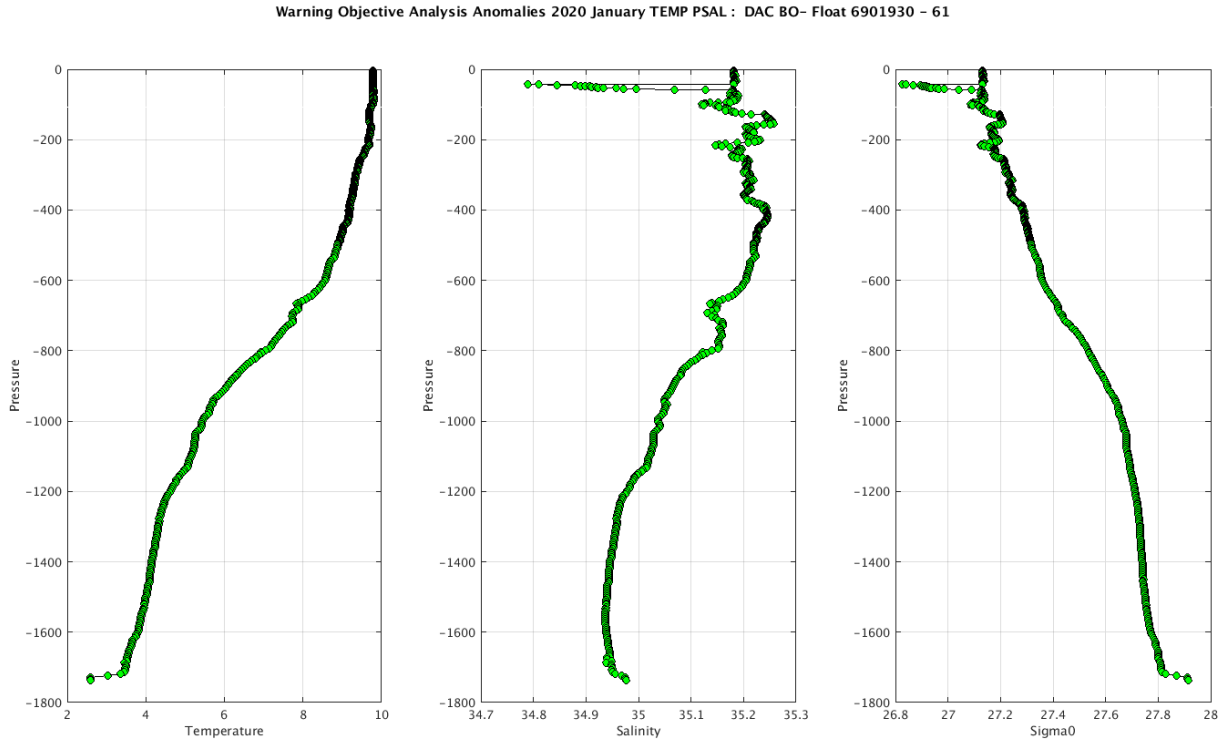

Delayed Mode anomalies (adjusted fields) – date mode =’A’ or ‘D’

- Floats with D files but the following R files are still in ‘R’ mode and not in ‘A’ mode.

Ex. Floats 1901222

D1901222_064.nc - – R1901222_065.nc - but for cycle 65, data_mode=R and QC=9 on adjusted_parameters

```
PRES_ADJUSTED =
 _, _, _, _, _, _, _, _, _, _, _, _, _, _, _, _, _, _, _, _, _, _, _,
   _, _, _, _, _, _, _, _, _, _, _, _, _, _, _, _, _, _, _, _, _, _, _,
   _, _, _, _, _, _, _, _, _ ;

PSAL_ADJUSTED =
 _, _, _, _, _, _, _, _, _, _, _, _, _, _, _, _, _, _, _, _, _, _, _,
   _, _, _, _, _, _, _, _, _, _, _, _, _, _, _, _, _, _, _, _, _, _, _,
   _, _, _, _, _, _, _, _, _ ;

TEMP_ADJUSTED =
 _, _, _, _, _, _, _, _, _, _, _, _, _, _, _, _, _, _, _, _, _, _, _,
   _, _, _, _, _, _, _, _, _, _, _, _, _, _, _, _, _, _, _, _, _, _, _,
   _, _, _, _, _, _, _, _, _ ;

PRES_ADJUSTED_QC =
 "99999999999999999999999999999999999999999999999999999999999999" ;

PSAL_ADJUSTED_QC =
 "99999999999999999999999999999999999999999999999999999999999999" ;

TEMP_ADJUSTED_QC =
 "99999999999999999999999999999999999999999999999999999999999999" ;

PRES_ADJUSTED_ERROR =
 _, _, _, _, _, _, _, _, _, _, _, _, _, _, _, _, _, _, _, _, _, _, _,
   _, _, _, _, _, _, _, _, _, _, _, _, _, _, _, _, _, _, _, _, _, _, _,
   _, _, _, _, _, _, _, _, _ ;
```

4.3. DAC CSIO

Profiles detected by the objective analysis: 10 profiles (6 floats, but floats can have several cycles with anomalies)

Data_mode =’R’	Data_mode =’A’	Data_mode =’D’
2 cycles	7 cycles	1 cycle

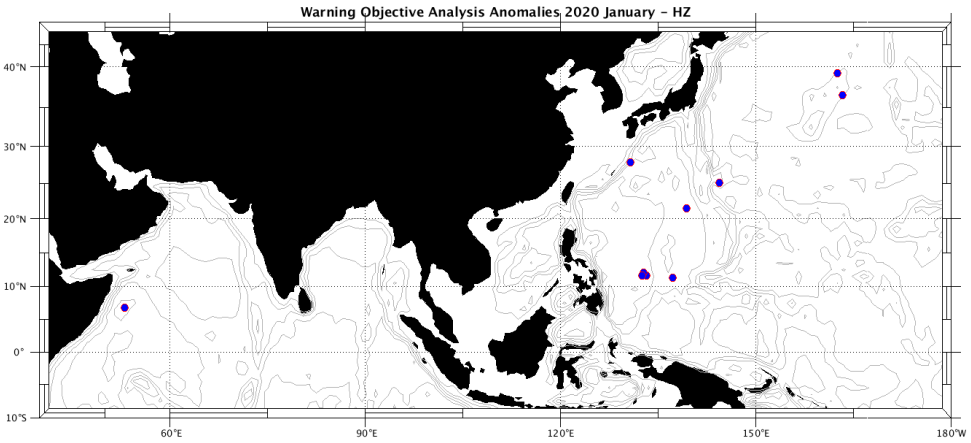

Status of corrections: No feedback, corrections not always done.

Files data_mode=’R’ / ‘A’

Float : 2901546 - Cycle : 39 - PI : JIANPING XU - Data mode : A - Platform type : APEX - WMO inst type : 846 - FLOAT SERIAL : 6571 - Date : 2015 1 19
Float : 2901546 - Cycle : 50 - PI : JIANPING XU - Data mode : A - Platform type : APEX - WMO inst type : 846 - FLOAT SERIAL : 6571 - Date : 2015 5 9
Float : 2901546 - Cycle : 52 - PI : JIANPING XU - Data mode : A - Platform type : APEX - WMO inst type : 846 - FLOAT SERIAL : 6571 - Date : 2015 5 29
Float : 2901546 - Cycle : 55 - PI : JIANPING XU - Data mode : A - Platform type : APEX - WMO inst type : 846 - FLOAT SERIAL : 6571 - Date : 2015 6 28
Float : 2901556 - Cycle : 403 - PI : Shangping Xie - Data mode : A - Platform type : PROVOR - WMO inst type : 841 - FLOAT SERIAL : OIN-13CH-HPX-07 - Date : 2015 5 7
Float : 2902622 - Cycle : 12 - PI : ZENGHONG LIU - Data mode : A - Platform type : PROVOR - WMO inst type : 841 - FLOAT SERIAL : OIN-13CH-S31-67 - Date : 2015 2 11
Float : 2902719 - Cycle : 145 - PI : JIANPING XU - Data mode : A - Platform type : APEX - WMO inst type : 846 - FLOAT SERIAL : 8249 - Date : 2019 11 10
Float : 2902755 - Cycle : 203 - PI : FEI CHAI - Data mode : R - Platform type : PROVOR - WMO inst type : 841 - FLOAT SERIAL : P41308-17CH004 - Date : 2019 12 28
Float : 2902755 - Cycle : 208 - PI : FEI CHAI - Data mode : R - Platform type : PROVOR - WMO inst type : 841 - FLOAT SERIAL : P41308-17CH004 - Date : 2020 1 22

Files data_mode=’D’

Float : 2902541 - Cycle : 122 - PI : ZENGHONG LIU - Data mode : D - Platform type : PROVOR - WMO inst type : 841 - FLOAT SERIAL : OIN-11CH-S31-01 - Date : 2015 6 20

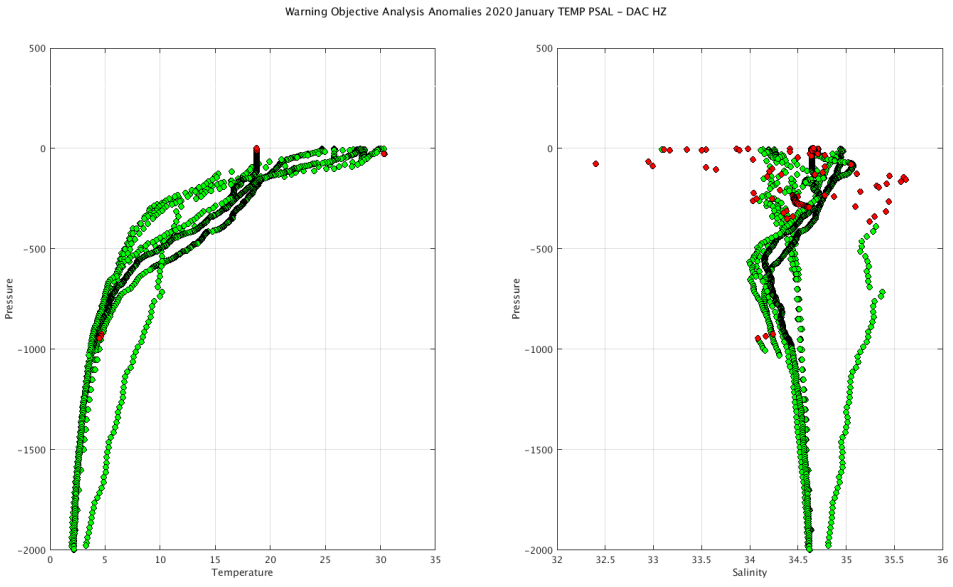

The list of the anomalies can be found at ftp://ftp.ifremer.fr/ifremer/argo/etc/ObjectiveAnalysisWarning/csio/

Example of anomalies:

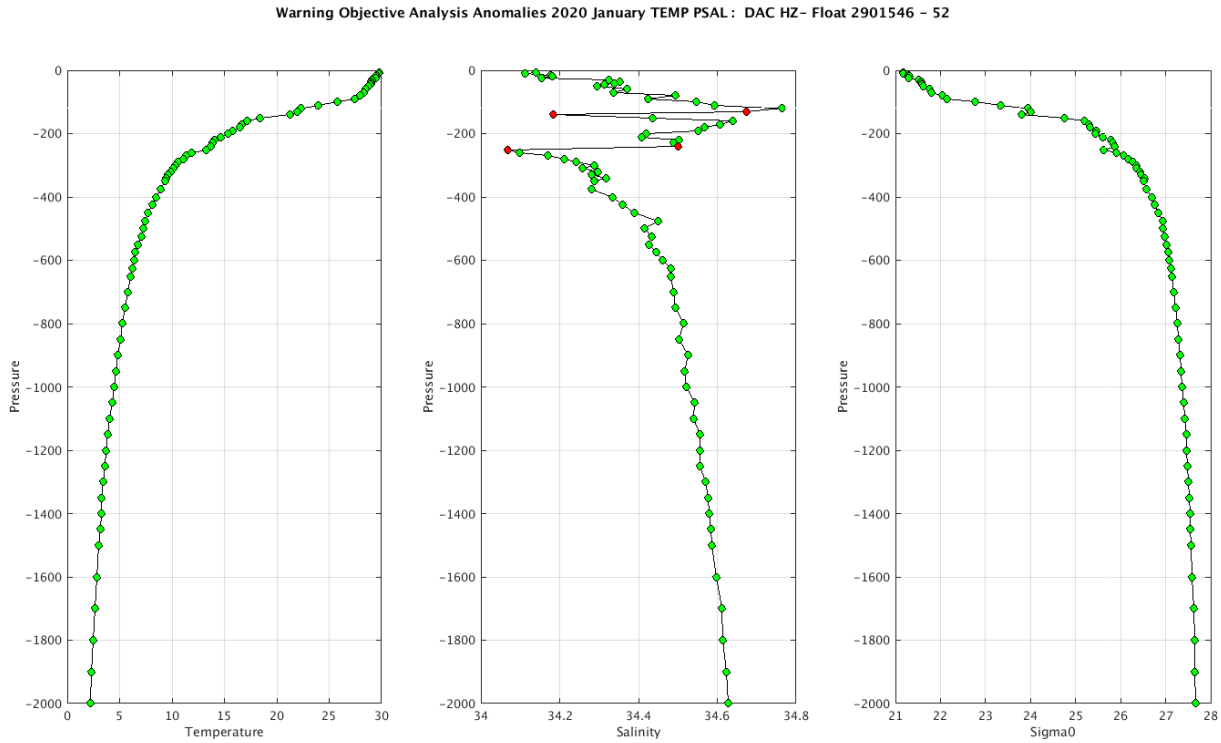

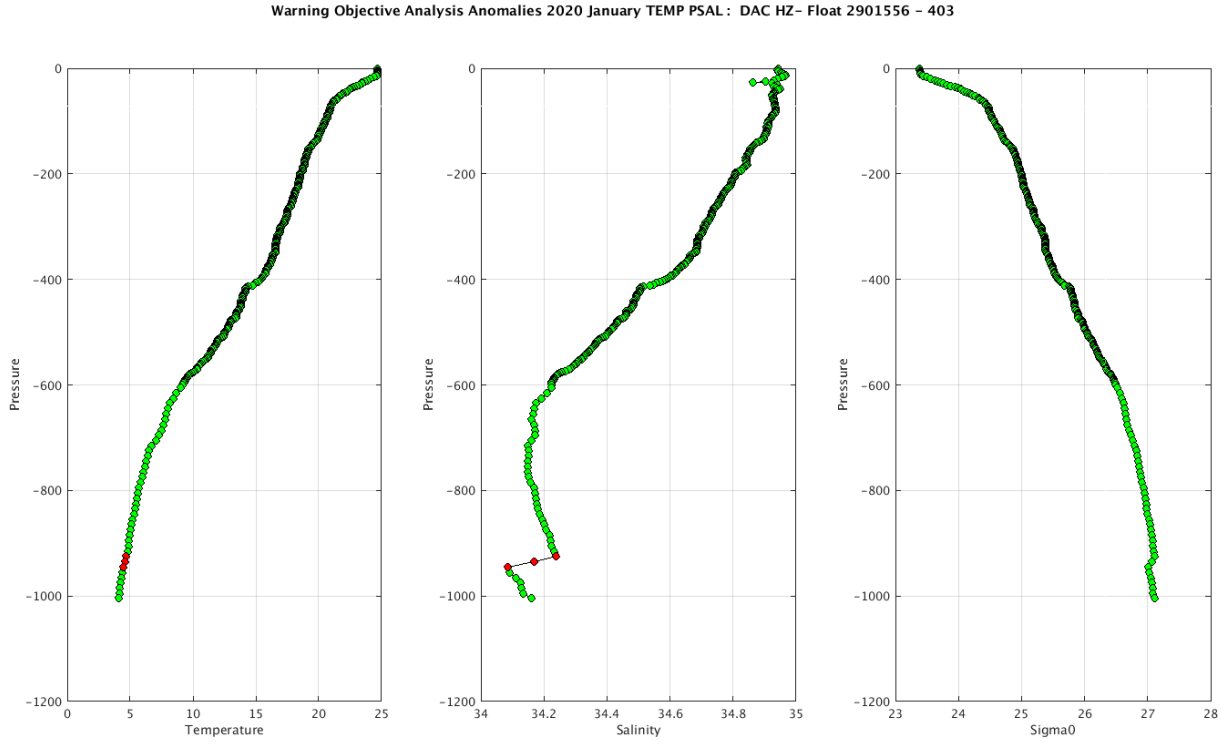

4.4. DAC CSIRO

Profiles detected by the objective analysis: 39 profiles (20 floats, but floats can have several cycles with anomalies)

Data_mode ='R'	Data_mode ='A'	Data_mode ='D'
0 cycle	26 cycles	13 cycles

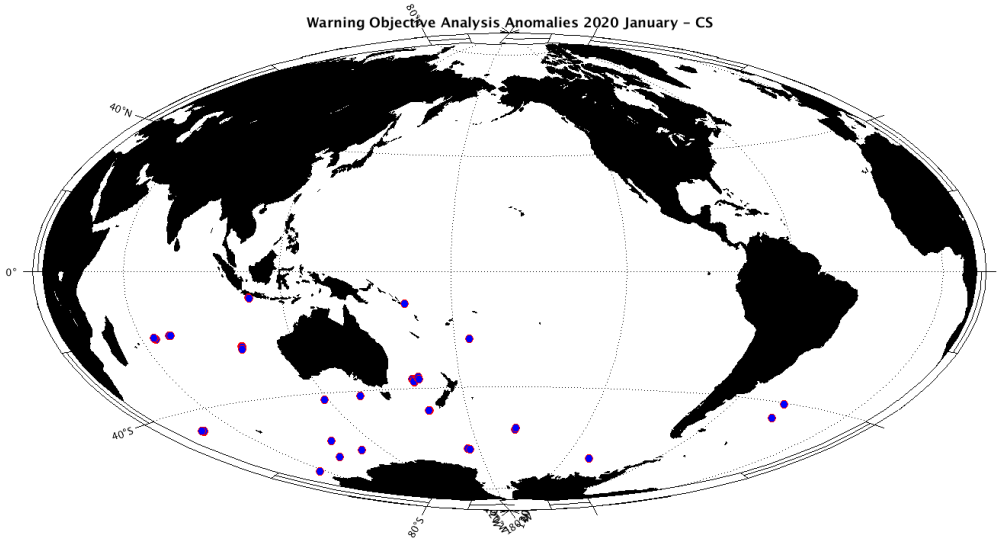

Status of corrections: **Corrections done or in progress, feedback.**

Files data_mode='R' / 'A'

Float : 1901325 - Cycle : 303 - PI : Susan Wijffels - Data mode : A - Platform type : APEX - WMO inst type : 846 - FLOAT SERIAL : 5479 - Date : 2019 12 29
Float : 1901325 - Cycle : 304 - PI : Susan Wijffels - Data mode : A - Platform type : APEX - WMO inst type : 846 - FLOAT SERIAL : 5479 - Date : 2020 1 8
Float : 1901325 - Cycle : 305 - PI : Susan Wijffels - Data mode : A - Platform type : APEX - WMO inst type : 846 - FLOAT SERIAL : 5479 - Date : 2020 1 18
Float : 5903248 - Cycle : 352 - PI : Susan Wijffels - Data mode : A - Platform type : APEX - WMO inst type : 846 - FLOAT SERIAL : 4590 - Date : 2019 10 4
Float : 5903248 - Cycle : 353 - PI : Susan Wijffels - Data mode : A - Platform type : APEX - WMO inst type : 846 - FLOAT SERIAL : 4590 - Date : 2019 10 14
Float : 5903248 - Cycle : 355 - PI : Susan Wijffels - Data mode : A - Platform type : APEX - WMO inst type : 846 - FLOAT SERIAL : 4590 - Date : 2019 11 3
Float : 5903664 - Cycle : 324 - PI : Susan Wijffels - Data mode : A - Platform type : APEX - WMO inst type : 846 - FLOAT SERIAL : 5074 - Date : 2019 12 19
Float : 5903706 - Cycle : 304 - PI : Susan Wijffels - Data mode : A - Platform type : APEX - WMO inst type : 846 - FLOAT SERIAL : 5481 - Date : 2020 1 4
Float : 5903706 - Cycle : 305 - PI : Susan Wijffels - Data mode : A - Platform type : APEX - WMO inst type : 846 - FLOAT SERIAL : 5481 - Date : 2020 1 14
Float : 5904248 - Cycle : 241 - PI : Susan Wijffels - Data mode : A - Platform type : APEX - WMO inst type : 846 - FLOAT SERIAL : 5957 - Date : 2020 1 18
Float : 5904888 - Cycle : 197 - PI : Susan Wijffels - Data mode : A - Platform type : APEX - WMO inst type : 846 - FLOAT SERIAL : 7047 - Date : 2020 1 11
Float : 5905017 - Cycle : 151 - PI : Susan Wijffels - Data mode : A - Platform type : APEX - WMO inst type : 846 - FLOAT SERIAL : 7432 - Date : 2020 1 14
Float : 5905017 - Cycle : 152 - PI : Susan Wijffels - Data mode : A - Platform type : APEX - WMO inst type : 846 - FLOAT SERIAL : 7432 - Date : 2020 1 24
Float : 5905029 - Cycle : 147 - PI : Susan Wijffels - Data mode : A - Platform type : APEX - WMO inst type : 846 - FLOAT SERIAL : 7382 - Date : 2020 1 16
Float : 5905029 - Cycle : 148 - PI : Susan Wijffels - Data mode : A - Platform type : APEX - WMO inst type : 846 - FLOAT SERIAL : 7382 - Date : 2020 1 25
Float : 5905034 - Cycle : 138 - PI : Susan Wijffels - Data mode : A - Platform type : APEX - WMO inst type : 846 - FLOAT SERIAL : 7612 - Date : 2020 1 20
Float : 5905184 - Cycle : 117 - PI : Susan Wijffels - Data mode : A - Platform type : APEX - WMO inst type : 846 - FLOAT SERIAL : 7797 - Date : 2020 1 23
Float : 5905186 - Cycle : 116 - PI : Susan Wijffels - Data mode : A - Platform type : APEX - WMO inst type : 846 - FLOAT SERIAL : 7799 - Date : 2020 1 14
Float : 5905186 - Cycle : 117 - PI : Susan Wijffels - Data mode : A - Platform type : APEX - WMO inst type : 846 - FLOAT SERIAL : 7799 - Date : 2020 1 24
Float : 5905389 - Cycle : 76 - PI : Peter Oke - Data mode : A - Platform type : APEX - WMO inst type : 846 - FLOAT SERIAL : 8154 - Date : 2020 1 1
Float : 7900333 - Cycle : 260 - PI : Steve Rintoul - Data mode : A - Platform type : APEX - WMO inst type : 846 - FLOAT SERIAL : 6164 - Date : 2020 1 2
Float : 7900394 - Cycle : 220 - PI : Susan Wijffels - Data mode : A - Platform type : APEX - WMO inst type : 846 - FLOAT SERIAL : 6567 - Date : 2019 12 26
Float : 7900617 - Cycle : 147 - PI : Susan Wijffels - Data mode : A - Platform type : APEX - WMO inst type : 846 - FLOAT SERIAL : 7385 - Date : 2020 1 6
Float : 7900622 - Cycle : 116 - PI : Steve Rintoul - Data mode : A - Platform type : APEX - WMO inst type : 846 - FLOAT SERIAL : 7736 - Date : 2020 1 17
Float : 7900622 - Cycle : 117 - PI : Steve Rintoul - Data mode : A - Platform type : APEX - WMO inst type : 846 - FLOAT SERIAL : 7736 - Date : 2020 1 27
Float : 7900644 - Cycle : 3 - PI : Peter Oke - Data mode : A - Platform type : APEX - WMO inst type : 846 - FLOAT SERIAL : 8857 - Date : 2020 1 15

Files data_mode='D'

Float : 5901659 - Cycle : 248 - PI : Susan Wijffels - Data mode : D - Platform type : APEX - WMO inst type : 846 - FLOAT SERIAL : 3709 - Date : 2015 1 22
Float : 5901659 - Cycle : 249 - PI : Susan Wijffels - Data mode : D - Platform type : APEX - WMO inst type : 846 - FLOAT SERIAL : 3709 - Date : 2015 1 31
Float : 5901659 - Cycle : 252 - PI : Susan Wijffels - Data mode : D - Platform type : APEX - WMO inst type : 846 - FLOAT SERIAL : 3709 - Date : 2015 3 3
Float : 5901659 - Cycle : 254 - PI : Susan Wijffels - Data mode : D - Platform type : APEX - WMO inst type : 846 - FLOAT SERIAL : 3709 - Date : 2015 3 23
Float : 5901659 - Cycle : 261 - PI : Susan Wijffels - Data mode : D - Platform type : APEX - WMO inst type : 846 - FLOAT SERIAL : 3709 - Date : 2015 5 31
Float : 5901659 - Cycle : 279 - PI : Susan Wijffels - Data mode : D - Platform type : APEX - WMO inst type : 846 - FLOAT SERIAL : 3709 - Date : 2015 11 27
Float : 5901659 - Cycle : 280 - PI : Susan Wijffels - Data mode : D - Platform type : APEX - WMO inst type : 846 - FLOAT SERIAL : 3709 - Date : 2015 12 8
Float : 5901659 - Cycle : 282 - PI : Susan Wijffels - Data mode : D - Platform type : APEX - WMO inst type : 846 - FLOAT SERIAL : 3709 - Date : 2015 12 28
Float : 5901683 - Cycle : 251 - PI : Susan Wijffels - Data mode : D - Platform type : APEX - WMO inst type : 846 - FLOAT SERIAL : 3675 - Date : 2015 9 18
Float : 5901683 - Cycle : 252 - PI : Susan Wijffels - Data mode : D - Platform type : APEX - WMO inst type : 846 - FLOAT SERIAL : 3675 - Date : 2015 9 28
Float : 5901683 - Cycle : 253 - PI : Susan Wijffels - Data mode : D - Platform type : APEX - WMO inst type : 846 - FLOAT SERIAL : 3675 - Date : 2015 10 7
Float : 5901683 - Cycle : 254 - PI : Susan Wijffels - Data mode : D - Platform type : APEX - WMO inst type : 846 - FLOAT SERIAL : 3675 - Date : 2015 10 18

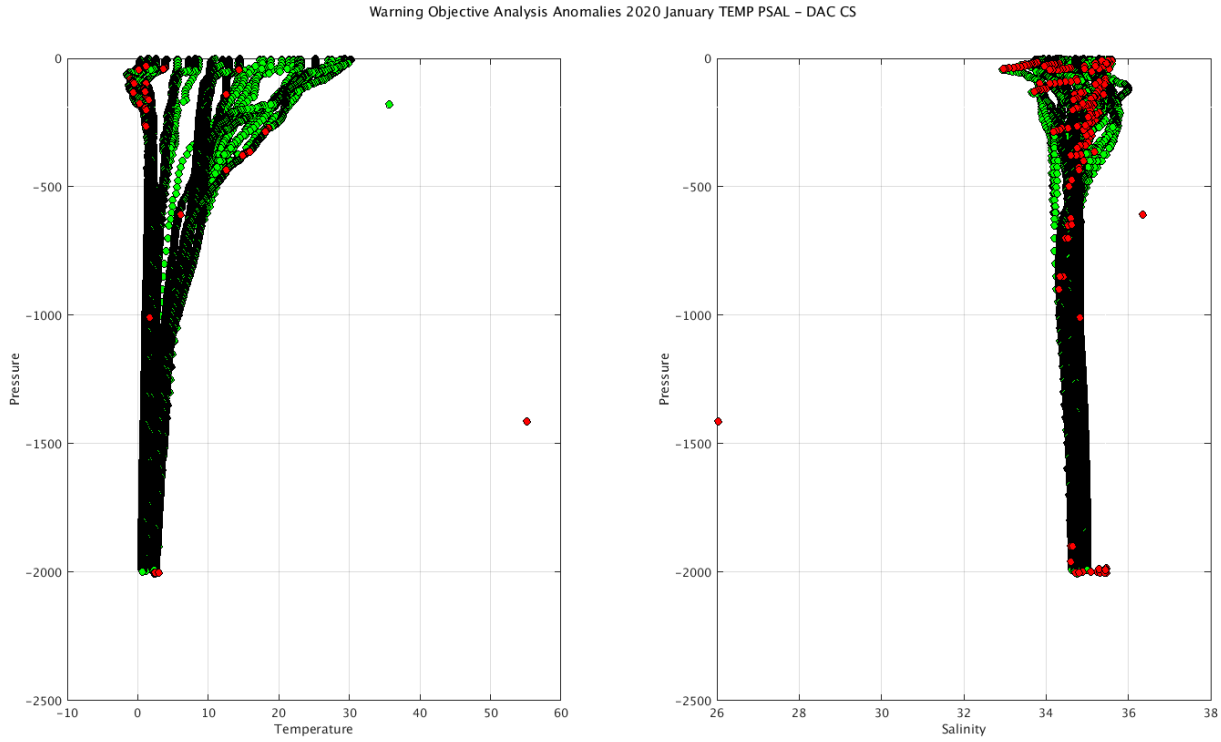

The list of the anomalies can be found at ftp://ftp.ifremer.fr/ifremer/argo/etc/ObjectiveAnalysisWarning/csiro/

Example of anomalies:

Warning Objective Analysis Anomalies 2020 January TEMP PSAL : DAC CS- Float 5901659 - 254

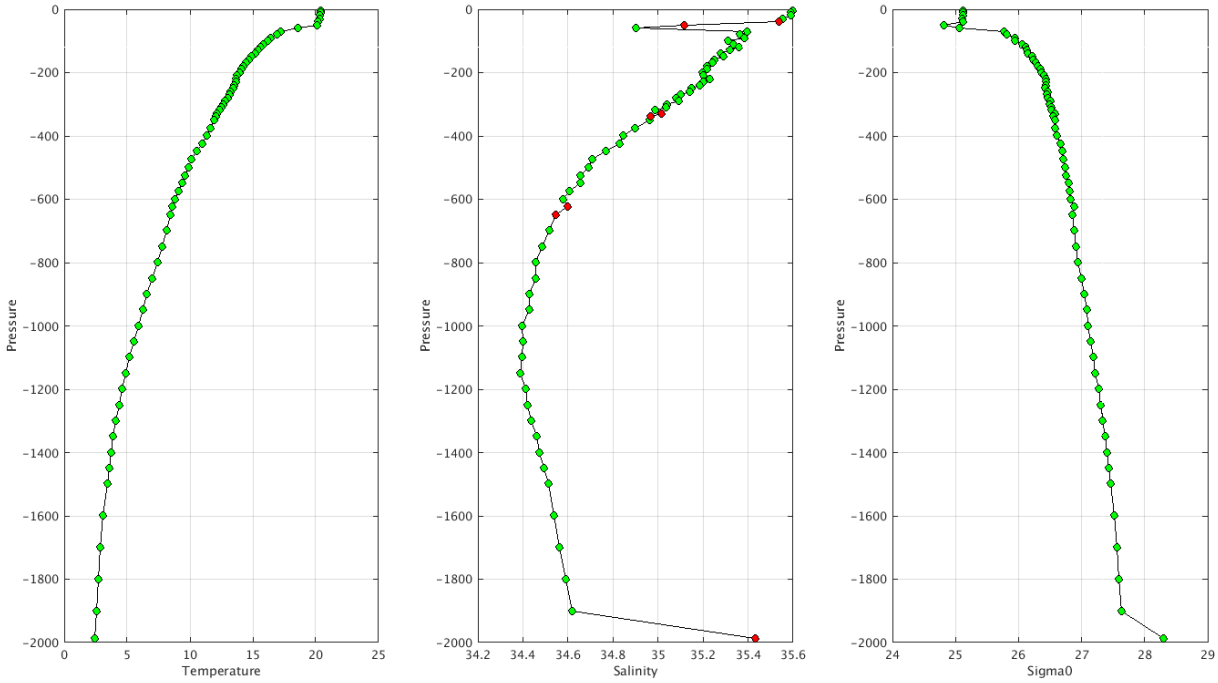

Warning Objective Analysis Anomalies 2020 January TEMP PSAL : DAC CS- Float 5904888 - 197

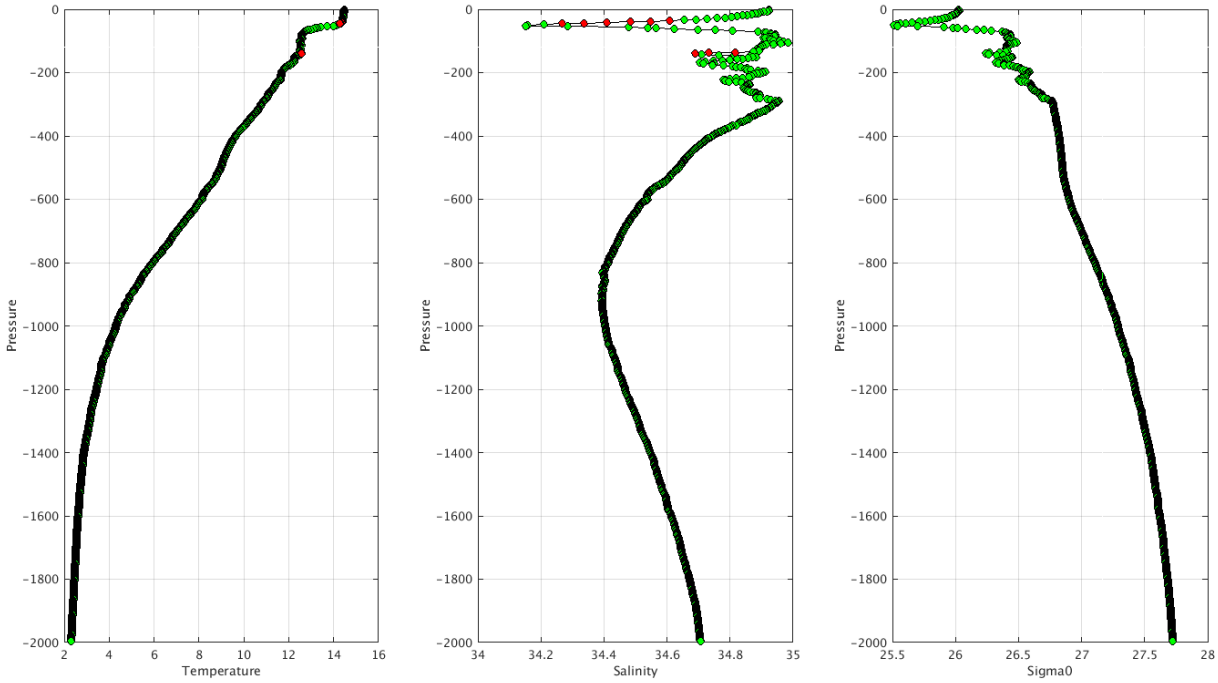

4.5. DAC INCOIS

Profiles detected by the objective analysis: 142 profiles (41 floats, but floats can have several cycles with anomalies)

Data_mode ='R'	Data_mode ='A'	Data_mode ='D'
0 cycle	141 cycles	1 cycle

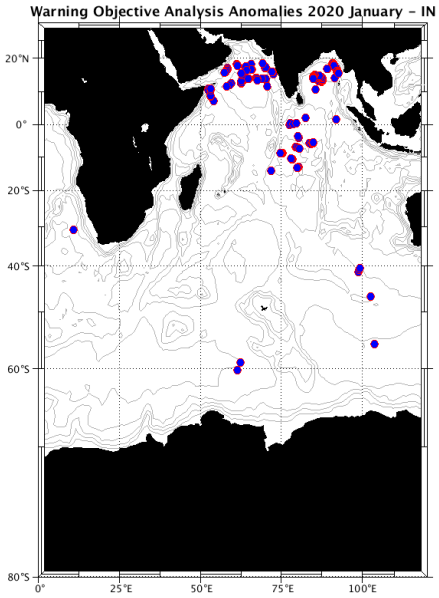

Status of corrections: **Corrections done or in progress, some feedbacks**

Files data_mode='R'/'A'

Float : 2901314 - Cycle : 230 - PI : M Ravichandran - Data mode : A - Platform type : APEX - WMO inst type : 846 - FLOAT SERIAL : 4817 - Date : 2017 8 9
Float : 2902159 - Cycle : 33 - PI : M Ravichandran - Data mode : A - Platform type : APEX - WMO inst type : 846 - FLOAT SERIAL : 7118 - Date : 2015 5 8
Float : 2902164 - Cycle : 82 - PI : M Ravichandran - Data mode : A - Platform type : APEX - WMO inst type : 846 - FLOAT SERIAL : 7093 - Date : 2017 3 28
Float : 2902164 - Cycle : 88 - PI : M Ravichandran - Data mode : A - Platform type : APEX - WMO inst type : 846 - FLOAT SERIAL : 7093 - Date : 2017 5 26
Float : 2902166 - Cycle : 177 - PI : M Ravichandran - Data mode : A - Platform type : APEX - WMO inst type : 846 - FLOAT SERIAL : 7097 - Date : 2019 11 20
Float : 2902203 - Cycle : 135 - PI : M Ravichandran - Data mode : A - Platform type : APEX - WMO inst type : 846 - FLOAT SERIAL : 7541 - Date : 2019 11 8
Float : 2902203 - Cycle : 136 - PI : M Ravichandran - Data mode : A - Platform type : APEX - WMO inst type : 846 - FLOAT SERIAL : 7541 - Date : 2019 11 18
Float : 2902203 - Cycle : 137 - PI : M Ravichandran - Data mode : A - Platform type : APEX - WMO inst type : 846 - FLOAT SERIAL : 7541 - Date : 2019 11 28
Float : 2902209 - Cycle : 117 - PI : M Ravichandran - Data mode : A - Platform type : APEX - WMO inst type : 846 - FLOAT SERIAL : 7826 - Date : 2019 11 11
Float : 2902209 - Cycle : 118 - PI : M Ravichandran - Data mode : A - Platform type : APEX - WMO inst type : 846 - FLOAT SERIAL : 7826 - Date : 2019 11 21
Float : 2902209 - Cycle : 120 - PI : M Ravichandran - Data mode : A - Platform type : APEX - WMO inst type : 846 - FLOAT SERIAL : 7826 - Date : 2019 12 10
Float : 2902209 - Cycle : 121 - PI : M Ravichandran - Data mode : A - Platform type : APEX - WMO inst type : 846 - FLOAT SERIAL : 7826 - Date : 2019 12 20
Float : 2902209 - Cycle : 122 - PI : M Ravichandran - Data mode : A - Platform type : APEX - WMO inst type : 846 - FLOAT SERIAL : 7826 - Date : 2019 12 30
Float : 2902209 - Cycle : 123 - PI : M Ravichandran - Data mode : A - Platform type : APEX - WMO inst type : 846 - FLOAT SERIAL : 7826 - Date : 2020 1 9
Float : 2902209 - Cycle : 124 - PI : M Ravichandran - Data mode : A - Platform type : APEX - WMO inst type : 846 - FLOAT SERIAL : 7826 - Date : 2020 1 19
Float : 2902216 - Cycle : 114 - PI : M Ravichandran - Data mode : A - Platform type : APEX - WMO inst type : 846 - FLOAT SERIAL : 7554 - Date : 2019 12 29
Float : 2902228 - Cycle : 106 - PI : M Ravichandran - Data mode : A - Platform type : APEX - WMO inst type : 846 - FLOAT SERIAL : 7529 - Date : 2020 1 3
Float : 2902232 - Cycle : 277 - PI : M Ravichandran - Data mode : A - Platform type : ARVOR - WMO inst type : 844 - FLOAT SERIAL : 17002 - Date : 2019 12 25
Float : 2902232 - Cycle : 278 - PI : M Ravichandran - Data mode : A - Platform type : ARVOR - WMO inst type : 844 - FLOAT SERIAL : 17002 - Date : 2019 12 30
Float : 2902232 - Cycle : 279 - PI : M Ravichandran - Data mode : A - Platform type : ARVOR - WMO inst type : 844 - FLOAT SERIAL : 17002 - Date : 2020 1 4
Float : 2902233 - Cycle : 278 - PI : M Ravichandran - Data mode : A - Platform type : ARVOR - WMO inst type : 844 - FLOAT SERIAL : 17005 - Date : 2019 12 30
Float : 2902233 - Cycle : 279 - PI : M Ravichandran - Data mode : A - Platform type : ARVOR - WMO inst type : 844 - FLOAT SERIAL : 17005 - Date : 2020 1 4
Float : 2902233 - Cycle : 281 - PI : M Ravichandran - Data mode : A - Platform type : ARVOR - WMO inst type : 844 - FLOAT SERIAL : 17005 - Date : 2020 1 14
Float : 2902233 - Cycle : 282 - PI : M Ravichandran - Data mode : A - Platform type : ARVOR - WMO inst type : 844 - FLOAT SERIAL : 17005 - Date : 2020 1 19
Float : 2902233 - Cycle : 283 - PI : M Ravichandran - Data mode : A - Platform type : ARVOR - WMO inst type : 844 - FLOAT SERIAL : 17005 - Date : 2020 1 24
Float : 2902246 - Cycle : 73 - PI : M Ravichandran - Data mode : A - Platform type : ARVOR - WMO inst type : 844 - FLOAT SERIAL : 17101 - Date : 2019 12 21
Float : 2902250 - Cycle : 70 - PI : M Ravichandran - Data mode : A - Platform type : ARVOR - WMO inst type : 844 - FLOAT SERIAL : 17105 - Date : 2019 12 28
Float : 2902250 - Cycle : 71 - PI : M Ravichandran - Data mode : A - Platform type : ARVOR - WMO inst type : 844 - FLOAT SERIAL : 17105 - Date : 2020 1 7
Float : 2902250 - Cycle : 72 - PI : M Ravichandran - Data mode : A - Platform type : ARVOR - WMO inst type : 844 - FLOAT SERIAL : 17105 - Date : 2020 1 17
Float : 2902254 - Cycle : 92 - PI : M Ravichandran - Data mode : A - Platform type : ARVOR - WMO inst type : 844 - FLOAT SERIAL : 17107 - Date : 2019 12 21
Float : 2902254 - Cycle : 93 - PI : M Ravichandran - Data mode : A - Platform type : ARVOR - WMO inst type : 844 - FLOAT SERIAL : 17107 - Date : 2019 12 31
Float : 2902254 - Cycle : 94 - PI : M Ravichandran - Data mode : A - Platform type : ARVOR - WMO inst type : 844 - FLOAT SERIAL : 17107 - Date : 2020 1 10
Float : 2902254 - Cycle : 95 - PI : M Ravichandran - Data mode : A - Platform type : ARVOR - WMO inst type : 844 - FLOAT SERIAL : 17107 - Date : 2020 1 20
Float : 2902255 - Cycle : 175 - PI : M Ravichandran - Data mode : A - Platform type : ARVOR - WMO inst type : 844 - FLOAT SERIAL : 17108 - Date : 2019 12 17

Float : 2902255 - Cycle : 176 - PI : M Ravichandran - Data mode : A - Platform type : ARVOR - WMO inst type : 844 - FLOAT SERIAL : 17108 - Date : 2019 12 27
Float : 2902255 - Cycle : 177 - PI : M Ravichandran - Data mode : A - Platform type : ARVOR - WMO inst type : 844 - FLOAT SERIAL : 17108 - Date : 2020 1 6
Float : 2902255 - Cycle : 178 - PI : M Ravichandran - Data mode : A - Platform type : ARVOR - WMO inst type : 844 - FLOAT SERIAL : 17108 - Date : 2020 1 16
Float : 2902255 - Cycle : 179 - PI : M Ravichandran - Data mode : A - Platform type : ARVOR - WMO inst type : 844 - FLOAT SERIAL : 17108 - Date : 2020 1 26
Float : 2902256 - Cycle : 175 - PI : M Ravichandran - Data mode : A - Platform type : ARVOR - WMO inst type : 844 - FLOAT SERIAL : 17109 - Date : 2019 12 17
Float : 2902256 - Cycle : 176 - PI : M Ravichandran - Data mode : A - Platform type : ARVOR - WMO inst type : 844 - FLOAT SERIAL : 17109 - Date : 2019 12 27
Float : 2902256 - Cycle : 179 - PI : M Ravichandran - Data mode : A - Platform type : ARVOR - WMO inst type : 844 - FLOAT SERIAL : 17109 - Date : 2020 1 26
Float : 2902257 - Cycle : 175 - PI : M Ravichandran - Data mode : A - Platform type : ARVOR - WMO inst type : 844 - FLOAT SERIAL : 17110 - Date : 2019 12 17
Float : 2902257 - Cycle : 176 - PI : M Ravichandran - Data mode : A - Platform type : ARVOR - WMO inst type : 844 - FLOAT SERIAL : 17110 - Date : 2019 12 27
Float : 2902259 - Cycle : 69 - PI : M Ravichandran - Data mode : A - Platform type : ARVOR - WMO inst type : 844 - FLOAT SERIAL : 17112 - Date : 2019 12 28
Float : 2902259 - Cycle : 70 - PI : M Ravichandran - Data mode : A - Platform type : ARVOR - WMO inst type : 844 - FLOAT SERIAL : 17112 - Date : 2020 1 7
Float : 2902260 - Cycle : 70 - PI : M Ravichandran - Data mode : A - Platform type : ARVOR - WMO inst type : 844 - FLOAT SERIAL : 17113 - Date : 2020 1 7
Float : 2902260 - Cycle : 71 - PI : M Ravichandran - Data mode : A - Platform type : ARVOR - WMO inst type : 844 - FLOAT SERIAL : 17113 - Date : 2020 1 17
Float : 2902261 - Cycle : 69 - PI : M Ravichandran - Data mode : A - Platform type : ARVOR - WMO inst type : 844 - FLOAT SERIAL : 17114 - Date : 2019 12 28
Float : 2902261 - Cycle : 70 - PI : M Ravichandran - Data mode : A - Platform type : ARVOR - WMO inst type : 844 - FLOAT SERIAL : 17114 - Date : 2020 1 7
Float : 2902261 - Cycle : 71 - PI : M Ravichandran - Data mode : A - Platform type : ARVOR - WMO inst type : 844 - FLOAT SERIAL : 17114 - Date : 2020 1 17
Float : 2902262 - Cycle : 68 - PI : M Ravichandran - Data mode : A - Platform type : ARVOR - WMO inst type : 844 - FLOAT SERIAL : 17115 - Date : 2019 12 19
Float : 2902262 - Cycle : 69 - PI : M Ravichandran - Data mode : A - Platform type : ARVOR - WMO inst type : 844 - FLOAT SERIAL : 17115 - Date : 2019 12 29
Float : 2902262 - Cycle : 71 - PI : M Ravichandran - Data mode : A - Platform type : ARVOR - WMO inst type : 844 - FLOAT SERIAL : 17115 - Date : 2020 1 18
Float : 2902265 - Cycle : 33 - PI : M Ravichandran - Data mode : A - Platform type : ARVOR - WMO inst type : 844 - FLOAT SERIAL : 18001 - Date : 2019 12 23
Float : 2902265 - Cycle : 35 - PI : M Ravichandran - Data mode : A - Platform type : ARVOR - WMO inst type : 844 - FLOAT SERIAL : 18001 - Date : 2020 1 12
Float : 2902265 - Cycle : 36 - PI : M Ravichandran - Data mode : A - Platform type : ARVOR - WMO inst type : 844 - FLOAT SERIAL : 18001 - Date : 2020 1 22
Float : 2902266 - Cycle : 33 - PI : M Ravichandran - Data mode : A - Platform type : ARVOR - WMO inst type : 844 - FLOAT SERIAL : 18002 - Date : 2019 12 22
Float : 2902266 - Cycle : 34 - PI : M Ravichandran - Data mode : A - Platform type : ARVOR - WMO inst type : 844 - FLOAT SERIAL : 18002 - Date : 2020 1 1
Float : 2902266 - Cycle : 35 - PI : M Ravichandran - Data mode : A - Platform type : ARVOR - WMO inst type : 844 - FLOAT SERIAL : 18002 - Date : 2020 1 11
Float : 2902266 - Cycle : 36 - PI : M Ravichandran - Data mode : A - Platform type : ARVOR - WMO inst type : 844 - FLOAT SERIAL : 18002 - Date : 2020 1 21
Float : 2902267 - Cycle : 33 - PI : M Ravichandran - Data mode : A - Platform type : ARVOR - WMO inst type : 844 - FLOAT SERIAL : 18003 - Date : 2019 12 17
Float : 2902267 - Cycle : 34 - PI : M Ravichandran - Data mode : A - Platform type : ARVOR - WMO inst type : 844 - FLOAT SERIAL : 18003 - Date : 2019 12 27
Float : 2902267 - Cycle : 35 - PI : M Ravichandran - Data mode : A - Platform type : ARVOR - WMO inst type : 844 - FLOAT SERIAL : 18003 - Date : 2020 1 6
Float : 2902267 - Cycle : 36 - PI : M Ravichandran - Data mode : A - Platform type : ARVOR - WMO inst type : 844 - FLOAT SERIAL : 18003 - Date : 2020 1 16
Float : 2902267 - Cycle : 37 - PI : M Ravichandran - Data mode : A - Platform type : ARVOR - WMO inst type : 844 - FLOAT SERIAL : 18003 - Date : 2020 1 26
Float : 2902268 - Cycle : 34 - PI : M Ravichandran - Data mode : A - Platform type : ARVOR - WMO inst type : 844 - FLOAT SERIAL : 18004 - Date : 2019 12 28
Float : 2902268 - Cycle : 35 - PI : M Ravichandran - Data mode : A - Platform type : ARVOR - WMO inst type : 844 - FLOAT SERIAL : 18004 - Date : 2020 1 7
Float : 2902268 - Cycle : 36 - PI : M Ravichandran - Data mode : A - Platform type : ARVOR - WMO inst type : 844 - FLOAT SERIAL : 18004 - Date : 2020 1 17
Float : 2902269 - Cycle : 33 - PI : M Ravichandran - Data mode : A - Platform type : ARVOR - WMO inst type : 844 - FLOAT SERIAL : 18005 - Date : 2019 12 19
Float : 2902269 - Cycle : 35 - PI : M Ravichandran - Data mode : A - Platform type : ARVOR - WMO inst type : 844 - FLOAT SERIAL : 18005 - Date : 2020 1 8
Float : 2902273 - Cycle : 21 - PI : M Ravichandran - Data mode : A - Platform type : APEX - WMO inst type : 846 - FLOAT SERIAL : 8670 - Date : 2019 11 21
Float : 2902278 - Cycle : 42 - PI : M Ravichandran - Data mode : A - Platform type : ARVOR - WMO inst type : 844 - FLOAT SERIAL : 18006 - Date : 2019 12 21
Float : 2902278 - Cycle : 43 - PI : M Ravichandran - Data mode : A - Platform type : ARVOR - WMO inst type : 844 - FLOAT SERIAL : 18006 - Date : 2019 12 26
Float : 2902278 - Cycle : 44 - PI : M Ravichandran - Data mode : A - Platform type : ARVOR - WMO inst type : 844 - FLOAT SERIAL : 18006 - Date : 2019 12 31
Float : 2902278 - Cycle : 45 - PI : M Ravichandran - Data mode : A - Platform type : ARVOR - WMO inst type : 844 - FLOAT SERIAL : 18006 - Date : 2020 1 5
Float : 2902278 - Cycle : 46 - PI : M Ravichandran - Data mode : A - Platform type : ARVOR - WMO inst type : 844 - FLOAT SERIAL : 18006 - Date : 2020 1 10
Float : 2902278 - Cycle : 47 - PI : M Ravichandran - Data mode : A - Platform type : ARVOR - WMO inst type : 844 - FLOAT SERIAL : 18006 - Date : 2020 1 15
Float : 2902278 - Cycle : 48 - PI : M Ravichandran - Data mode : A - Platform type : ARVOR - WMO inst type : 844 - FLOAT SERIAL : 18006 - Date : 2020 1 20
Float : 2902279 - Cycle : 42 - PI : M Ravichandran - Data mode : A - Platform type : ARVOR - WMO inst type : 844 - FLOAT SERIAL : 18007 - Date : 2019 12 21
Float : 2902279 - Cycle : 43 - PI : M Ravichandran - Data mode : A - Platform type : ARVOR - WMO inst type : 844 - FLOAT SERIAL : 18007 - Date : 2019 12 26
Float : 2902279 - Cycle : 45 - PI : M Ravichandran - Data mode : A - Platform type : ARVOR - WMO inst type : 844 - FLOAT SERIAL : 18007 - Date : 2020 1 5
Float : 2902279 - Cycle : 46 - PI : M Ravichandran - Data mode : A - Platform type : ARVOR - WMO inst type : 844 - FLOAT SERIAL : 18007 - Date : 2020 1 10
Float : 2902279 - Cycle : 47 - PI : M Ravichandran - Data mode : A - Platform type : ARVOR - WMO inst type : 844 - FLOAT SERIAL : 18007 - Date : 2020 1 15
Float : 2902279 - Cycle : 48 - PI : M Ravichandran - Data mode : A - Platform type : ARVOR - WMO inst type : 844 - FLOAT SERIAL : 18007 - Date : 2020 1 20
Float : 2902280 - Cycle : 41 - PI : M Ravichandran - Data mode : A - Platform type : ARVOR - WMO inst type : 844 - FLOAT SERIAL : 18008 - Date : 2019 12 17
Float : 2902280 - Cycle : 42 - PI : M Ravichandran - Data mode : A - Platform type : ARVOR - WMO inst type : 844 - FLOAT SERIAL : 18008 - Date : 2019 12 22
Float : 2902280 - Cycle : 43 - PI : M Ravichandran - Data mode : A - Platform type : ARVOR - WMO inst type : 844 - FLOAT SERIAL : 18008 - Date : 2019 12 27
Float : 2902280 - Cycle : 44 - PI : M Ravichandran - Data mode : A - Platform type : ARVOR - WMO inst type : 844 - FLOAT SERIAL : 18008 - Date : 2020 1 1
Float : 2902280 - Cycle : 45 - PI : M Ravichandran - Data mode : A - Platform type : ARVOR - WMO inst type : 844 - FLOAT SERIAL : 18008 - Date : 2020 1 6
Float : 2902280 - Cycle : 46 - PI : M Ravichandran - Data mode : A - Platform type : ARVOR - WMO inst type : 844 - FLOAT SERIAL : 18008 - Date : 2020 1 11
Float : 2902280 - Cycle : 47 - PI : M Ravichandran - Data mode : A - Platform type : ARVOR - WMO inst type : 844 - FLOAT SERIAL : 18008 - Date : 2020 1 16
Float : 2902280 - Cycle : 48 - PI : M Ravichandran - Data mode : A - Platform type : ARVOR - WMO inst type : 844 - FLOAT SERIAL : 18008 - Date : 2020 1 21
Float : 2902282 - Cycle : 41 - PI : M Ravichandran - Data mode : A - Platform type : ARVOR - WMO inst type : 844 - FLOAT SERIAL : 18010 - Date : 2019 12 17
Float : 2902282 - Cycle : 42 - PI : M Ravichandran - Data mode : A - Platform type : ARVOR - WMO inst type : 844 - FLOAT SERIAL : 18010 - Date : 2019 12 22
Float : 2902282 - Cycle : 43 - PI : M Ravichandran - Data mode : A - Platform type : ARVOR - WMO inst type : 844 - FLOAT SERIAL : 18010 - Date : 2019 12 27
Float : 2902282 - Cycle : 45 - PI : M Ravichandran - Data mode : A - Platform type : ARVOR - WMO inst type : 844 - FLOAT SERIAL : 18010 - Date : 2020 1 6
Float : 2902282 - Cycle : 46 - PI : M Ravichandran - Data mode : A - Platform type : ARVOR - WMO inst type : 844 - FLOAT SERIAL : 18010 - Date : 2020 1 11
Float : 2902282 - Cycle : 47 - PI : M Ravichandran - Data mode : A - Platform type : ARVOR - WMO inst type : 844 - FLOAT SERIAL : 18010 - Date : 2020 1 16
Float : 2902282 - Cycle : 49 - PI : M Ravichandran - Data mode : A - Platform type : ARVOR - WMO inst type : 844 - FLOAT SERIAL : 18010 - Date : 2020 1 26
Float : 2902283 - Cycle : 41 - PI : M Ravichandran - Data mode : A - Platform type : ARVOR - WMO inst type : 844 - FLOAT SERIAL : 18011 - Date : 2019 12 18
Float : 2902283 - Cycle : 42 - PI : M Ravichandran - Data mode : A - Platform type : ARVOR - WMO inst type : 844 - FLOAT SERIAL : 18011 - Date : 2019 12 23
Float : 2902283 - Cycle : 43 - PI : M Ravichandran - Data mode : A - Platform type : ARVOR - WMO inst type : 844 - FLOAT SERIAL : 18011 - Date : 2019 12 28
Float : 2902283 - Cycle : 44 - PI : M Ravichandran - Data mode : A - Platform type : ARVOR - WMO inst type : 844 - FLOAT SERIAL : 18011 - Date : 2020 1 2
Float : 2902283 - Cycle : 45 - PI : M Ravichandran - Data mode : A - Platform type : ARVOR - WMO inst type : 844 - FLOAT SERIAL : 18011 - Date : 2020 1 7
Float : 2902283 - Cycle : 46 - PI : M Ravichandran - Data mode : A - Platform type : ARVOR - WMO inst type : 844 - FLOAT SERIAL : 18011 - Date : 2020 1 12
Float : 2902283 - Cycle : 47 - PI : M Ravichandran - Data mode : A - Platform type : ARVOR - WMO inst type : 844 - FLOAT SERIAL : 18011 - Date : 2020 1 17
Float : 2902283 - Cycle : 48 - PI : M Ravichandran - Data mode : A - Platform type : ARVOR - WMO inst type : 844 - FLOAT SERIAL : 18011 - Date : 2020 1 22
Float : 2902285 - Cycle : 297 - PI : M Ravichandran - Data mode : A - Platform type : ARVOR - WMO inst type : 844 - FLOAT SERIAL : 18013 - Date : 2019 12 20

Float : 2902285 - Cycle : 298 - PI : M Ravichandran - Data mode : A - Platform type : ARVOR - WMO inst type : 844 - FLOAT SERIAL : 18013 - Date : 2019 12 25
Float : 2902285 - Cycle : 299 - PI : M Ravichandran - Data mode : A - Platform type : ARVOR - WMO inst type : 844 - FLOAT SERIAL : 18013 - Date : 2019 12 30
Float : 2902285 - Cycle : 300 - PI : M Ravichandran - Data mode : A - Platform type : ARVOR - WMO inst type : 844 - FLOAT SERIAL : 18013 - Date : 2020 1 4
Float : 2902285 - Cycle : 301 - PI : M Ravichandran - Data mode : A - Platform type : ARVOR - WMO inst type : 844 - FLOAT SERIAL : 18013 - Date : 2020 1 9
Float : 2902285 - Cycle : 302 - PI : M Ravichandran - Data mode : A - Platform type : ARVOR - WMO inst type : 844 - FLOAT SERIAL : 18013 - Date : 2020 1 14
Float : 2902285 - Cycle : 303 - PI : M Ravichandran - Data mode : A - Platform type : ARVOR - WMO inst type : 844 - FLOAT SERIAL : 18013 - Date : 2020 1 19
Float : 2902286 - Cycle : 13 - PI : M Ravichandran - Data mode : A - Platform type : ARVOR - WMO inst type : 844 - FLOAT SERIAL : 18014 - Date : 2019 12 21
Float : 2902286 - Cycle : 14 - PI : M Ravichandran - Data mode : A - Platform type : ARVOR - WMO inst type : 844 - FLOAT SERIAL : 18014 - Date : 2019 12 31
Float : 2902286 - Cycle : 15 - PI : M Ravichandran - Data mode : A - Platform type : ARVOR - WMO inst type : 844 - FLOAT SERIAL : 18014 - Date : 2020 1 10
Float : 2902286 - Cycle : 16 - PI : M Ravichandran - Data mode : A - Platform type : ARVOR - WMO inst type : 844 - FLOAT SERIAL : 18014 - Date : 2020 1 20
Float : 2902287 - Cycle : 15 - PI : M Ravichandran - Data mode : A - Platform type : ARVOR - WMO inst type : 844 - FLOAT SERIAL : 18015 - Date : 2020 1 7
Float : 2902287 - Cycle : 16 - PI : M Ravichandran - Data mode : A - Platform type : ARVOR - WMO inst type : 844 - FLOAT SERIAL : 18015 - Date : 2020 1 17
Float : 2902288 - Cycle : 13 - PI : M Ravichandran - Data mode : A - Platform type : ARVOR - WMO inst type : 844 - FLOAT SERIAL : 18016 - Date : 2019 12 17
Float : 2902288 - Cycle : 14 - PI : M Ravichandran - Data mode : A - Platform type : ARVOR - WMO inst type : 844 - FLOAT SERIAL : 18016 - Date : 2019 12 27
Float : 2902288 - Cycle : 15 - PI : M Ravichandran - Data mode : A - Platform type : ARVOR - WMO inst type : 844 - FLOAT SERIAL : 18016 - Date : 2020 1 6
Float : 2902288 - Cycle : 16 - PI : M Ravichandran - Data mode : A - Platform type : ARVOR - WMO inst type : 844 - FLOAT SERIAL : 18016 - Date : 2020 1 16
Float : 2902288 - Cycle : 17 - PI : M Ravichandran - Data mode : A - Platform type : ARVOR - WMO inst type : 844 - FLOAT SERIAL : 18016 - Date : 2020 1 26
Float : 2902289 - Cycle : 13 - PI : M Ravichandran - Data mode : A - Platform type : ARVOR - WMO inst type : 844 - FLOAT SERIAL : 18017 - Date : 2019 12 17
Float : 2902289 - Cycle : 14 - PI : M Ravichandran - Data mode : A - Platform type : ARVOR - WMO inst type : 844 - FLOAT SERIAL : 18017 - Date : 2019 12 27
Float : 2902289 - Cycle : 16 - PI : M Ravichandran - Data mode : A - Platform type : ARVOR - WMO inst type : 844 - FLOAT SERIAL : 18017 - Date : 2020 1 16
Float : 2902289 - Cycle : 17 - PI : M Ravichandran - Data mode : A - Platform type : ARVOR - WMO inst type : 844 - FLOAT SERIAL : 18017 - Date : 2020 1 26
Float : 2902290 - Cycle : 14 - PI : M Ravichandran - Data mode : A - Platform type : ARVOR - WMO inst type : 844 - FLOAT SERIAL : 18018 - Date : 2019 12 26
Float : 2902290 - Cycle : 15 - PI : M Ravichandran - Data mode : A - Platform type : ARVOR - WMO inst type : 844 - FLOAT SERIAL : 18018 - Date : 2020 1 5
Float : 2902290 - Cycle : 16 - PI : M Ravichandran - Data mode : A - Platform type : ARVOR - WMO inst type : 844 - FLOAT SERIAL : 18018 - Date : 2020 1 15
Float : 2902290 - Cycle : 17 - PI : M Ravichandran - Data mode : A - Platform type : ARVOR - WMO inst type : 844 - FLOAT SERIAL : 18018 - Date : 2020 1 25
Float : 2902292 - Cycle : 14 - PI : M Ravichandran - Data mode : A - Platform type : ARVOR - WMO inst type : 844 - FLOAT SERIAL : 18020 - Date : 2019 12 24
Float : 2902292 - Cycle : 16 - PI : M Ravichandran - Data mode : A - Platform type : ARVOR - WMO inst type : 844 - FLOAT SERIAL : 18020 - Date : 2020 1 13
Float : 2902292 - Cycle : 17 - PI : M Ravichandran - Data mode : A - Platform type : ARVOR - WMO inst type : 844 - FLOAT SERIAL : 18020 - Date : 2020 1 23
Float : 2902293 - Cycle : 14 - PI : M Ravichandran - Data mode : A - Platform type : ARVOR - WMO inst type : 844 - FLOAT SERIAL : 18021 - Date : 2019 12 24
Float : 2902293 - Cycle : 15 - PI : M Ravichandran - Data mode : A - Platform type : ARVOR - WMO inst type : 844 - FLOAT SERIAL : 18021 - Date : 2020 1 3
Float : 2902293 - Cycle : 16 - PI : M Ravichandran - Data mode : A - Platform type : ARVOR - WMO inst type : 844 - FLOAT SERIAL : 18021 - Date : 2020 1 13
Float : 2902293 - Cycle : 17 - PI : M Ravichandran - Data mode : A - Platform type : ARVOR - WMO inst type : 844 - FLOAT SERIAL : 18021 - Date : 2020 1 23

Files data_mode='D'

Float : 2902093 - Cycle : 86 - PI : M Ravichandran - Data mode : D - Platform type : PROVOR_III - WMO inst type : 836 - FLOAT SERIAL : OIN 12_IND-FLBB-04 - Date : 2015 4 4

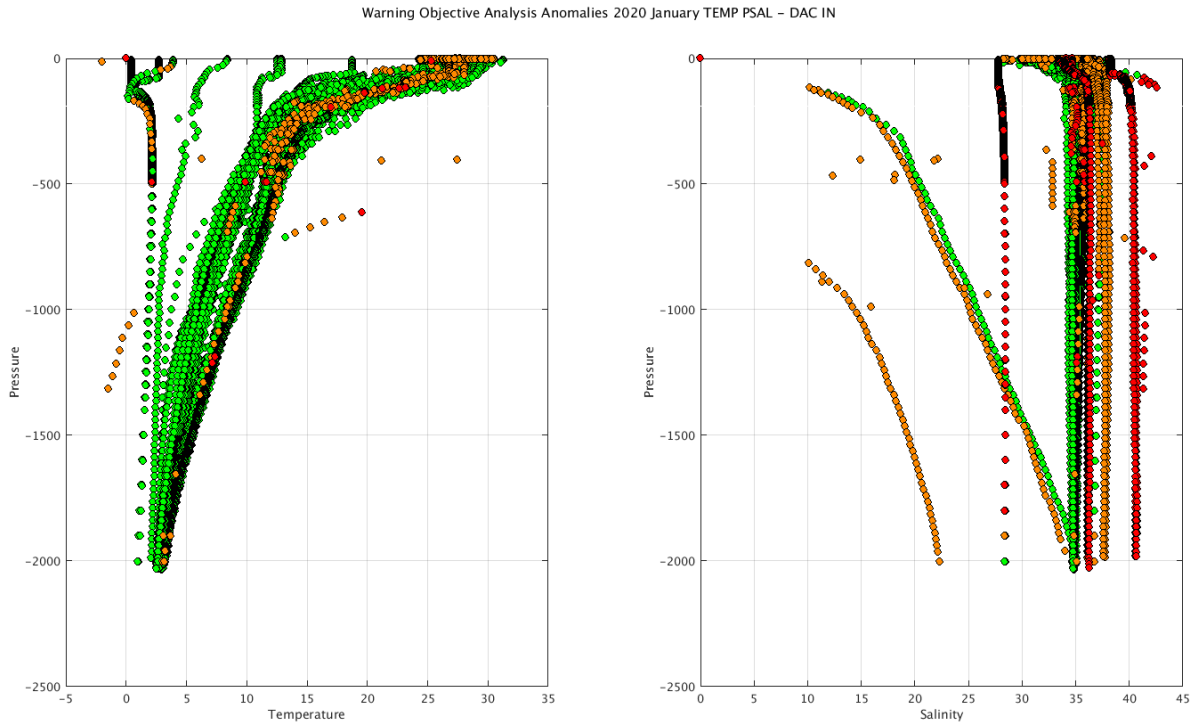

The list of the anomalies can be found at ftp://ftp.ifremer.fr/ifremer/argo/etc/ObjectiveAnalysisWarning/incois/

Example of anomalies: Many profiles with values 0 for one point in surface (Temperature and Salinity)

Warning Objective Analysis Anomalies 2020 January TEMP PSAL : DAC IN- Float 2901326 - 169

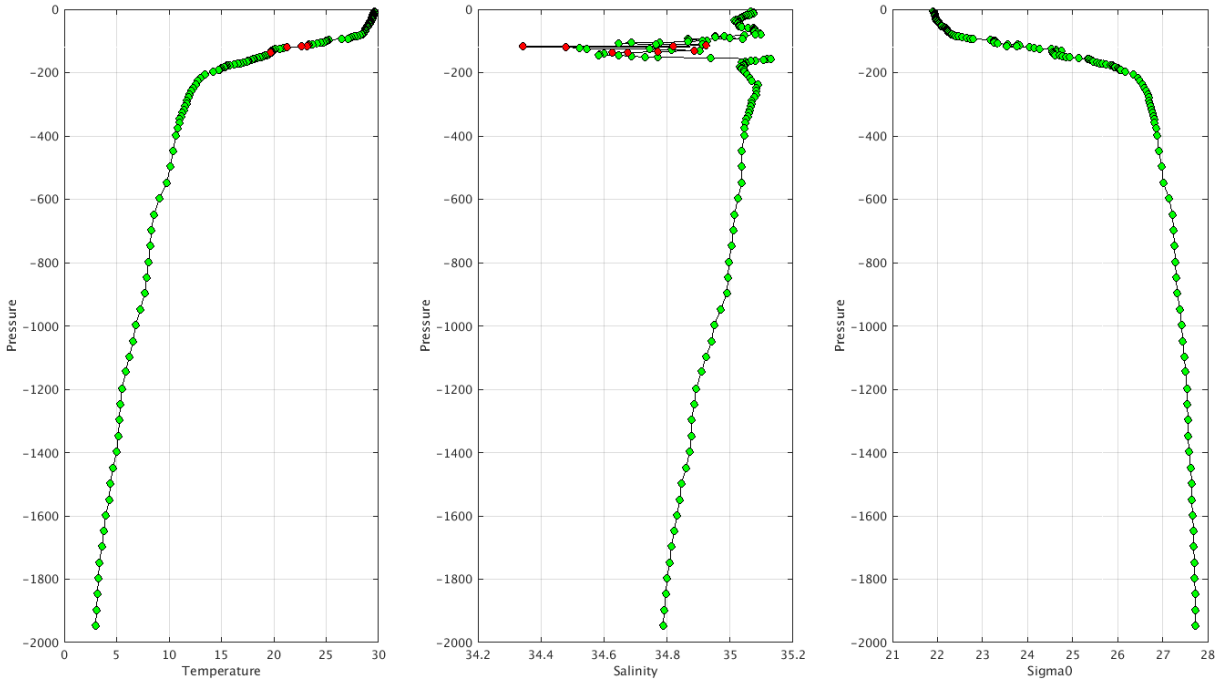

Warning Objective Analysis Anomalies 2020 January TEMP PSAL : DAC IN- Float 2902285 - 303

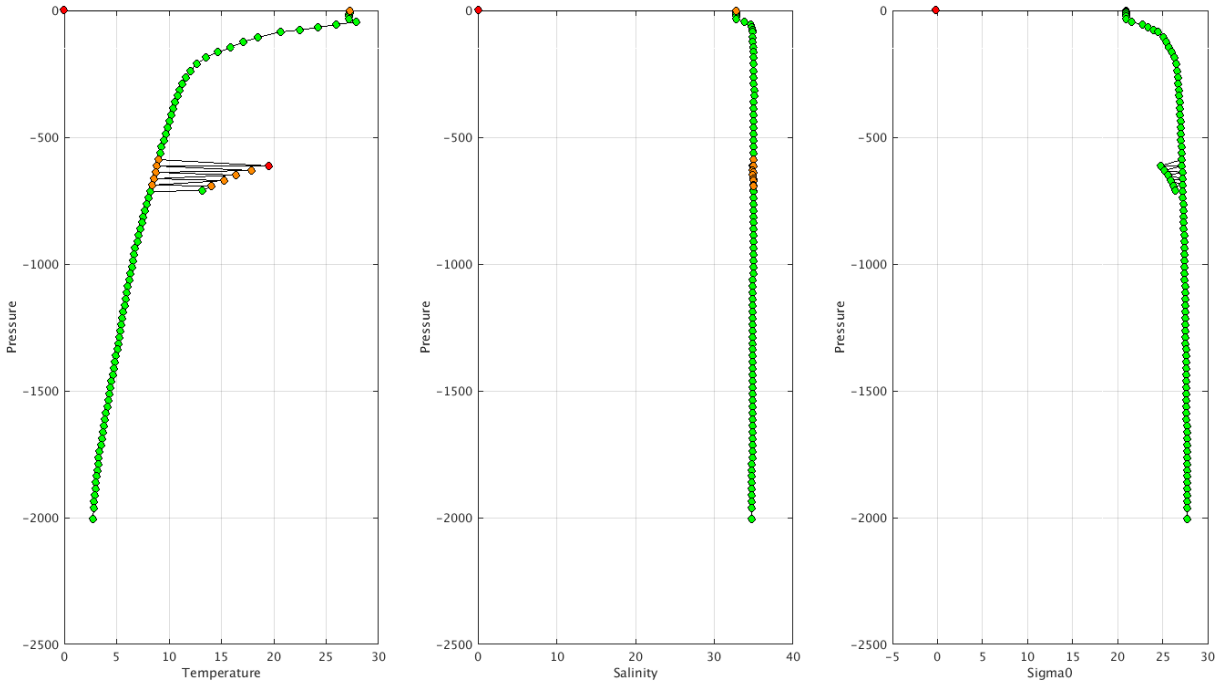

4.6. DAC JMA/JAMSTEC

Profiles detected by the objective analysis: 39 profiles (13 floats, but floats can have several cycles with anomalies)

Data_mode ='R'	Data_mode ='A'	Data_mode ='D'
25 cycles	13 cycles	1 cycle

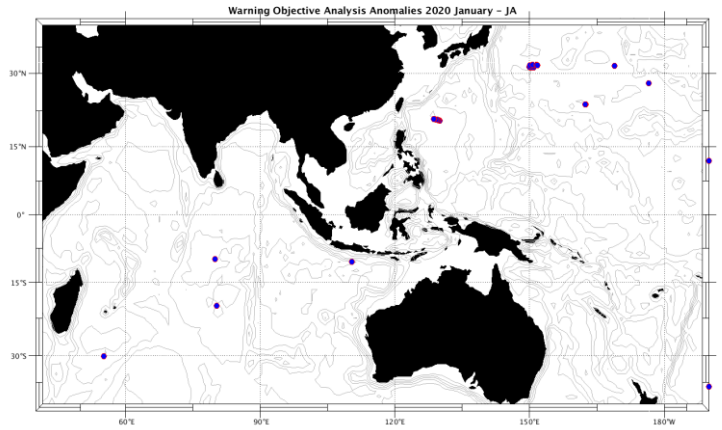

Status of corrections: Correction in progress, feedbacks each month

Files data_mode='R'/'A'

Float : 1902333 - Cycle : 7 - PI : JAMSTEC - Data mode : R - Platform type : APEX_D - WMO inst type : 849 - FLOAT SERIAL : 45 - Date : 2020 1 4
Float : 1902335 - Cycle : 2 - PI : JAMSTEC - Data mode : R - Platform type : APEX_D - WMO inst type : 849 - FLOAT SERIAL : 46 - Date : 2020 1 4
Float : 2900993 - Cycle : 39 - PI : JAMSTEC - Data mode : A - Platform type : APEX - WMO inst type : 846 - FLOAT SERIAL : 4984 - Date : 2010 12 26
Float : 2900993 - Cycle : 72 - PI : JAMSTEC - Data mode : A - Platform type : APEX - WMO inst type : 846 - FLOAT SERIAL : 4984 - Date : 2011 10 7
Float : 2902435 - Cycle : 147 - PI : JAMSTEC - Data mode : A - Platform type : NEMO - WMO inst type : 860 - FLOAT SERIAL : 193 - Date : 2012 5 9
Float : 2902435 - Cycle : 148 - PI : JAMSTEC - Data mode : A - Platform type : NEMO - WMO inst type : 860 - FLOAT SERIAL : 193 - Date : 2012 5 11
Float : 2902435 - Cycle : 149 - PI : JAMSTEC - Data mode : A - Platform type : NEMO - WMO inst type : 860 - FLOAT SERIAL : 193 - Date : 2012 5 13
Float : 2902435 - Cycle : 150 - PI : JAMSTEC - Data mode : A - Platform type : NEMO - WMO inst type : 860 - FLOAT SERIAL : 193 - Date : 2012 5 15
Float : 2902435 - Cycle : 151 - PI : JAMSTEC - Data mode : A - Platform type : NEMO - WMO inst type : 860 - FLOAT SERIAL : 193 - Date : 2012 5 17
Float : 2902435 - Cycle : 153 - PI : JAMSTEC - Data mode : A - Platform type : NEMO - WMO inst type : 860 - FLOAT SERIAL : 193 - Date : 2012 6 6
Float : 2902435 - Cycle : 154 - PI : JAMSTEC - Data mode : A - Platform type : NEMO - WMO inst type : 860 - FLOAT SERIAL : 193 - Date : 2012 6 16
Float : 2902435 - Cycle : 155 - PI : JAMSTEC - Data mode : A - Platform type : NEMO - WMO inst type : 860 - FLOAT SERIAL : 193 - Date : 2012 6 26
Float : 2902435 - Cycle : 156 - PI : JAMSTEC - Data mode : A - Platform type : NEMO - WMO inst type : 860 - FLOAT SERIAL : 193 - Date : 2012 6 27
Float : 2903165 - Cycle : 208 - PI : JAMSTEC - Data mode : A - Platform type : APEX - WMO inst type : 846 - FLOAT SERIAL : 6198 - Date : 2015 9 17
Float : 2903191 - Cycle : 140 - PI : JMA - Data mode : R - Platform type : ARVOR - WMO inst type : 844 - FLOAT SERIAL : AJ1000-17JP001 - Date : 2019 12 19
Float : 2903191 - Cycle : 141 - PI : JMA - Data mode : R - Platform type : ARVOR - WMO inst type : 844 - FLOAT SERIAL : AJ1000-17JP001 - Date : 2019 12 24
Float : 2903191 - Cycle : 142 - PI : JMA - Data mode : R - Platform type : ARVOR - WMO inst type : 844 - FLOAT SERIAL : AJ1000-17JP001 - Date : 2019 12 29
Float : 2903191 - Cycle : 143 - PI : JMA - Data mode : R - Platform type : ARVOR - WMO inst type : 844 - FLOAT SERIAL : AJ1000-17JP001 - Date : 2020 1 3
Float : 2903191 - Cycle : 144 - PI : JMA - Data mode : R - Platform type : ARVOR - WMO inst type : 844 - FLOAT SERIAL : AJ1000-17JP001 - Date : 2020 1 8
Float : 2903191 - Cycle : 145 - PI : JMA - Data mode : R - Platform type : ARVOR - WMO inst type : 844 - FLOAT SERIAL : AJ1000-17JP001 - Date : 2020 1 13
Float : 2903191 - Cycle : 146 - PI : JMA - Data mode : R - Platform type : ARVOR - WMO inst type : 844 - FLOAT SERIAL : AJ1000-17JP001 - Date : 2020 1 18
Float : 2903191 - Cycle : 147 - PI : JMA - Data mode : R - Platform type : ARVOR - WMO inst type : 844 - FLOAT SERIAL : AJ1000-17JP001 - Date : 2020 1 23
Float : 2903212 - Cycle : 68 - PI : JAMSTEC - Data mode : R - Platform type : APEX_D - WMO inst type : 849 - FLOAT SERIAL : 29 - Date : 2019 12 24
Float : 2903212 - Cycle : 69 - PI : JAMSTEC - Data mode : R - Platform type : APEX_D - WMO inst type : 849 - FLOAT SERIAL : 29 - Date : 2020 1 2
Float : 2903212 - Cycle : 70 - PI : JAMSTEC - Data mode : R - Platform type : APEX_D - WMO inst type : 849 - FLOAT SERIAL : 29 - Date : 2020 1 12
Float : 2903212 - Cycle : 71 - PI : JAMSTEC - Data mode : R - Platform type : APEX_D - WMO inst type : 849 - FLOAT SERIAL : 29 - Date : 2020 1 22
Float : 2903214 - Cycle : 137 - PI : JMA - Data mode : R - Platform type : ARVOR - WMO inst type : 844 - FLOAT SERIAL : AJ1000-17JP002 - Date : 2019 12 19
Float : 2903214 - Cycle : 138 - PI : JMA - Data mode : R - Platform type : ARVOR - WMO inst type : 844 - FLOAT SERIAL : AJ1000-17JP002 - Date : 2019 12 24
Float : 2903214 - Cycle : 139 - PI : JMA - Data mode : R - Platform type : ARVOR - WMO inst type : 844 - FLOAT SERIAL : AJ1000-17JP002 - Date : 2019 12 29
Float : 2903214 - Cycle : 140 - PI : JMA - Data mode : R - Platform type : ARVOR - WMO inst type : 844 - FLOAT SERIAL : AJ1000-17JP002 - Date : 2020 1 3
Float : 2903214 - Cycle : 141 - PI : JMA - Data mode : R - Platform type : ARVOR - WMO inst type : 844 - FLOAT SERIAL : AJ1000-17JP002 - Date : 2020 1 8
Float : 2903214 - Cycle : 142 - PI : JMA - Data mode : R - Platform type : ARVOR - WMO inst type : 844 - FLOAT SERIAL : AJ1000-17JP002 - Date : 2020 1 13
Float : 2903214 - Cycle : 143 - PI : JMA - Data mode : R - Platform type : ARVOR - WMO inst type : 844 - FLOAT SERIAL : AJ1000-17JP002 - Date : 2020 1 18
Float : 2903214 - Cycle : 144 - PI : JMA - Data mode : R - Platform type : ARVOR - WMO inst type : 844 - FLOAT SERIAL : AJ1000-17JP002 - Date : 2020 1 23
Float : 2903391 - Cycle : 9 - PI : JAMSTEC - Data mode : R - Platform type : APEX_D - WMO inst type : 849 - FLOAT SERIAL : 44 - Date : 2020 1 4
Float : 3902393 - Cycle : 18 - PI : JAMSTEC - Data mode : R - Platform type : APEX_D - WMO inst type : 849 - FLOAT SERIAL : 32 - Date : 2020 1 20
Float : 5905851 - Cycle : 35 - PI : JAMSTEC - Data mode : R - Platform type : APEX - WMO inst type : 846 - FLOAT SERIAL : 8419 - Date : 2020 1 18
Float : 5905876 - Cycle : 28 - PI : JAMSTEC - Data mode : R - Platform type : APEX_D - WMO inst type : 849 - FLOAT SERIAL : 48 - Date : 2019 12 20

Files data_mode='D'

Float : 2902528 - Cycle : 334 - PI : JAMSTEC - Data mode : D - Platform type : NAVIS_A - WMO inst type : 863 - FLOAT SERIAL : 0395 - Date : 2015 9 18

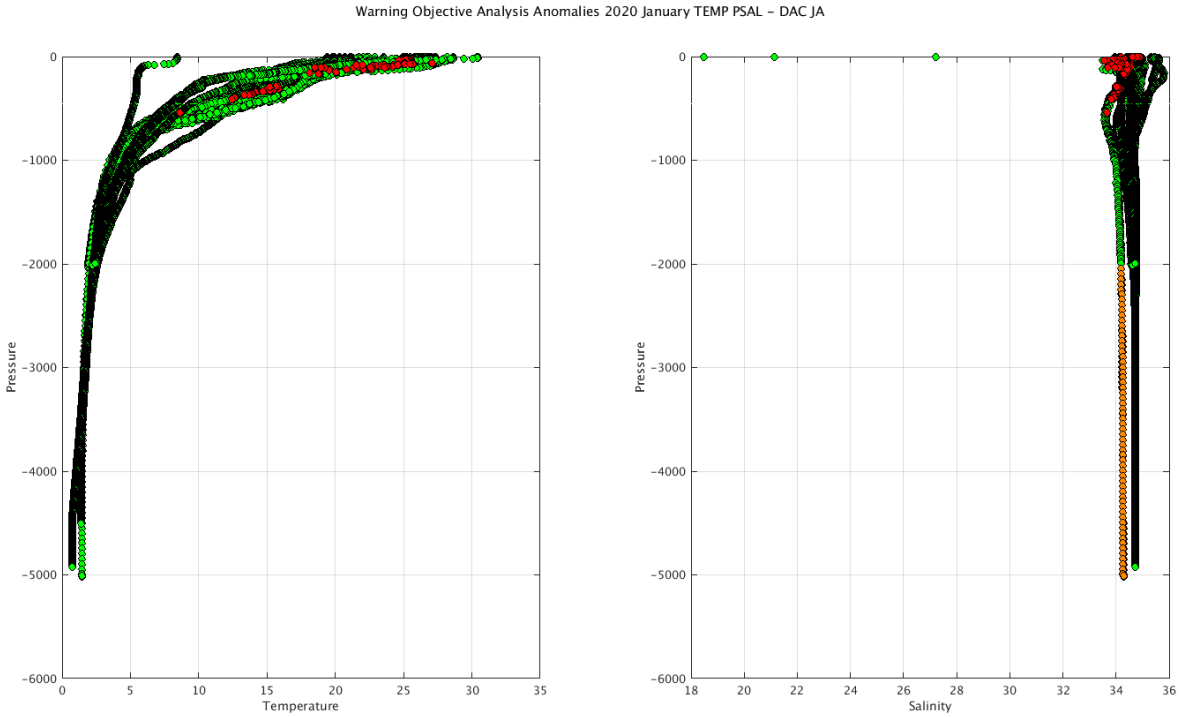

The list of the anomalies can be found at ftp://ftp.ifremer.fr/ifremer/argo/etc/ObjectiveAnalysisWarning/jma/

Example of anomalies:

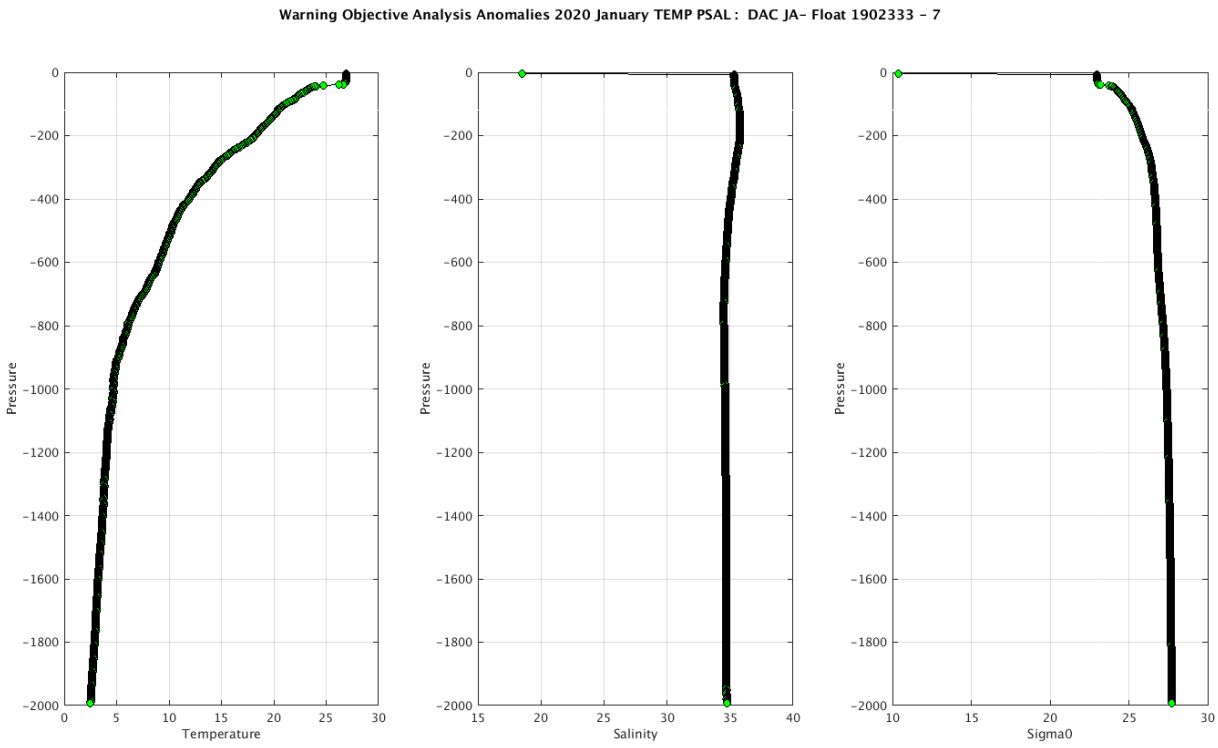

Warning Objective Analysis Anomalies 2020 January TEMP PSAL : DAC JA- Float 5905851 - 35

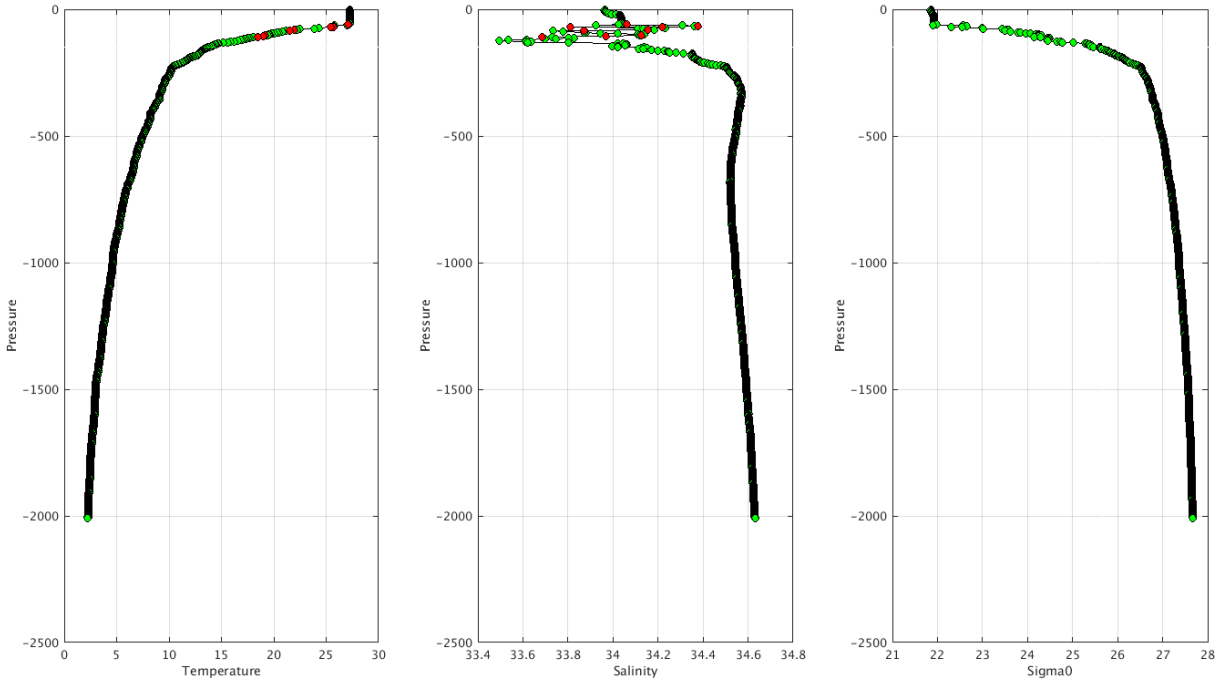

Warning Objective Analysis Anomalies 2020 January TEMP PSAL : DAC JA- Float 2903212 - 69

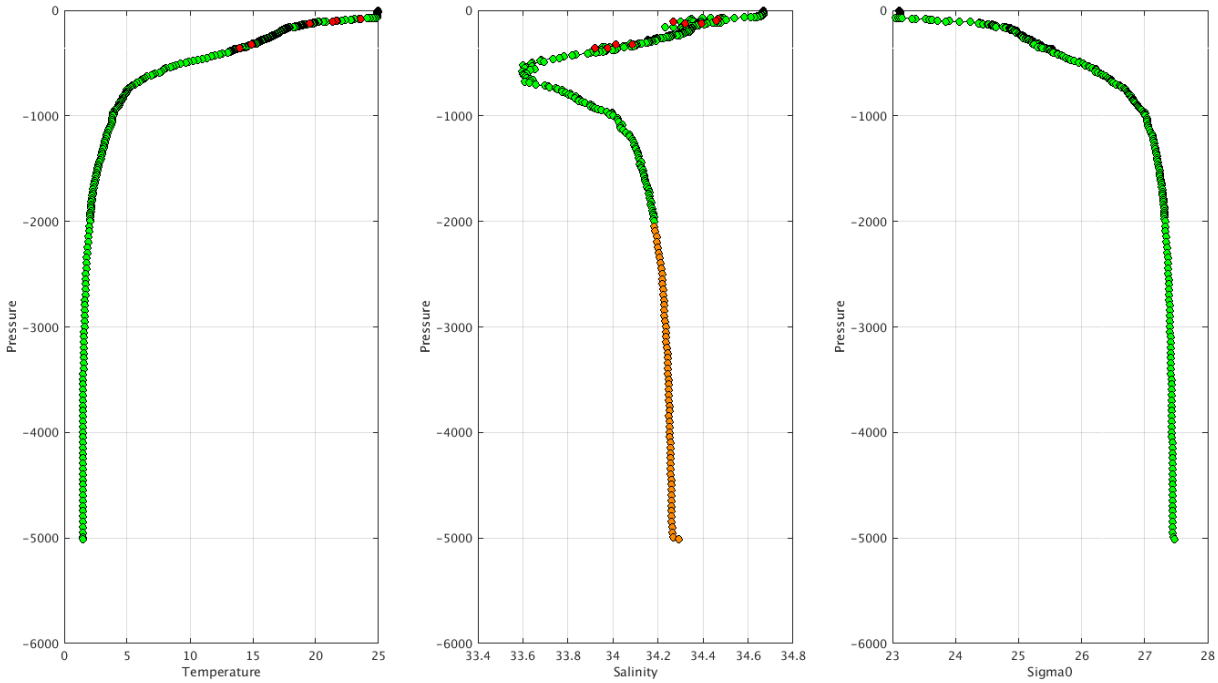

4.7. DAC KMA

Profiles detected by the objective analysis: 22 profiles (7 floats can have several cycles with anomalies)

Data_mode ='R'	Data_mode ='A'	Data_mode ='D'
19 cycles	0 cycle	3 cycles

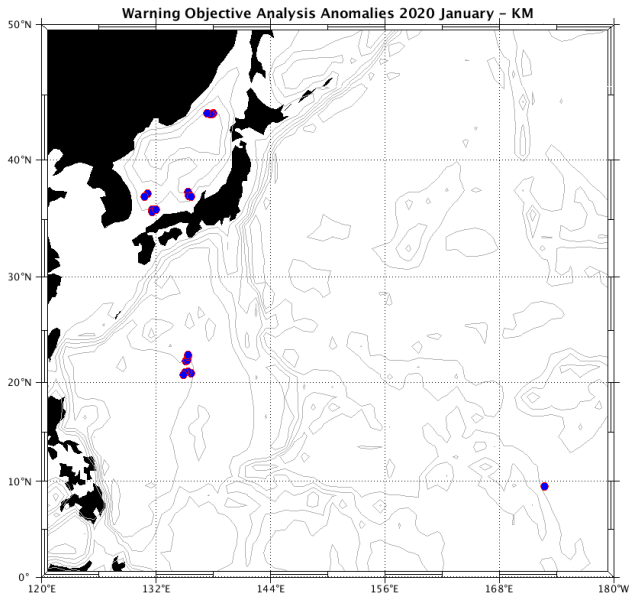

Status of corrections: **Correction not done for all, few feedbacks**

Files data_mode='R'/'D'

Float : 2901758 - Cycle : 112 - PI : Jaeyoung Byon - Data mode : R - Platform type : ARVOR - WMO inst type : 846 - FLOAT SERIAL : n/a - Date : 2019 12 22
Float : 2901758 - Cycle : 113 - PI : Jaeyoung Byon - Data mode : R - Platform type : ARVOR - WMO inst type : 846 - FLOAT SERIAL : n/a - Date : 2020 1 1
Float : 2901758 - Cycle : 114 - PI : Jaeyoung Byon - Data mode : R - Platform type : ARVOR - WMO inst type : 846 - FLOAT SERIAL : n/a - Date : 2020 1 11
Float : 2901758 - Cycle : 115 - PI : Jaeyoung Byon - Data mode : R - Platform type : ARVOR - WMO inst type : 846 - FLOAT SERIAL : n/a - Date : 2020 1 21
Float : 2901759 - Cycle : 124 - PI : Jaeyoung Byon - Data mode : R - Platform type : ARVOR - WMO inst type : 846 - FLOAT SERIAL : n/a - Date : 2019 12 22
Float : 2901759 - Cycle : 125 - PI : Jaeyoung Byon - Data mode : R - Platform type : ARVOR - WMO inst type : 846 - FLOAT SERIAL : n/a - Date : 2020 1 1
Float : 2901759 - Cycle : 126 - PI : Jaeyoung Byon - Data mode : R - Platform type : ARVOR - WMO inst type : 846 - FLOAT SERIAL : n/a - Date : 2020 1 11
Float : 2901759 - Cycle : 127 - PI : Jaeyoung Byon - Data mode : R - Platform type : ARVOR - WMO inst type : 846 - FLOAT SERIAL : n/a - Date : 2020 1 21
Float : 2901760 - Cycle : 124 - PI : Jaeyoung Byon - Data mode : R - Platform type : ARVOR - WMO inst type : 846 - FLOAT SERIAL : n/a - Date : 2019 12 23
Float : 2901760 - Cycle : 125 - PI : Jaeyoung Byon - Data mode : R - Platform type : ARVOR - WMO inst type : 846 - FLOAT SERIAL : n/a - Date : 2020 1 2
Float : 2901760 - Cycle : 126 - PI : Jaeyoung Byon - Data mode : R - Platform type : ARVOR - WMO inst type : 846 - FLOAT SERIAL : n/a - Date : 2020 1 12
Float : 2901760 - Cycle : 127 - PI : Jaeyoung Byon - Data mode : R - Platform type : ARVOR - WMO inst type : 846 - FLOAT SERIAL : n/a - Date : 2020 1 22
Float : 2901765 - Cycle : 124 - PI : Jaeyoung Byon - Data mode : R - Platform type : ARVOR - WMO inst type : 846 - FLOAT SERIAL : n/a - Date : 2019 12 24
Float : 2901765 - Cycle : 125 - PI : Jaeyoung Byon - Data mode : R - Platform type : ARVOR - WMO inst type : 846 - FLOAT SERIAL : n/a - Date : 2020 1 3
Float : 2901765 - Cycle : 126 - PI : Jaeyoung Byon - Data mode : R - Platform type : ARVOR - WMO inst type : 846 - FLOAT SERIAL : n/a - Date : 2020 1 13
Float : 2901765 - Cycle : 127 - PI : Jaeyoung Byon - Data mode : R - Platform type : ARVOR - WMO inst type : 846 - FLOAT SERIAL : n/a - Date : 2020 1 23
Float : 2901784 - Cycle : 77 - PI : KiRyong Kang - Data mode : R - Platform type : ARVOR - WMO inst type : 846 - FLOAT SERIAL : n/a - Date : 2020 1 2
Float : 2901784 - Cycle : 78 - PI : KiRyong Kang - Data mode : R - Platform type : ARVOR - WMO inst type : 846 - FLOAT SERIAL : n/a - Date : 2020 1 9
Float : 2901784 - Cycle : 79 - PI : KiRyong Kang - Data mode : R - Platform type : ARVOR - WMO inst type : 846 - FLOAT SERIAL : n/a - Date : 2020 1 16

Files data_mode='D'

Float : 2901225 - Cycle : 221 - PI : Sang-Beum Ryu - Data mode : D - Platform type : APEX - WMO inst type : 846 - FLOAT SERIAL : - Date : 2015 11 25
Float : 2901704 - Cycle : 74 - PI : Young-Hwa Kim - Data mode : D - Platform type : APEX - WMO inst type : 846 - FLOAT SERIAL : - Date : 2015 1 1
Float : 2901704 - Cycle : 81 - PI : Young-Hwa Kim - Data mode : D - Platform type : APEX - WMO inst type : 846 - FLOAT SERIAL : - Date : 2015 2 19

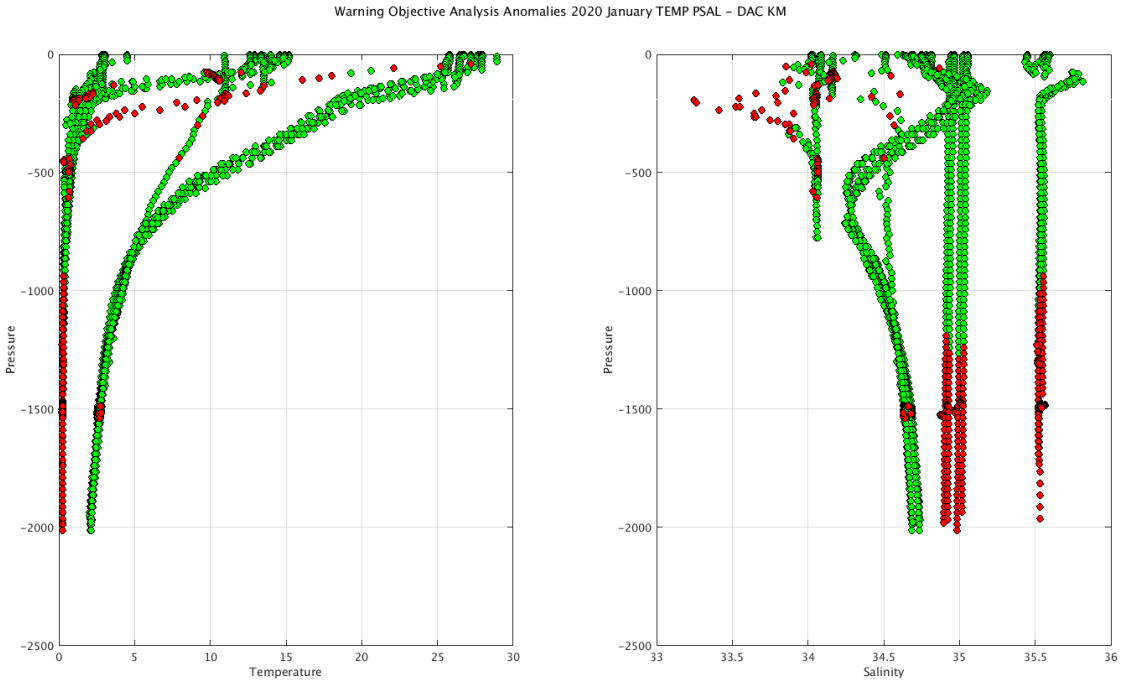

The list of the anomalies can be found at ftp://ftp.ifremer.fr/ifremer/argo/etc/ObjectiveAnalysisWarning/kma/

Example of anomalies:

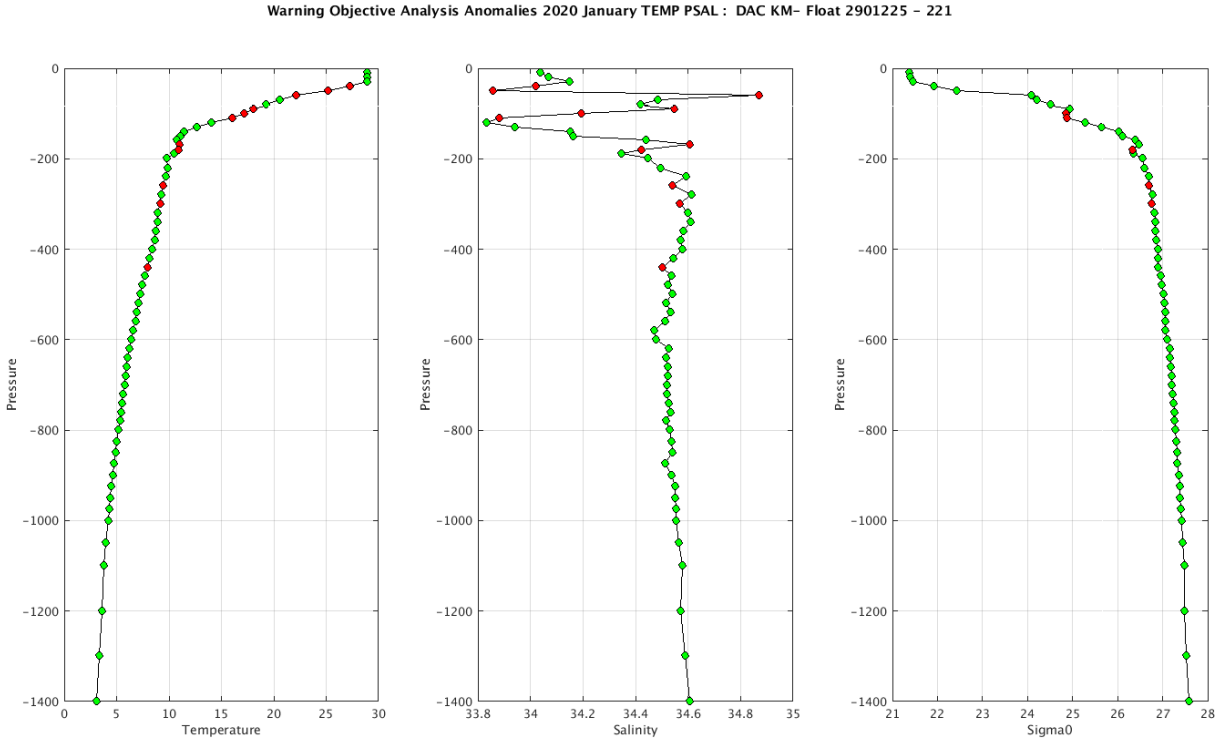

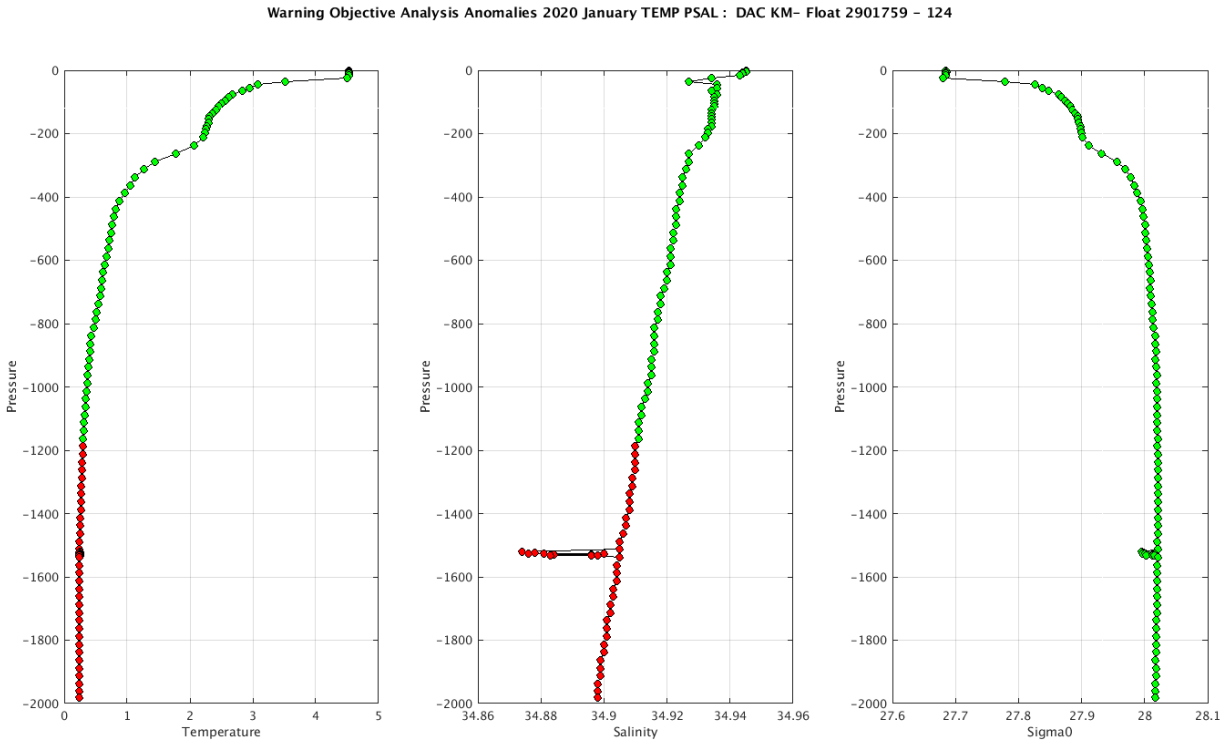

Delayed Mode anomalies (adjusted fields) – date mode =’A’ or ‘D’

- Error on salinity_adjusted 0.000 ?? floats 2900170 – 2900171

netcdf D2900171_067 {

PSAL_ADJUSTED_ERROR =

0.000, 0.000, 0.000, 0.000, 0.000, 0.000, ……..

Mix of R (cycles 001 -024-025) and D files for float 2900171

D2900171_002.nc	D2900171_010.nc	D2900171_018.nc	D2900171_028.nc	D2900171_036.nc	D2900171_044.nc	D2900171_052.nc	D2900171_060.nc	D2900171_068.nc
D2900171_003.nc	D2900171_011.nc	D2900171_019.nc	D2900171_029.nc	D2900171_037.nc	D2900171_045.nc	D2900171_053.nc	D2900171_061.nc	D2900171_069.nc
D2900171_004.nc	D2900171_012.nc	D2900171_020.nc	D2900171_030.nc	D2900171_038.nc	D2900171_046.nc	D2900171_054.nc	D2900171_062.nc	D2900171_070.nc
D2900171_005.nc	D2900171_013.nc	D2900171_021.nc	D2900171_031.nc	D2900171_039.nc	D2900171_047.nc	D2900171_055.nc	D2900171_063.nc	D2900171_071.nc
D2900171_006.nc	D2900171_014.nc	D2900171_022.nc	D2900171_032.nc	D2900171_040.nc	D2900171_048.nc	D2900171_056.nc	D2900171_064.nc	R2900171_001.nc
D2900171_007.nc	D2900171_015.nc	D2900171_023.nc	D2900171_033.nc	D2900171_041.nc	D2900171_049.nc	D2900171_057.nc	D2900171_065.nc	R2900171_024.nc
D2900171_008.nc	D2900171_016.nc	D2900171_026.nc	D2900171_034.nc	D2900171_042.nc	D2900171_050.nc	D2900171_058.nc	D2900171_066.nc	R2900171_025.nc
D2900171_009.nc	D2900171_017.nc	D2900171_027.nc	D2900171_035.nc	D2900171_043.nc	D2900171_051.nc	D2900171_059.nc	D2900171_067.nc	

4.8. DAC KORDI/KIOST

Profiles detected by the objective analysis: 21 profile (6 floats – float can have several cycles with anomalies)

Data_mode =’R’	Data_mode =’A’	Data_mode =’D’
0 cycle	14 cycles	7 cycles

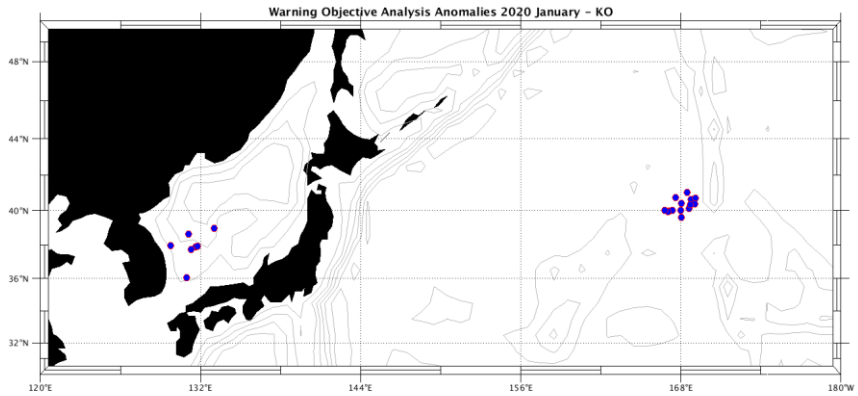

Status of corrections: Correction done or in progress, feedbacks.

Files data_mode=’R’ /’A’

Float : 2900784 - Cycle : 318 - PI : Moon-Sik Suk - Data mode : A - INST REF : APEX-SBE 2487 - Date : 2015 2 28
Float : 2900784 - Cycle : 327 - PI : Moon-Sik Suk - Data mode : A - INST REF : APEX-SBE 2487 - Date : 2015 5 29
Float : 2900784 - Cycle : 339 - PI : Moon-Sik Suk - Data mode : A - INST REF : APEX-SBE 2487 - Date : 2015 9 26
Float : 2900784 - Cycle : 340 - PI : Moon-Sik Suk - Data mode : A - INST REF : APEX-SBE 2487 - Date : 2015 10 6
Float : 2900784 - Cycle : 341 - PI : Moon-Sik Suk - Data mode : A - INST REF : APEX-SBE 2487 - Date : 2015 10 16
Float : 2900784 - Cycle : 343 - PI : Moon-Sik Suk - Data mode : A - INST REF : APEX-SBE 2487 - Date : 2015 11 5
Float : 2900784 - Cycle : 344 - PI : Moon-Sik Suk - Data mode : A - INST REF : APEX-SBE 2487 - Date : 2015 11 15
Float : 2900784 - Cycle : 345 - PI : Moon-Sik Suk - Data mode : A - INST REF : APEX-SBE 2487 - Date : 2015 11 25
Float : 2900784 - Cycle : 346 - PI : Moon-Sik Suk - Data mode : A - INST REF : APEX-SBE 2487 - Date : 2015 12 6
Float : 2900784 - Cycle : 347 - PI : Moon-Sik Suk - Data mode : A - INST REF : APEX-SBE 2487 - Date : 2015 12 15
Float : 2900784 - Cycle : 348 - PI : Moon-Sik Suk - Data mode : A - INST REF : APEX-SBE 2487 - Date : 2015 12 25
Float : 2900784 - Cycle : 349 - PI : Moon-Sik Suk - Data mode : A - INST REF : APEX-SBE 2487 - Date : 2016 1 4
Float : 2900784 - Cycle : 350 - PI : Moon-Sik Suk - Data mode : A - INST REF : APEX-SBE 2487 - Date : 2016 1 14
Float : 2900784 - Cycle : 355 - PI : Moon-Sik Suk - Data mode : A - INST REF : APEX-SBE 2487 - Date : 2016 3 4

Files data_mode=’D’

Float : 2900604 - Cycle : 66 - PI : Moon-Sik Suk - Data mode : D - Platform type : APEX - WMO inst type : 846 - FLOAT SERIAL : 2433 - Date : 2007 9 10
Float : 2900605 - Cycle : 37 - PI : Moon-Sik Suk - Data mode : D - Platform type : APEX - WMO inst type : 846 - FLOAT SERIAL : 2434 - Date : 2006 11 24
Float : 2900608 - Cycle : 28 - PI : Moon-Sik Suk - Data mode : D - Platform type : APEX - WMO inst type : 846 - FLOAT SERIAL : 2437 - Date : 2006 8 25
Float : 2900608 - Cycle : 59 - PI : Moon-Sik Suk - Data mode : D - Platform type : APEX - WMO inst type : 846 - FLOAT SERIAL : 2437 - Date : 2007 7 1
Float : 2900608 - Cycle : 61 - PI : Moon-Sik Suk - Data mode : D - Platform type : APEX - WMO inst type : 846 - FLOAT SERIAL : 2437 - Date : 2007 7 21
Float : 2900609 - Cycle : 27 - PI : Moon-Sik Suk - Data mode : D - Platform type : APEX - WMO inst type : 846 - FLOAT SERIAL : 2018 - Date : 2006 8 15
Float : 2900610 - Cycle : 40 - PI : Moon-Sik Suk - Data mode : D - Platform type : APEX - WMO inst type : 846 - FLOAT SERIAL : 1914 - Date : 2006 12 23

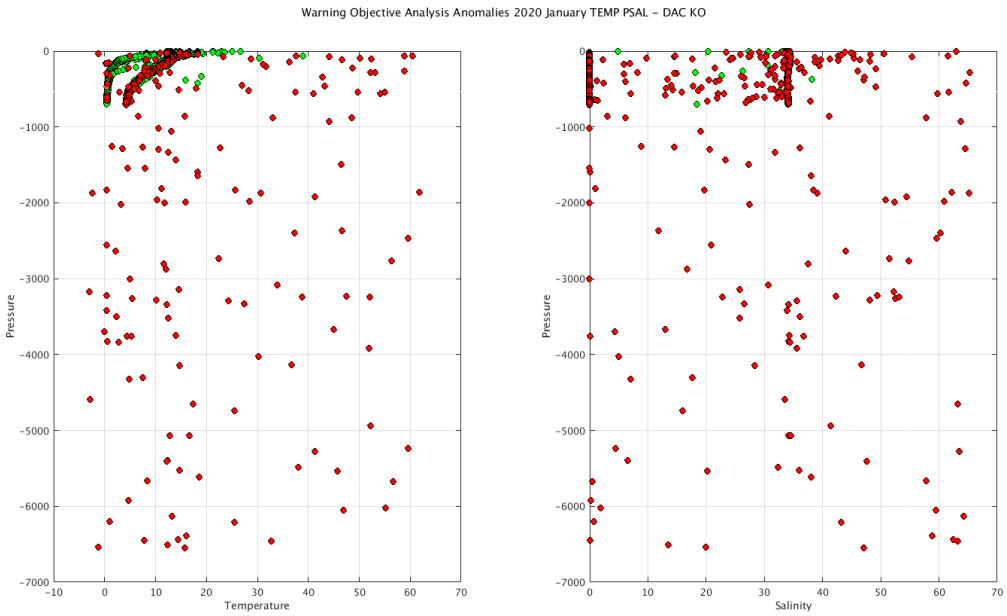

The list of the anomalies can be found at ftp://ftp.ifremer.fr/ifremer/argo/etc/ObjectiveAnalysisWarning/kordi/

Example of anomalies:

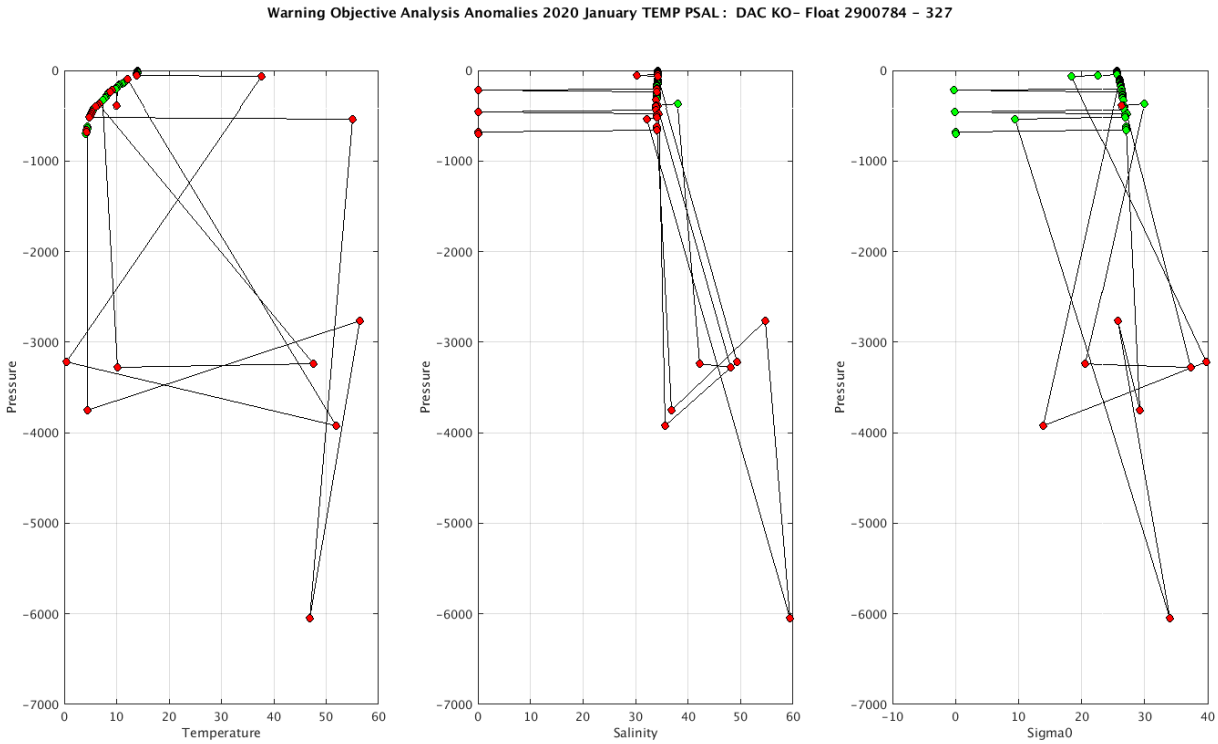

4.9. DAC MEDS

Profiles detected by the objective analysis: 15 profiles (6 floats, but floats can have several cycles with anomalies)

Data_mode ='R'	Data_mode ='A'	Data_mode ='D'
4 cycles	11 cycles	0 cycle

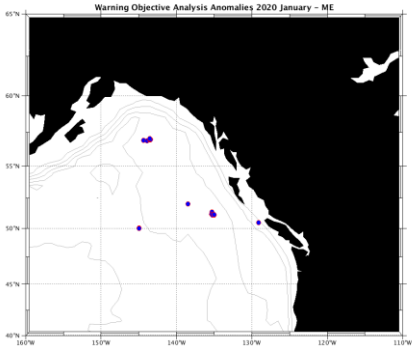

Status of corrections: Correction done or in progress, few feedbacks

Files data_mode='R'/'A'

Float : 4901769 - Cycle : 37 - PI : Blair Greenan - Data mode : R - Platform type : NOVA - WMO inst type : 865 - FLOAT SERIAL : 126 - Date : 2015 2 27
Float : 4901818 - Cycle : 121 - PI : Blair Greenan - Data mode : A - Platform type : NOVA - WMO inst type : 865 - FLOAT SERIAL : 324 - Date : 2019 10 26
Float : 4901818 - Cycle : 122 - PI : Blair Greenan - Data mode : A - Platform type : NOVA - WMO inst type : 865 - FLOAT SERIAL : 324 - Date : 2019 11 5
Float : 4901818 - Cycle : 123 - PI : Blair Greenan - Data mode : A - Platform type : NOVA - WMO inst type : 865 - FLOAT SERIAL : 324 - Date : 2019 11 15
Float : 4901818 - Cycle : 124 - PI : Blair Greenan - Data mode : A - Platform type : NOVA - WMO inst type : 865 - FLOAT SERIAL : 324 - Date : 2019 11 25
Float : 4901818 - Cycle : 125 - PI : Blair Greenan - Data mode : A - Platform type : NOVA - WMO inst type : 865 - FLOAT SERIAL : 324 - Date : 2019 12 5
Float : 4902445 - Cycle : 1 - PI : Blair Greenan - Data mode : R - Platform type : ARVOR - WMO inst type : 844 - FLOAT SERIAL : 260018CA08 - Date : 2018 6 16
Float : 4902446 - Cycle : 1 - PI : Blair Greenan - Data mode : R - Platform type : ARVOR - WMO inst type : 844 - FLOAT SERIAL : 260018CA09 - Date : 2019 2 14
Float : 4902465 - Cycle : 51 - PI : Blair Greenan - Data mode : A - Platform type : NOVA - WMO inst type : 865 - FLOAT SERIAL : 601 - Date : 2019 12 3
Float : 4902465 - Cycle : 52 - PI : Blair Greenan - Data mode : A - Platform type : NOVA - WMO inst type : 865 - FLOAT SERIAL : 601 - Date : 2019 12 13
Float : 4902465 - Cycle : 53 - PI : Blair Greenan - Data mode : A - Platform type : NOVA - WMO inst type : 865 - FLOAT SERIAL : 601 - Date : 2019 12 23
Float : 4902465 - Cycle : 54 - PI : Blair Greenan - Data mode : A - Platform type : NOVA - WMO inst type : 865 - FLOAT SERIAL : 601 - Date : 2020 1 2
Float : 4902465 - Cycle : 55 - PI : Blair Greenan - Data mode : A - Platform type : NOVA - WMO inst type : 865 - FLOAT SERIAL : 601 - Date : 2020 1 12
Float : 4902465 - Cycle : 56 - PI : Blair Greenan - Data mode : A - Platform type : NOVA - WMO inst type : 865 - FLOAT SERIAL : 601 - Date : 2020 1 22
Float : 4902491 - Cycle : 18 - PI : Blair Greenan - Data mode : R - Platform type : ARVOR - WMO inst type : 844 - FLOAT SERIAL : 260019CA20 - Date : 2019 12 25

Files data_mode='D'

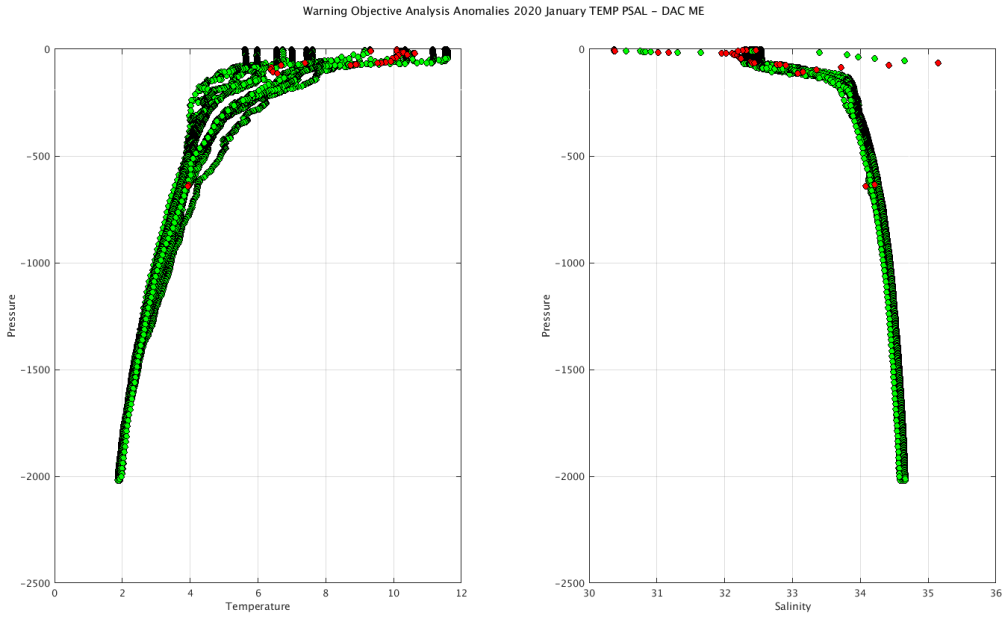

The list of the anomalies can be found at ftp://ftp.ifremer.fr/ifremer/argo/etc/ObjectiveAnalysisWarning/meds/

Example of anomalies:

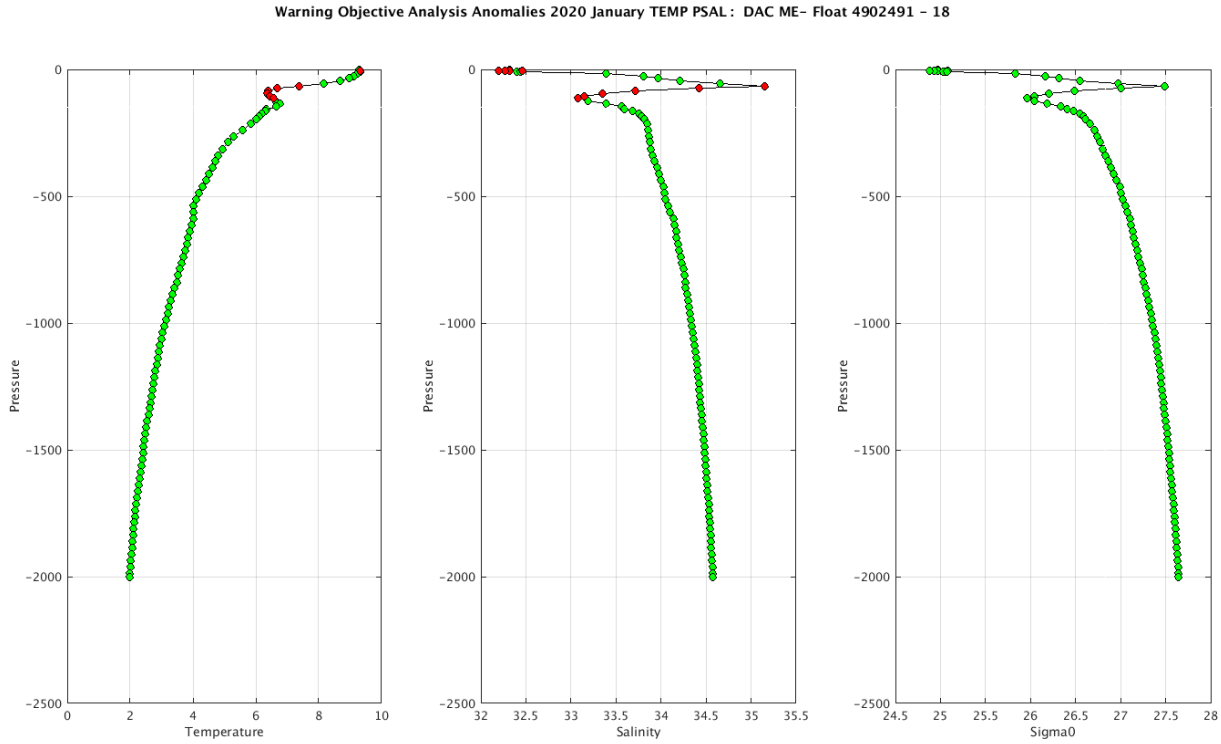

4.10. DAC NMDIS

Profiles detected by the objective analysis: - profiles (- floats – float can have several cycles with anomalies)

Data_mode ='R'	Data_mode ='A'	Data_mode ='D'
0 cycle	0 cycle	0 cycle

INACTIVE FLOATS

Status of corrections:.

The list of the anomalies can be found at ftp://ftp.ifremer.fr/ifremer/argo/etc/ObjectiveAnalysisWarning/nmdis/

Example of anomalies:

Delayed Mode anomalies (adjusted fields) – date mode ='D'

Some D files with strange adjusted_qc

2901615 ex. Cycle 58, …

DATA_STATE_INDICATOR = "2C " ;
DATA_MODE = "R" ;

TEMP_ADJUSTED values exist but
TEMP_ADJUSTED_QC =
"99999999999999999999999999999999999999999999999999999999999999999999999999999999999999999999" ;

5. File anomalies (GDAC – Real time)

For information, on the GDAC for some floats, some netcdf files are missing. Sometimes this is not an anomaly (float has been deployed but no transmission of data then only meta file is available) but for other cases it could be an anomaly so please check.

I removed all the floats for which the missing netcdf files are not due to an anomaly. For instance, I removed all the floats for which only meta.nc file is generated or only meta.nc and tech.nc files are generated. If you think that others associations have to be removed for technical reasons, let me know.
<wmo_number>_meta.nc | <wmo_number>_meta.nc + <wmo_number>_tech.nc

5.1. AOML

GDAC (missing nc files)

For some floats :

- tech.nc and/or traj.nc are missing (meta.nc and prof.nc files existing)
- multiprof.nc is missing (no profiles but tech, traj, meta exist)
- only meta file (no monoprofile, no trajectory, no technical file)

See below the list of floats with existing nc files :
Feedback from AOML to remove floats for which no sufficient information to create the missing files; some are Orbcomm floats (wait for recommendations) which have no technical data, no drift pressure, no timing information and onlmy one surface position then tech files are obsolete and traj files quite useless.
Feedback for floats 4900433, 4903243 that should be updated

DAC name : aoml – Number of floats : 7391

1900167 - Existing NetCDF files
File : 1900167_meta.nc - 1900167_prof.nc -

1900168 - Existing NetCDF files
File : 1900168_meta.nc - 1900168_prof.nc -

1900189 - Existing NetCDF files
File : 1900189_Rtraj.nc - 1900189_meta.nc - 1900189_tech.nc -

1900244 - Existing NetCDF files
File : 1900244_meta.nc - 1900244_prof.nc -

1900245 - Existing NetCDF files
File : 1900245_meta.nc - 1900245_prof.nc -

1900255 - Existing NetCDF files
File : 1900255_meta.nc - 1900255_prof.nc -

1900257 - Existing NetCDF files
File : 1900257_meta.nc - 1900257_prof.nc -

1900748 - Existing NetCDF files
File : 1900748_Rtraj.nc - 1900748_meta.nc - 1900748_tech.nc -

1900831 - Existing NetCDF files
File : 1900831_Rtraj.nc - 1900831_meta.nc - 1900831_tech.nc -

1901658 - Existing NetCDF files
File : 1901658_Rtraj.nc - 1901658_meta.nc - 1901658_tech.nc -

2901106 - Existing NetCDF files
File : 2901106_Rtraj.nc - 2901106_meta.nc - 2901106_tech.nc -

3900148 - Existing NetCDF files
File : 3900148_meta.nc - 3900148_prof.nc -

3900160 - Existing NetCDF files
File : 3900160_Rtraj.nc - 3900160_meta.nc - 3900160_tech.nc -

41534 - Existing NetCDF files
File : 41534_Rtraj.nc - 41534_meta.nc - 41534_tech.nc -

4900228 - Existing NetCDF files
File : 4900228_meta.nc - 4900228_prof.nc -

4900229 - Existing NetCDF files
File : 4900229_meta.nc - 4900229_prof.nc -

4900230 - Existing NetCDF files
File : 4900230_meta.nc - 4900230_prof.nc -

4900268 - Existing NetCDF files
File : 4900268_meta.nc - 4900268_prof.nc -

4900269 - Existing NetCDF files
File : 4900269_meta.nc - 4900269_prof.nc -

4900270 - Existing NetCDF files
File : 4900270_meta.nc - 4900270_prof.nc -

4900271 - Existing NetCDF files
File : 4900271_meta.nc - 4900271_prof.nc -

4900272 - Existing NetCDF files
File : 4900272_meta.nc - 4900272_prof.nc -

4900273 - Existing NetCDF files
File : 4900273_meta.nc - 4900273_prof.nc -

4900287 - Existing NetCDF files
File : 4900287_Rtraj.nc - 4900287_meta.nc - 4900287_tech.nc -

4900358 - Existing NetCDF files
File : 4900358_meta.nc - 4900358_prof.nc -

4900361 - Existing NetCDF files
File : 4900361_meta.nc - 4900361_prof.nc -

4900366 - Existing NetCDF files
File : 4900366_meta.nc - 4900366_prof.nc -

4900367 - Existing NetCDF files
File : 4900367_meta.nc - 4900367_prof.nc -

4900382 - Existing NetCDF files
File : 4900382_meta.nc - 4900382_prof.nc -

4900383 - Existing NetCDF files
File : 4900383_meta.nc - 4900383_prof.nc -

4900385 - Existing NetCDF files
File : 4900385_meta.nc - 4900385_prof.nc -

4900426 - Existing NetCDF files
File : 4900426_meta.nc - 4900426_prof.nc -

4900427 - Existing NetCDF files
File : 4900427_meta.nc - 4900427_prof.nc -

4900428 - Existing NetCDF files
File : 4900428_meta.nc - 4900428_prof.nc -

4900433 - Existing NetCDF files
File : 4900433_Rtraj.nc - 4900433_meta.nc - 4900433_tech.nc -

4900583 - Existing NetCDF files
File : 4900583_Rtraj.nc - 4900583_meta.nc - 4900583_tech.nc -

4901485 - Existing NetCDF files
File : 4901485_Rtraj.nc - 4901485_meta.nc - 4901485_tech.nc -

4901537 - Existing NetCDF files
File : 4901537_Rtraj.nc - 4901537_meta.nc - 4901537_tech.nc

4901560 - Existing NetCDF files
File : 4901560_Rtraj.nc - 4901560_meta.nc - 4901560_tech.nc

4901575 - Existing NetCDF files
File : 4901575_Rtraj.nc - 4901575_meta.nc - 4901575_tech.nc -

4901577 - Existing NetCDF files
File : 4901577_Rtraj.nc - 4901577_meta.nc - 4901577_tech.nc

4903243 - Existing NetCDF files
File : 4903243_meta.nc - 4903243_prof.nc - 4903243_tech.nc -

5900253 - Existing NetCDF files
File : 5900253_Rtraj.nc - 5900253_meta.nc - 5900253_tech.nc -

5900637 - Existing NetCDF files
File : 5900637_Rtraj.nc - 5900637_meta.nc - 5900637_tech.nc -

5900765 - Existing NetCDF files
File : 5900765_Rtraj.nc - 5900765_meta.nc - 5900765_tech.nc -

5900892 - Existing NetCDF files
File : 5900892_Rtraj.nc - 5900892_meta.nc - 5900892_tech.nc -

5901006 - Existing NetCDF files
File : 5901006_Rtraj.nc - 5901006_meta.nc - 5901006_tech.nc -

5901082 - Existing NetCDF files
File : 5901082_Rtraj.nc - 5901082_meta.nc - 5901082_tech.nc

5903442 - Existing NetCDF files
File : 5903442_Rtraj.nc - 5903442_meta.nc - 5903442_tech.nc -

5904282 - Existing NetCDF files
File : 5904282_Rtraj.nc - 5904282_meta.nc - 5904282_tech.nc -

5904838 - Existing NetCDF files
File : 5904838_Rtraj.nc - 5904838_meta.nc - 5904838_prof.nc -

5904839 - Existing NetCDF files
File : 5904839_Rtraj.nc - 5904839_meta.nc - 5904839_prof.nc -

5904840 - Existing NetCDF files
File : 5904840_Rtraj.nc - 5904840_meta.nc - 5904840_prof.nc

5905641 - Existing NetCDF files
File : 5905641_Rtraj.nc - 5905641_meta.nc - 5905641_prof.nc

5.2. BODC

GDAC (missing nc files)

For some floats :

- tech.nc - and/or traj.nc - are missing (meta.nc - and prof.nc - files existing)
- only meta and/or tech files (no monoprofile, no trajectory)

MAINLY TRAJECTORY FILE MISSING

See below the list of floats with existing nc files :

DAC name : bodc – Number of floats : 728

1901312 - Existing NetCDF files
File : 1901312_meta.nc - 1901312_prof.nc - 1901312_tech.nc -

1901844 - Existing NetCDF files
File : 1901844_meta.nc - 1901844_prof.nc - 1901844_tech.nc -

1901845 - Existing NetCDF files
File : 1901845_meta.nc - 1901845_prof.nc - 1901845_tech.nc -

1901846 - Existing NetCDF files
File : 1901846_meta.nc - 1901846_prof.nc - 1901846_tech.nc -

1901847 - Existing NetCDF files
File : 1901847_meta.nc - 1901847_prof.nc - 1901847_tech.nc -

1901848 - Existing NetCDF files
File : 1901848_meta.nc - 1901848_prof.nc - 1901848_tech.nc -

1901849 - Existing NetCDF files
File : 1901849_meta.nc - 1901849_prof.nc - 1901849_tech.nc -

1901850 - Existing NetCDF files
File : 1901850_meta.nc - 1901850_prof.nc - 1901850_tech.nc -

1901851 - Existing NetCDF files
File : 1901851_meta.nc - 1901851_prof.nc - 1901851_tech.nc -

1901852 - Existing NetCDF files
File : 1901852_meta.nc - 1901852_prof.nc - 1901852_tech.nc -

1901853 - Existing NetCDF files
File : 1901853_meta.nc - 1901853_prof.nc - 1901853_tech.nc -

1901854 - Existing NetCDF files
File : 1901854_meta.nc - 1901854_prof.nc - 1901854_tech.nc -

1901855 - Existing NetCDF files
File : 1901855_meta.nc - 1901855_prof.nc - 1901855_tech.nc -

1901856 - Existing NetCDF files
File : 1901856_meta.nc - 1901856_prof.nc - 1901856_tech.nc -

1901857 - Existing NetCDF files
File : 1901857_meta.nc - 1901857_prof.nc - 1901857_tech.nc -

1901858 - Existing NetCDF files
File : 1901858_meta.nc - 1901858_prof.nc - 1901858_tech.nc -

1901859 - Existing NetCDF files
File : 1901859_meta.nc - 1901859_prof.nc - 1901859_tech.nc -

1901860 - Existing NetCDF files
File : 1901860_meta.nc - 1901860_prof.nc - 1901860_tech.nc -

1901861 - Existing NetCDF files
File : 1901861_meta.nc - 1901861_prof.nc - 1901861_tech.nc -

1901862 - Existing NetCDF files
File : 1901862_meta.nc - 1901862_prof.nc - 1901862_tech.nc -

1901863 - Existing NetCDF files
File : 1901863_meta.nc - 1901863_prof.nc - 1901863_tech.nc -

1901864 - Existing NetCDF files
File : 1901864_meta.nc - 1901864_prof.nc - 1901864_tech.nc -

1901865 - Existing NetCDF files
File : 1901865_meta.nc - 1901865_prof.nc - 1901865_tech.nc -

1901866 - Existing NetCDF files
File : 1901866_meta.nc - 1901866_prof.nc - 1901866_tech.nc -

1901867 - Existing NetCDF files
File : 1901867_meta.nc - 1901867_prof.nc - 1901867_tech.nc -

1901868 - Existing NetCDF files
File : 1901868_meta.nc - 1901868_prof.nc - 1901868_tech.nc -

1901869 - Existing NetCDF files
File : 1901869_meta.nc - 1901869_prof.nc - 1901869_tech.nc -

1901870 - Existing NetCDF files
File : 1901870_meta.nc - 1901870_prof.nc - 1901870_tech.nc -

1901871 - Existing NetCDF files
File : 1901871_meta.nc - 1901871_prof.nc - 1901871_tech.nc -

1901872 - Existing NetCDF files
File : 1901872_meta.nc - 1901872_prof.nc - 1901872_tech.nc -

1901873 - Existing NetCDF files
File : 1901873_meta.nc - 1901873_prof.nc - 1901873_tech.nc -

1901875 - Existing NetCDF files
File : 1901875_meta.nc - 1901875_prof.nc - 1901875_tech.nc -

1901876 - Existing NetCDF files
File : 1901876_meta.nc - 1901876_prof.nc - 1901876_tech.nc -

1901877 - Existing NetCDF files
File : 1901877_meta.nc - 1901877_prof.nc - 1901877_tech.nc -

1901878 - Existing NetCDF files
File : 1901878_meta.nc - 1901878_prof.nc - 1901878_tech.nc -

1901879 - Existing NetCDF files
File : 1901879_meta.nc - 1901879_prof.nc - 1901879_tech.nc -

1901880 - Existing NetCDF files
File : 1901880_meta.nc - 1901880_prof.nc - 1901880_tech.nc -

1901881 - Existing NetCDF files
File : 1901881_meta.nc - 1901881_prof.nc - 1901881_tech.nc -

1901882 - Existing NetCDF files
File : 1901882_meta.nc - 1901882_prof.nc - 1901882_tech.nc -

1901883 - Existing NetCDF files
File : 1901883_meta.nc - 1901883_prof.nc - 1901883_tech.nc -

1901884 - Existing NetCDF files

File : 1901884_meta.nc - 1901884_prof.nc - 1901884_tech.nc -

1901885 - Existing NetCDF files
File : 1901885_meta.nc - 1901885_prof.nc - 1901885_tech.nc -

1901886 - Existing NetCDF files
File : 1901886_meta.nc - 1901886_prof.nc - 1901886_tech.nc -

1901887 - Existing NetCDF files
File : 1901887_meta.nc - 1901887_prof.nc - 1901887_tech.nc -

1901888 - Existing NetCDF files
File : 1901888_meta.nc - 1901888_prof.nc - 1901888_tech.nc -

1901894 - Existing NetCDF files
File : 1901894_meta.nc - 1901894_prof.nc - 1901894_tech.nc -

1901896 - Existing NetCDF files
File : 1901896_meta.nc - 1901896_prof.nc - 1901896_tech.nc -

1901897 - Existing NetCDF files
File : 1901897_meta.nc - 1901897_prof.nc - 1901897_tech.nc -

1901898 - Existing NetCDF files
File : 1901898_meta.nc - 1901898_prof.nc - 1901898_tech.nc -

1901899 - Existing NetCDF files
File : 1901899_meta.nc - 1901899_prof.nc - 1901899_tech.nc -

1901900 - Existing NetCDF files
File : 1901900_meta.nc - 1901900_prof.nc - 1901900_tech.nc -

1901901 - Existing NetCDF files
File : 1901901_meta.nc - 1901901_prof.nc - 1901901_tech.nc -

1901902 - Existing NetCDF files
File : 1901902_meta.nc - 1901902_prof.nc - 1901902_tech.nc -

1901903 - Existing NetCDF files
File : 1901903_meta.nc - 1901903_prof.nc - 1901903_tech.nc -

1901904 - Existing NetCDF files
File : 1901904_meta.nc - 1901904_prof.nc - 1901904_tech.nc -

1901906 - Existing NetCDF files
File : 1901906_meta.nc - 1901906_prof.nc - 1901906_tech.nc -

1901907 - Existing NetCDF files
File : 1901907_meta.nc - 1901907_prof.nc - 1901907_tech.nc -

1901909 - Existing NetCDF files
File : 1901909_meta.nc - 1901909_prof.nc - 1901909_tech.nc -

1901910 - Existing NetCDF files
File : 1901910_meta.nc - 1901910_prof.nc - 1901910_tech.nc -

1901911 - Existing NetCDF files
File : 1901911_meta.nc - 1901911_prof.nc - 1901911_tech.nc -

1901912 - Existing NetCDF files
File : 1901912_meta.nc - 1901912_prof.nc - 1901912_tech.nc -

1901914 - Existing NetCDF files
File : 1901914_meta.nc - 1901914_prof.nc - 1901914_tech.nc -

1901915 - Existing NetCDF files
File : 1901915_meta.nc - 1901915_prof.nc - 1901915_tech.nc -

1901916 - Existing NetCDF files
File : 1901916_meta.nc - 1901916_prof.nc - 1901916_tech.nc -

1901917 - Existing NetCDF files
File : 1901917_meta.nc - 1901917_prof.nc - 1901917_tech.nc -

1902079 - Existing NetCDF files
File : 1902079_meta.nc - 1902079_prof.nc - 1902079_tech.nc -

1902080 - Existing NetCDF files
File : 1902080_meta.nc - 1902080_prof.nc - 1902080_tech.nc -

2901892 - Existing NetCDF files
File : 2901892_meta.nc - 2901892_prof.nc - 2901892_tech.nc -

2901893 - Existing NetCDF files
File : 2901893_meta.nc - 2901893_prof.nc - 2901893_tech.nc -

2901894 - Existing NetCDF files
File : 2901894_meta.nc - 2901894_prof.nc - 2901894_tech.nc -

2901895 - Existing NetCDF files
File : 2901895_meta.nc - 2901895_prof.nc - 2901895_tech.nc -

2901896 - Existing NetCDF files
File : 2901896_meta.nc - 2901896_prof.nc - 2901896_tech.nc -

2901897 - Existing NetCDF files
File : 2901897_meta.nc - 2901897_prof.nc - 2901897_tech.nc -

2901898 - Existing NetCDF files
File : 2901898_meta.nc - 2901898_prof.nc - 2901898_tech.nc -

2901899 - Existing NetCDF files
File : 2901899_meta.nc - 2901899_prof.nc - 2901899_tech.nc -

2901900 - Existing NetCDF files
File : 2901900_meta.nc - 2901900_prof.nc - 2901900_tech.nc -

2901902 - Existing NetCDF files
File : 2901902_meta.nc - 2901902_prof.nc - 2901902_tech.nc -

2901903 - Existing NetCDF files
File : 2901903_meta.nc - 2901903_prof.nc - 2901903_tech.nc -

2901904 - Existing NetCDF files
File : 2901904_meta.nc - 2901904_prof.nc - 2901904_tech.nc -

2901905 - Existing NetCDF files
File : 2901905_meta.nc - 2901905_prof.nc - 2901905_tech.nc -

3900538 - Existing NetCDF files
File : 3900538_meta.nc - 3900538_prof.nc - 3900538_tech.nc -

3900559 - Existing NetCDF files
File : 3900559_meta.nc - 3900559_prof.nc - 3900559_tech.nc -

3900560 - Existing NetCDF files
File : 3900560_meta.nc - 3900560_prof.nc - 3900560_tech.nc -

3901488 - Existing NetCDF files
File : 3901488_meta.nc - 3901488_prof.nc - 3901488_tech.nc -

3901489 - Existing NetCDF files
File : 3901489_meta.nc - 3901489_prof.nc - 3901489_tech.nc -

3901490 - Existing NetCDF files
File : 3901490_meta.nc - 3901490_prof.nc - 3901490_tech.nc -

3901491 - Existing NetCDF files
File : 3901491_meta.nc - 3901491_prof.nc - 3901491_tech.nc -

3901492 - Existing NetCDF files
File : 3901492_meta.nc - 3901492_prof.nc - 3901492_tech.nc -

3901493 - Existing NetCDF files
File : 3901493_meta.nc - 3901493_prof.nc - 3901493_tech.nc -

3901494 - Existing NetCDF files
File : 3901494_meta.nc - 3901494_prof.nc - 3901494_tech.nc -

3901495 - Existing NetCDF files
File : 3901495_meta.nc - 3901495_prof.nc - 3901495_tech.nc -

3901499 - Existing NetCDF files
File : 3901499_meta.nc - 3901499_prof.nc - 3901499_tech.nc -

3901500 - Existing NetCDF files
File : 3901500_meta.nc - 3901500_prof.nc - 3901500_tech.nc -

3901501 - Existing NetCDF files
File : 3901501_meta.nc - 3901501_prof.nc - 3901501_tech.nc -

3901502 - Existing NetCDF files
File : 3901502_meta.nc - 3901502_prof.nc - 3901502_tech.nc -

3901503 - Existing NetCDF files
File : 3901503_meta.nc - 3901503_prof.nc - 3901503_tech.nc -

3901504 - Existing NetCDF files
File : 3901504_meta.nc - 3901504_prof.nc - 3901504_tech.nc -

3901505 - Existing NetCDF files
File : 3901505_meta.nc - 3901505_prof.nc - 3901505_tech.nc -

3901506 - Existing NetCDF files
File : 3901506_meta.nc - 3901506_prof.nc - 3901506_tech.nc -

3901507 - Existing NetCDF files
File : 3901507_meta.nc - 3901507_prof.nc - 3901507_tech.nc -

3901508 - Existing NetCDF files
File : 3901508_meta.nc - 3901508_prof.nc - 3901508_tech.nc -

3901509 - Existing NetCDF files
File : 3901509_meta.nc - 3901509_prof.nc - 3901509_tech.nc -

3901510 - Existing NetCDF files
File : 3901510_meta.nc - 3901510_prof.nc - 3901510_tech.nc -

3901511 - Existing NetCDF files
File : 3901511_meta.nc - 3901511_prof.nc - 3901511_tech.nc -

3901512 - Existing NetCDF files
File : 3901512_meta.nc - 3901512_prof.nc - 3901512_tech.nc -

3901513 - Existing NetCDF files
File : 3901513_meta.nc - 3901513_prof.nc - 3901513_tech.nc -

3901514 - Existing NetCDF files
File : 3901514_meta.nc - 3901514_prof.nc - 3901514_tech.nc -

3901515 - Existing NetCDF files
File : 3901515_meta.nc - 3901515_prof.nc - 3901515_tech.nc -

3901516 - Existing NetCDF files
File : 3901516_meta.nc - 3901516_prof.nc - 3901516_tech.nc -

3901517 - Existing NetCDF files
File : 3901517_meta.nc - 3901517_prof.nc - 3901517_tech.nc -

3901519 - Existing NetCDF files
File : 3901519_meta.nc - 3901519_prof.nc - 3901519_tech.nc -

3901520 - Existing NetCDF files
File : 3901520_meta.nc - 3901520_prof.nc - 3901520_tech.nc -

3901521 - Existing NetCDF files
File : 3901521_meta.nc - 3901521_prof.nc - 3901521_tech.nc -

3901522 - Existing NetCDF files
File : 3901522_meta.nc - 3901522_prof.nc - 3901522_tech.nc -

3901523 - Existing NetCDF files
File : 3901523_meta.nc - 3901523_prof.nc - 3901523_tech.nc -

3901524 - Existing NetCDF files
File : 3901524_meta.nc - 3901524_prof.nc - 3901524_tech.nc -

3901525 - Existing NetCDF files
File : 3901525_meta.nc - 3901525_prof.nc - 3901525_tech.nc -

3901526 - Existing NetCDF files
File : 3901526_meta.nc - 3901526_prof.nc - 3901526_tech.nc -

3901527 - Existing NetCDF files
File : 3901527_meta.nc - 3901527_prof.nc - 3901527_tech.nc -

3901528 - Existing NetCDF files
File : 3901528_meta.nc - 3901528_prof.nc - 3901528_tech.nc -

3901529 - Existing NetCDF files
File : 3901529_meta.nc - 3901529_prof.nc - 3901529_tech.nc -

3901532 - Existing NetCDF files
File : 3901532_meta.nc - 3901532_prof.nc - 3901532_tech.nc -

3901533 - Existing NetCDF files
File : 3901533_meta.nc - 3901533_prof.nc - 3901533_tech.nc -

3901534 - Existing NetCDF files
File : 3901534_meta.nc - 3901534_prof.nc - 3901534_tech.nc -

3901535 - Existing NetCDF files
File : 3901535_meta.nc - 3901535_prof.nc - 3901535_tech.nc -

3901536 - Existing NetCDF files
File : 3901536_meta.nc - 3901536_prof.nc - 3901536_tech.nc -

3901537 - Existing NetCDF files
File : 3901537_meta.nc - 3901537_prof.nc - 3901537_tech.nc -

3901538 - Existing NetCDF files
File : 3901538_meta.nc - 3901538_prof.nc - 3901538_tech.nc -

3901539 - Existing NetCDF files
File : 3901539_meta.nc - 3901539_prof.nc - 3901539_tech.nc -

3901546 - Existing NetCDF files
File : 3901546_meta.nc - 3901546_prof.nc - 3901546_tech.nc -

3901547 - Existing NetCDF files
File : 3901547_meta.nc - 3901547_prof.nc - 3901547_tech.nc -

3901548 - Existing NetCDF files
File : 3901548_meta.nc - 3901548_prof.nc - 3901548_tech.nc -

3901549 - Existing NetCDF files
File : 3901549_meta.nc - 3901549_prof.nc - 3901549_tech.nc -

3901550 - Existing NetCDF files
File : 3901550_meta.nc - 3901550_prof.nc - 3901550_tech.nc -

3901551 - Existing NetCDF files
File : 3901551_meta.nc - 3901551_prof.nc - 3901551_tech.nc -

3902398 - Existing NetCDF files
File : 3902398_meta.nc - 3902398_prof.nc - 3902398_tech.nc -

3902399 - Existing NetCDF files
File : 3902399_meta.nc - 3902399_prof.nc - 3902399_tech.nc -

3902400 - Existing NetCDF files
File : 3902400_meta.nc - 3902400_prof.nc - 3902400_tech.nc -

3902402 - Existing NetCDF files
File : 3902402_meta.nc - 3902402_prof.nc - 3902402_tech.nc -

3902403 - Existing NetCDF files
File : 3902403_meta.nc - 3902403_prof.nc - 3902403_tech.nc -

49065 - Existing NetCDF files
File : 49065_meta.nc - 49065_prof.nc - 49065_tech.nc -

6901153 - Existing NetCDF files
File : 6901153_meta.nc - 6901153_prof.nc - 6901153_tech.nc -

6901155 - Existing NetCDF files
File : 6901155_meta.nc - 6901155_prof.nc - 6901155_tech.nc -

6901156 - Existing NetCDF files
File : 6901156_meta.nc - 6901156_prof.nc - 6901156_tech.nc -

6901157 - Existing NetCDF files
File : 6901157_meta.nc - 6901157_prof.nc - 6901157_tech.nc -

6901158 - Existing NetCDF files
File : 6901158_meta.nc - 6901158_prof.nc - 6901158_tech.nc -

6901159 - Existing NetCDF files
File : 6901159_meta.nc - 6901159_prof.nc - 6901159_tech.nc -

6901160 - Existing NetCDF files
File : 6901160_meta.nc - 6901160_prof.nc - 6901160_tech.nc -

6901161 - Existing NetCDF files
File : 6901161_meta.nc - 6901161_prof.nc - 6901161_tech.nc -

6901162 - Existing NetCDF files
File : 6901162_meta.nc - 6901162_prof.nc - 6901162_tech.nc -

6901163 - Existing NetCDF files
File : 6901163_meta.nc - 6901163_prof.nc - 6901163_tech.nc -

6901164 - Existing NetCDF files
File : 6901164_meta.nc - 6901164_prof.nc - 6901164_tech.nc -

6901165 - Existing NetCDF files
File : 6901165_meta.nc - 6901165_prof.nc - 6901165_tech.nc -

6901166 - Existing NetCDF files
File : 6901166_meta.nc - 6901166_prof.nc - 6901166_tech.nc -

6901167 - Existing NetCDF files
File : 6901167_meta.nc - 6901167_prof.nc - 6901167_tech.nc -

6901168 - Existing NetCDF files
File : 6901168_meta.nc - 6901168_prof.nc - 6901168_tech.nc -

6901169 - Existing NetCDF files
File : 6901169_meta.nc - 6901169_prof.nc - 6901169_tech.nc -

6901170 - Existing NetCDF files
File : 6901170_meta.nc - 6901170_prof.nc - 6901170_tech.nc -

6901171 - Existing NetCDF files
File : 6901171_meta.nc - 6901171_prof.nc - 6901171_tech.nc -

6901172 - Existing NetCDF files
File : 6901172_meta.nc - 6901172_prof.nc - 6901172_tech.nc -

6901173 - Existing NetCDF files
File : 6901173_meta.nc - 6901173_prof.nc - 6901173_tech.nc -

6901176 - Existing NetCDF files
File : 6901176_meta.nc - 6901176_prof.nc - 6901176_tech.nc -

6901177 - Existing NetCDF files
File : 6901177_meta.nc - 6901177_prof.nc - 6901177_tech.nc -

6901178 - Existing NetCDF files
File : 6901178_meta.nc - 6901178_prof.nc - 6901178_tech.nc -

6901179 - Existing NetCDF files
File : 6901179_meta.nc - 6901179_prof.nc - 6901179_tech.nc -

6901188 - Existing NetCDF files
File : 6901188_meta.nc - 6901188_prof.nc - 6901188_tech.nc -

6901189 - Existing NetCDF files
File : 6901189_meta.nc - 6901189_prof.nc - 6901189_tech.nc -

6901190 - Existing NetCDF files
File : 6901190_meta.nc - 6901190_prof.nc - 6901190_tech.nc -

6901192 - Existing NetCDF files
File : 6901192_meta.nc - 6901192_prof.nc - 6901192_tech.nc -

6901194 - Existing NetCDF files
File : 6901194_meta.nc - 6901194_prof.nc - 6901194_tech.nc -

6901195 - Existing NetCDF files

File : 6901195_meta.nc - 6901195_prof.nc - 6901195_tech.nc -

6901196 - Existing NetCDF files
File : 6901196_meta.nc - 6901196_prof.nc - 6901196_tech.nc -

6901197 - Existing NetCDF files
File : 6901197_meta.nc - 6901197_prof.nc - 6901197_tech.nc -

6901198 - Existing NetCDF files
File : 6901198_meta.nc - 6901198_prof.nc - 6901198_tech.nc -

6901199 - Existing NetCDF files
File : 6901199_meta.nc - 6901199_prof.nc - 6901199_tech.nc -

6901200 - Existing NetCDF files
File : 6901200_meta.nc - 6901200_prof.nc - 6901200_tech.nc -

6901201 - Existing NetCDF files
File : 6901201_meta.nc - 6901201_prof.nc - 6901201_tech.nc -

6901202 - Existing NetCDF files
File : 6901202_meta.nc - 6901202_prof.nc - 6901202_tech.nc -

6901205 - Existing NetCDF files
File : 6901205_meta.nc - 6901205_prof.nc - 6901205_tech.nc -

6901206 - Existing NetCDF files
File : 6901206_meta.nc - 6901206_prof.nc - 6901206_tech.nc -

6901207 - Existing NetCDF files
File : 6901207_meta.nc - 6901207_prof.nc - 6901207_tech.nc -

6901208 - Existing NetCDF files
File : 6901208_meta.nc - 6901208_prof.nc - 6901208_tech.nc -

6901211 - Existing NetCDF files
File : 6901211_meta.nc - 6901211_prof.nc - 6901211_tech.nc -

6901212 - Existing NetCDF files
File : 6901212_meta.nc - 6901212_prof.nc - 6901212_tech.nc -

6901213 - Existing NetCDF files
File : 6901213_meta.nc - 6901213_prof.nc - 6901213_tech.nc -

6901919 - Existing NetCDF files
File : 6901919_meta.nc - 6901919_prof.nc - 6901919_tech.nc -

6901920 - Existing NetCDF files
File : 6901920_meta.nc - 6901920_prof.nc - 6901920_tech.nc -

6901921 - Existing NetCDF files
File : 6901921_meta.nc - 6901921_prof.nc - 6901921_tech.nc -

6901922 - Existing NetCDF files
File : 6901922_meta.nc - 6901922_prof.nc - 6901922_tech.nc -

6901923 - Existing NetCDF files
File : 6901923_meta.nc - 6901923_prof.nc - 6901923_tech.nc -

6901924 - Existing NetCDF files
File : 6901924_meta.nc - 6901924_prof.nc - 6901924_tech.nc -

6901925 - Existing NetCDF files
File : 6901925_meta.nc - 6901925_prof.nc - 6901925_tech.nc -

6901926 - Existing NetCDF files
File : 6901926_meta.nc - 6901926_prof.nc - 6901926_tech.nc -

6901927 - Existing NetCDF files
File : 6901927_meta.nc - 6901927_prof.nc - 6901927_tech.nc -

6901928 - Existing NetCDF files
File : 6901928_meta.nc - 6901928_prof.nc - 6901928_tech.nc

5.3. CORIOLIS

GDAC (missing nc files)

For some floats :

- multiprof.nc - is missing (no profiles but tech, traj, meta exist)

See below the list of floats with existing nc files :

DAC name : Coriolis – Number of floats : 2978

1900380 - Existing NetCDF files
File : 1900380_Rtraj.nc - 1900380_meta.nc - 1900380_tech.nc -

1901216 - Existing NetCDF files
File : 1901216_Rtraj.nc - 1901216_meta.nc - 1901216_tech.nc -

3900794 - Existing NetCDF files
File : 3900794_Rtraj.nc - 3900794_meta.nc -

5902309 - Existing NetCDF files
File : 5902309_Rtraj.nc - 5902309_meta.nc -

5903129 - Existing NetCDF files
File : 5903129_Rtraj.nc - 5903129_meta.nc - 5903129_tech.nc -

6900215 - Existing NetCDF files
File : 6900215_meta.nc - 6900215_prof.nc - 6900215_tech.nc -

6900217 - Existing NetCDF files
File : 6900217_meta.nc - 6900217_prof.nc - 6900217_tech.nc -

6900940 - Existing NetCDF files
File : 6900940_Rtraj.nc - 6900940_meta.nc - 6900940_tech.nc -

6901000 - Existing NetCDF files
File : 6901000_Rtraj.nc - 6901000_meta.nc - 6901000_tech.nc -

6901438 - Existing NetCDF files
File : 6901438_Rtraj.nc - 6901438_meta.nc -

6901469 - Existing NetCDF files
File : 6901469_Rtraj.nc - 6901469_meta.nc -

6901551 - Existing NetCDF files
File : 6901551_Rtraj.nc - 6901551_meta.nc - 6901551_tech.nc -

6901594 - Existing NetCDF files
File : 6901594_Rtraj.nc - 6901594_meta.nc - 6901594_tech.nc -

6901615 - Existing NetCDF files
File : 6901615_Rtraj.nc - 6901615_meta.nc - 6901615_tech.nc -

6901820 - Existing NetCDF files
File : 6901820_Rtraj.nc - 6901820_meta.nc -

6901844 - Existing NetCDF files
File : 6901844_Rtraj.nc - 6901844_meta.nc -

6901854 - Existing NetCDF files
File : 6901854_Rtraj.nc - 6901854_meta.nc - 6901854_tech.nc -

6901870 - Existing NetCDF files
File : 6901870_Rtraj.nc - 6901870_meta.nc -

6901871 - Existing NetCDF files
File : 6901871_Rtraj.nc - 6901871_meta.nc -

6902583 - Existing NetCDF files
File : 6902583_Rtraj.nc - 6902583_meta.nc -

6902685 - Existing NetCDF files
File : 6902685_Rtraj.nc - 6902685_meta.nc - 6902685_tech.nc -

6902741 - Existing NetCDF files
File : 6902741_Rtraj.nc - 6902741_meta.nc - 6902741_tech.nc -

6903181 - Existing NetCDF files
File : 6903181_Rtraj.nc - 6903181_meta.nc -

6903185 - Existing NetCDF files
File : 6903185_Rtraj.nc - 6903185_meta.nc -

6903193 - Existing NetCDF files
File : 6903193_Rtraj.nc - 6903193_meta.nc -

6903226 - Existing NetCDF files
File : 6903226_Rtraj.nc - 6903226_meta.nc -

7900349 - Existing NetCDF files
File : 7900349_Rtraj.nc - 7900349_meta.nc - 7900349_tech.nc

5.4. CSIO

GDAC (missing nc files)

For some floats :

- multiprof.nc - is missing (no profiles but tech, traj, meta exist)

See below the list of floats with existing nc files :

DAC name : csio – Number of floats : 436

2901498 - Existing NetCDF files
File : 2901498_Rtraj.nc - 2901498_meta.nc - 2901498_tech.nc -

2901505 - Existing NetCDF files
File : 2901505_Rtraj.nc - 2901505_meta.nc - 2901505_tech.nc -

2902670 - Existing NetCDF files
File : 2902670_Rtraj.nc - 2902670_meta.nc - 2902670_prof.nc -

2902671 - Existing NetCDF files
File : 2902671_Rtraj.nc - 2902671_meta.nc - 2902671_prof.nc -

2902672 - Existing NetCDF files
File : 2902672_meta.nc - 2902672_prof.nc -

2902673 - Existing NetCDF files
File : 2902673_Rtraj.nc - 2902673_meta.nc - 2902673_prof.nc -

2902674 - Existing NetCDF files
File : 2902674_Rtraj.nc - 2902674_meta.nc - 2902674_prof.nc -

2902677 - Existing NetCDF files
File : 2902677_Rtraj.nc - 2902677_meta.nc - 2902677_prof.nc -

2902679 - Existing NetCDF files
File : 2902679_Rtraj.nc - 2902679_meta.nc - 2902679_prof.nc

2902794 - Existing NetCDF files
File : 2902794_Rtraj.nc - 2902794_meta.nc - 2902794_tech.nc

5.5. CSIRO

GDAC (missing nc files)

For some floats :

- traj.nc - is missing (only meta.nc - , tech.nc - and prof.nc - files)

See below the list of floats with existing nc files :

DAC name : csiro – Number of floats : 920

1901743 - Existing NetCDF files
File : 1901743_meta.nc - 1901743_prof.nc - 1901743_tech.nc -

1901744 - Existing NetCDF files
File : 1901744_meta.nc - 1901744_prof.nc - 1901744_tech.nc -

1901745 - Existing NetCDF files
File : 1901745_meta.nc - 1901745_prof.nc - 1901745_tech.nc -

1901746 - Existing NetCDF files
File : 1901746_meta.nc - 1901746_prof.nc - 1901746_tech.nc -

1901747 - Existing NetCDF files
File : 1901747_meta.nc - 1901747_prof.nc - 1901747_tech.nc -

1901749 - Existing NetCDF files
File : 1901749_meta.nc - 1901749_prof.nc - 1901749_tech.nc -

1901752 - Existing NetCDF files
File : 1901752_meta.nc - 1901752_prof.nc - 1901752_tech.nc -

1901753 - Existing NetCDF files
File : 1901753_meta.nc - 1901753_prof.nc - 1901753_tech.nc -

3901467 - Existing NetCDF files
File : 3901467_meta.nc - 3901467_prof.nc - 3901467_tech.nc -

5904221 - Existing NetCDF files
File : 5904221_meta.nc - 5904221_prof.nc - 5904221_tech.nc -

5904224 - Existing NetCDF files
File : 5904224_meta.nc - 5904224_prof.nc - 5904224_tech.nc -

5904226 - Existing NetCDF files
File : 5904226_meta.nc - 5904226_prof.nc - 5904226_tech.nc -

5904916 - Existing NetCDF files
File : 5904916_meta.nc - 5904916_prof.nc - 5904916_tech.nc -

5904917 - Existing NetCDF files
File : 5904917_meta.nc - 5904917_prof.nc - 5904917_tech.nc -

5904922 - Existing NetCDF files
File : 5904922_meta.nc - 5904922_prof.nc - 5904922_tech.nc -

5905205 - Existing NetCDF files
File : 5905205_meta.nc - 5905205_prof.nc - 5905205_tech.nc -

5905389 - Existing NetCDF files
File : 5905389_meta.nc - 5905389_prof.nc - 5905389_tech.nc -

5905390 - Existing NetCDF files
File : 5905390_meta.nc - 5905390_prof.nc - 5905390_tech.nc -

5905393 - Existing NetCDF files
File : 5905393_meta.nc - 5905393_prof.nc - 5905393_tech.nc -

5905394 - Existing NetCDF files
File : 5905394_meta.nc - 5905394_prof.nc - 5905394_tech.nc -

5905410 - Existing NetCDF files
File : 5905410_meta.nc - 5905410_prof.nc - 5905410_tech.nc -

5905411 - Existing NetCDF files
File : 5905411_meta.nc - 5905411_prof.nc - 5905411_tech.nc -

5905412 - Existing NetCDF files
File : 5905412_meta.nc - 5905412_prof.nc - 5905412_tech.nc -

5905413 - Existing NetCDF files
File : 5905413_meta.nc - 5905413_prof.nc - 5905413_tech.nc -

5905419 - Existing NetCDF files
File : 5905419_meta.nc - 5905419_prof.nc - 5905419_tech.nc -

5905420 - Existing NetCDF files
File : 5905420_meta.nc - 5905420_prof.nc - 5905420_tech.nc -

5905421 - Existing NetCDF files
File : 5905421_meta.nc - 5905421_prof.nc - 5905421_tech.nc -

5905430 - Existing NetCDF files
File : 5905430_meta.nc - 5905430_prof.nc - 5905430_tech.nc -

5905431 - Existing NetCDF files
File : 5905431_meta.nc - 5905431_prof.nc - 5905431_tech.nc -

5905432 - Existing NetCDF files
File : 5905432_meta.nc - 5905432_prof.nc - 5905432_tech.nc -

5905454 - Existing NetCDF files
File : 5905454_meta.nc - 5905454_prof.nc - 5905454_tech.nc -

7900638 - Existing NetCDF files
File : 7900638_meta.nc - 7900638_prof.nc - 7900638_tech.nc -

7900639 - Existing NetCDF files
File : 7900639_meta.nc - 7900639_prof.nc - 7900639_tech.nc -

7900640 - Existing NetCDF files
File : 7900640_meta.nc - 7900640_prof.nc - 7900640_tech.nc -

7900641 - Existing NetCDF files
File : 7900641_meta.nc - 7900641_prof.nc - 7900641_tech.nc -

7900642 - Existing NetCDF files
File : 7900642_meta.nc - 7900642_prof.nc - 7900642_tech.nc -

7900643 - Existing NetCDF files
File : 7900643_meta.nc - 7900643_prof.nc - 7900643_tech.nc -

7900646 - Existing NetCDF files
File : 7900646_meta.nc - 7900646_prof.nc - 7900646_tech.nc -

7900647 - Existing NetCDF files
File : 7900647_meta.nc - 7900647_prof.nc - 7900647_tech.nc -

7900648 - Existing NetCDF files
File : 7900648_meta.nc - 7900648_prof.nc - 7900648_tech.nc -

7900649 - Existing NetCDF files
File : 7900649_meta.nc - 7900649_prof.nc - 7900649_tech.nc -

7900650 - Existing NetCDF files
File : 7900650_meta.nc - 7900650_prof.nc - 7900650_tech.nc -

7900651 - Existing NetCDF files
File : 7900651_meta.nc - 7900651_prof.nc - 7900651_tech.nc -

7900682 - Existing NetCDF files
File : 7900682_meta.nc - 7900682_prof.nc -

7900891 - Existing NetCDF files
File : 7900891_meta.nc - 7900891_prof.nc - 7900891_tech.nc -

7900892 - Existing NetCDF files
File : 7900892_meta.nc - 7900892_prof.nc - 7900892_tech.nc -

7900894 - Existing NetCDF files
File : 7900894_meta.nc - 7900894_prof.nc - 7900894_tech.nc

5.6. INCOIS

For some floats :

- tech.nc - is missing (meta.nc - , traj.nc - and prof.nc - files existing)
- traj.nc - is missing (meta, prof, tech existing)
- multiprof.nc - is missing (no profiles but tech, traj, meta exist)

See below the list of floats with existing nc files :

DAC name : incois – Number of floats : 482

2900268 - Existing NetCDF files
File : 2900268_Rtraj.nc - 2900268_meta.nc - 2900268_prof.nc -

2900275 - Existing NetCDF files
File : 2900275_Rtraj.nc - 2900275_meta.nc - 2900275_prof.nc -

2900767 - Existing NetCDF files
File : 2900767_meta.nc - 2900767_prof.nc - 2900767_tech.nc -

2902126 - Existing NetCDF files
File : 2902126_Rtraj.nc - 2902126_meta.nc - 2902126_tech.nc -

2902229 - Existing NetCDF files
File : 2902229_meta.nc - 2902229_prof.nc - 2902229_tech.nc -

2902230 - Existing NetCDF files
File : 2902230_meta.nc - 2902230_prof.nc - 2902230_tech.nc -

2902231 - Existing NetCDF files
File : 2902231_meta.nc - 2902231_prof.nc - 2902231_tech.nc -

2902232 - Existing NetCDF files
File : 2902232_meta.nc - 2902232_prof.nc - 2902232_tech.nc -

2902233 - Existing NetCDF files
File : 2902233_meta.nc - 2902233_prof.nc - 2902233_tech.nc -

2902234 - Existing NetCDF files
File : 2902234_meta.nc - 2902234_prof.nc - 2902234_tech.nc -

2902235 - Existing NetCDF files
File : 2902235_meta.nc - 2902235_prof.nc - 2902235_tech.nc -

2902236 - Existing NetCDF files
File : 2902236_meta.nc - 2902236_prof.nc - 2902236_tech.nc -

2902246 - Existing NetCDF files
File : 2902246_meta.nc - 2902246_prof.nc - 2902246_tech.nc -

2902248 - Existing NetCDF files
File : 2902248_meta.nc - 2902248_prof.nc - 2902248_tech.nc -

2902249 - Existing NetCDF files
File : 2902249_meta.nc - 2902249_prof.nc - 2902249_tech.nc -

2902250 - Existing NetCDF files
File : 2902250_meta.nc - 2902250_prof.nc - 2902250_tech.nc -

2902251 - Existing NetCDF files
File : 2902251_meta.nc - 2902251_prof.nc - 2902251_tech.nc -

2902252 - Existing NetCDF files
File : 2902252_meta.nc - 2902252_prof.nc - 2902252_tech.nc -

2902253 - Existing NetCDF files
File : 2902253_meta.nc - 2902253_prof.nc - 2902253_tech.nc -

2902254 - Existing NetCDF files
File : 2902254_meta.nc - 2902254_prof.nc - 2902254_tech.nc -

2902255 - Existing NetCDF files
File : 2902255_meta.nc - 2902255_prof.nc - 2902255_tech.nc -

2902256 - Existing NetCDF files
File : 2902256_meta.nc - 2902256_prof.nc - 2902256_tech.nc -

2902257 - Existing NetCDF files
File : 2902257_meta.nc - 2902257_prof.nc - 2902257_tech.nc -

2902258 - Existing NetCDF files
File : 2902258_meta.nc - 2902258_prof.nc - 2902258_tech.nc -

2902259 - Existing NetCDF files
File : 2902259_meta.nc - 2902259_prof.nc - 2902259_tech.nc -

2902260 - Existing NetCDF files
File : 2902260_meta.nc - 2902260_prof.nc - 2902260_tech.nc -

2902261 - Existing NetCDF files
File : 2902261_meta.nc - 2902261_prof.nc - 2902261_tech.nc -

2902262 - Existing NetCDF files
File : 2902262_meta.nc - 2902262_prof.nc - 2902262_tech.nc -

2902265 - Existing NetCDF files
File : 2902265_meta.nc - 2902265_prof.nc - 2902265_tech.nc -

2902266 - Existing NetCDF files
File : 2902266_meta.nc - 2902266_prof.nc - 2902266_tech.nc -

2902267 - Existing NetCDF files
File : 2902267_meta.nc - 2902267_prof.nc - 2902267_tech.nc -

2902268 - Existing NetCDF files
File : 2902268_meta.nc - 2902268_prof.nc - 2902268_tech.nc -

2902269 - Existing NetCDF files
File : 2902269_meta.nc - 2902269_prof.nc - 2902269_tech.nc -

2902278 - Existing NetCDF files
File : 2902278_meta.nc - 2902278_prof.nc - 2902278_tech.nc -

2902279 - Existing NetCDF files
File : 2902279_meta.nc - 2902279_prof.nc - 2902279_tech.nc -

2902280 - Existing NetCDF files
File : 2902280_meta.nc - 2902280_prof.nc - 2902280_tech.nc -

2902281 - Existing NetCDF files
File : 2902281_meta.nc - 2902281_prof.nc - 2902281_tech.nc -

2902282 - Existing NetCDF files
File : 2902282_meta.nc - 2902282_prof.nc - 2902282_tech.nc -

2902283 - Existing NetCDF files
File : 2902283_meta.nc - 2902283_prof.nc - 2902283_tech.nc -

2902284 - Existing NetCDF files
File : 2902284_meta.nc - 2902284_prof.nc - 2902284_tech.nc -

2902285 - Existing NetCDF files
File : 2902285_meta.nc - 2902285_prof.nc - 2902285_tech.nc -

2902286 - Existing NetCDF files
File : 2902286_meta.nc - 2902286_prof.nc - 2902286_tech.nc -

2902287 - Existing NetCDF files
File : 2902287_meta.nc - 2902287_prof.nc - 2902287_tech.nc -

2902288 - Existing NetCDF files
File : 2902288_meta.nc - 2902288_prof.nc - 2902288_tech.nc -

2902289 - Existing NetCDF files
File : 2902289_meta.nc - 2902289_prof.nc - 2902289_tech.nc -

2902290 - Existing NetCDF files
File : 2902290_meta.nc - 2902290_prof.nc - 2902290_tech.nc -

2902292 - Existing NetCDF files
File : 2902292_meta.nc - 2902292_prof.nc - 2902292_tech.nc -

2902293 - Existing NetCDF files
File : 2902293_meta.nc - 2902293_prof.nc - 2902293_tech.nc -

7654321 - Existing NetCDF files
File : 7654321_meta.nc - 7654321_prof.nc

5.7. JMA

Feedback sent by Wataru.(some months ago)

Checking of the status of each float.

-Deep NINJA: 14 floats in preparation for data release and profile files will be sent to GDACs

2902508	**7900600**	**7900655**
2902509	**7900601**	**7900657**
2902510	**7900652**	**7900658**
5904937	**7900653**	**7900660**
7900599	**7900654**	

-Others : 8 floats

need further investigation

For some floats :

- tech.nc - and/or traj.nc - are missing (only meta.nc - and prof.nc - files)
- traj.nc - is missing

See below the list of floats with existing nc files :

DAC name : jma – Number of floats : 1744

1902074 - Existing NetCDF files
File : 1902074_meta.nc - 1902074_prof.nc -

1902075 - Existing NetCDF files
File : 1902075_meta.nc - 1902075_prof.nc -

1902332 - Existing NetCDF files
File : 1902332_Mprof.nc - 1902332_meta.nc - 1902332_prof.nc -

1902333 - Existing NetCDF files
File : 1902333_meta.nc - 1902333_prof.nc -

1902335 - Existing NetCDF files
File : 1902335_meta.nc - 1902335_prof.nc -

1902336 - Existing NetCDF files
File : 1902336_meta.nc - 1902336_prof.nc -

1902337 - Existing NetCDF files
File : 1902337_meta.nc - 1902337_prof.nc -

2901998 - Existing NetCDF files
File : 2901998_meta.nc - 2901998_prof.nc -

2902455 - Existing NetCDF files
File : 2902455_Rtraj.nc - 2902455_meta.nc - 2902455_tech.nc -

2902469 - Existing NetCDF files
File : 2902469_Rtraj.nc - 2902469_meta.nc - 2902469_tech.nc -

2902508 - Existing NetCDF files
File : 2902508_meta.nc - 2902508_prof.nc -

2902509 - Existing NetCDF files
File : 2902509_meta.nc - 2902509_prof.nc -

2902510 - Existing NetCDF files
File : 2902510_meta.nc - 2902510_prof.nc -

2902529 - Existing NetCDF files
File : 2902529_Mprof.nc - 2902529_meta.nc - 2902529_prof.nc -

2902530 - Existing NetCDF files
File : 2902530_Mprof.nc - 2902530_meta.nc - 2902530_prof.nc -

2902971 - Existing NetCDF files
File : 2902971_meta.nc - 2902971_prof.nc -

2902977 - Existing NetCDF files
File : 2902977_Rtraj.nc - 2902977_meta.nc - 2902977_tech.nc -

2902978 - Existing NetCDF files
File : 2902978_Rtraj.nc - 2902978_meta.nc - 2902978_tech.nc -

2903005 - Existing NetCDF files
File : 2903005_meta.nc - 2903005_prof.nc -

2903006 - Existing NetCDF files
File : 2903006_Mprof.nc - 2903006_meta.nc - 2903006_prof.nc -

2903007 - Existing NetCDF files
File : 2903007_Mprof.nc - 2903007_meta.nc - 2903007_prof.nc -

2903008 - Existing NetCDF files
File : 2903008_Mprof.nc - 2903008_meta.nc - 2903008_prof.nc -

2903009 - Existing NetCDF files
File : 2903009_Mprof.nc - 2903009_meta.nc - 2903009_prof.nc -

2903010 - Existing NetCDF files
File : 2903010_Mprof.nc - 2903010_meta.nc - 2903010_prof.nc -

2903011 - Existing NetCDF files
File : 2903011_Mprof.nc - 2903011_meta.nc - 2903011_prof.nc -

2903012 - Existing NetCDF files
File : 2903012_Mprof.nc - 2903012_meta.nc - 2903012_prof.nc -

2903013 - Existing NetCDF files
File : 2903013_Mprof.nc - 2903013_meta.nc - 2903013_prof.nc -

2903014 - Existing NetCDF files
File : 2903014_Mprof.nc - 2903014_meta.nc - 2903014_prof.nc -

2903165 - Existing NetCDF files
File : 2903165_Mprof.nc - 2903165_meta.nc - 2903165_prof.nc -

2903166 - Existing NetCDF files
File : 2903166_Mprof.nc - 2903166_meta.nc - 2903166_prof.nc -

2903167 - Existing NetCDF files
File : 2903167_Mprof.nc - 2903167_meta.nc - 2903167_prof.nc -

2903168 - Existing NetCDF files
File : 2903168_Mprof.nc - 2903168_meta.nc - 2903168_prof.nc -

2903169 - Existing NetCDF files
File : 2903169_Mprof.nc - 2903169_meta.nc - 2903169_prof.nc -

2903170 - Existing NetCDF files
File : 2903170_Mprof.nc - 2903170_meta.nc - 2903170_prof.nc -

2903171 - Existing NetCDF files
File : 2903171_Mprof.nc - 2903171_meta.nc - 2903171_prof.nc -

2903172 - Existing NetCDF files
File : 2903172_Mprof.nc - 2903172_meta.nc - 2903172_prof.nc -

2903173 - Existing NetCDF files
File : 2903173_Mprof.nc - 2903173_meta.nc - 2903173_prof.nc -

2903174 - Existing NetCDF files
File : 2903174_Mprof.nc - 2903174_meta.nc - 2903174_prof.nc -

2903175 - Existing NetCDF files
File : 2903175_Mprof.nc - 2903175_meta.nc - 2903175_prof.nc -

2903176 - Existing NetCDF files
File : 2903176_Mprof.nc - 2903176_meta.nc - 2903176_prof.nc -

2903209 - Existing NetCDF files
File : 2903209_Mprof.nc - 2903209_meta.nc - 2903209_prof.nc -

2903210 - Existing NetCDF files
File : 2903210_Mprof.nc - 2903210_meta.nc - 2903210_prof.nc -

2903211 - Existing NetCDF files
File : 2903211_meta.nc - 2903211_prof.nc -

2903213 - Existing NetCDF files
File : 2903213_Mprof.nc - 2903213_meta.nc - 2903213_prof.nc -

2903327 - Existing NetCDF files
File : 2903327_meta.nc - 2903327_prof.nc -

2903329 - Existing NetCDF files
File : 2903329_Mprof.nc - 2903329_meta.nc - 2903329_prof.nc -

2903330 - Existing NetCDF files
File : 2903330_Mprof.nc - 2903330_meta.nc - 2903330_prof.nc -

2903346 - Existing NetCDF files
File : 2903346_meta.nc - 2903346_prof.nc -

2903347 - Existing NetCDF files
File : 2903347_meta.nc - 2903347_prof.nc -

2903350 - Existing NetCDF files
File : 2903350_meta.nc - 2903350_prof.nc -

2903351 - Existing NetCDF files
File : 2903351_meta.nc - 2903351_prof.nc -

2903352 - Existing NetCDF files

File : 2903352_meta.nc - 2903352_prof.nc -

2903356 - Existing NetCDF files
File : 2903356_meta.nc - 2903356_prof.nc -

2903357 - Existing NetCDF files
File : 2903357_meta.nc - 2903357_prof.nc -

2903359 - Existing NetCDF files
File : 2903359_meta.nc - 2903359_prof.nc -

2903360 - Existing NetCDF files
File : 2903360_meta.nc - 2903360_prof.nc -

2903362 - Existing NetCDF files
File : 2903362_meta.nc - 2903362_prof.nc -

2903363 - Existing NetCDF files
File : 2903363_meta.nc - 2903363_prof.nc -

2903364 - Existing NetCDF files
File : 2903364_meta.nc - 2903364_prof.nc -

2903365 - Existing NetCDF files
File : 2903365_meta.nc - 2903365_prof.nc -

2903366 - Existing NetCDF files
File : 2903366_meta.nc - 2903366_prof.nc -

2903367 - Existing NetCDF files
File : 2903367_meta.nc - 2903367_prof.nc -

2903368 - Existing NetCDF files
File : 2903368_meta.nc - 2903368_prof.nc -

2903369 - Existing NetCDF files
File : 2903369_meta.nc - 2903369_prof.nc -

2903370 - Existing NetCDF files
File : 2903370_meta.nc - 2903370_prof.nc -

2903371 - Existing NetCDF files
File : 2903371_meta.nc - 2903371_prof.nc -

2903372 - Existing NetCDF files
File : 2903372_meta.nc - 2903372_prof.nc -

2903373 - Existing NetCDF files
File : 2903373_meta.nc - 2903373_prof.nc -

2903374 - Existing NetCDF files
File : 2903374_meta.nc - 2903374_prof.nc -

2903375 - Existing NetCDF files
File : 2903375_meta.nc - 2903375_prof.nc -

2903376 - Existing NetCDF files
File : 2903376_meta.nc - 2903376_prof.nc -

2903377 - Existing NetCDF files
File : 2903377_meta.nc - 2903377_prof.nc -

2903378 - Existing NetCDF files
File : 2903378_meta.nc - 2903378_prof.nc -

2903379 - Existing NetCDF files
File : 2903379_meta.nc - 2903379_prof.nc -

2903380 - Existing NetCDF files
File : 2903380_meta.nc - 2903380_prof.nc -

2903381 - Existing NetCDF files
File : 2903381_meta.nc - 2903381_prof.nc -

2903382 - Existing NetCDF files
File : 2903382_meta.nc - 2903382_prof.nc -

2903383 - Existing NetCDF files
File : 2903383_meta.nc - 2903383_prof.nc -

2903384 - Existing NetCDF files
File : 2903384_meta.nc - 2903384_prof.nc -

2903385 - Existing NetCDF files
File : 2903385_meta.nc - 2903385_prof.nc -

2903386 - Existing NetCDF files
File : 2903386_meta.nc - 2903386_prof.nc -

2903387 - Existing NetCDF files
File : 2903387_meta.nc - 2903387_prof.nc -

2903389 - Existing NetCDF files
File : 2903389_meta.nc - 2903389_prof.nc -

2903390 - Existing NetCDF files
File : 2903390_meta.nc - 2903390_prof.nc -

2903391 - Existing NetCDF files
File : 2903391_meta.nc - 2903391_prof.nc -

2903394 - Existing NetCDF files
File : 2903394_Mprof.nc - 2903394_meta.nc - 2903394_prof.nc -

2903395 - Existing NetCDF files
File : 2903395_Mprof.nc - 2903395_meta.nc - 2903395_prof.nc -

2903400 - Existing NetCDF files
File : 2903400_meta.nc - 2903400_prof.nc -

2903401 - Existing NetCDF files
File : 2903401_meta.nc - 2903401_prof.nc -

2903402 - Existing NetCDF files
File : 2903402_meta.nc - 2903402_prof.nc -

2903403 - Existing NetCDF files
File : 2903403_meta.nc - 2903403_prof.nc -

2903404 - Existing NetCDF files
File : 2903404_meta.nc - 2903404_prof.nc -

2903605 - Existing NetCDF files
File : 2903605_meta.nc - 2903605_prof.nc -

2903606 - Existing NetCDF files
File : 2903606_meta.nc - 2903606_prof.nc -

2903607 - Existing NetCDF files
File : 2903607_meta.nc - 2903607_prof.nc -

2903608 - Existing NetCDF files
File : 2903608_meta.nc - 2903608_prof.nc -

2903609 - Existing NetCDF files
File : 2903609_meta.nc - 2903609_prof.nc -

2903610 - Existing NetCDF files
File : 2903610_meta.nc - 2903610_prof.nc -

2903611 - Existing NetCDF files
File : 2903611_meta.nc - 2903611_prof.nc -

2903612 - Existing NetCDF files
File : 2903612_meta.nc - 2903612_prof.nc -

2903616 - Existing NetCDF files
File : 2903616_meta.nc - 2903616_prof.nc -

2903617 - Existing NetCDF files
File : 2903617_meta.nc - 2903617_prof.nc -

2903619 - Existing NetCDF files
File : 2903619_meta.nc - 2903619_prof.nc -

3902388 - Existing NetCDF files
File : 3902388_meta.nc - 3902388_prof.nc -

3902389 - Existing NetCDF files
File : 3902389_meta.nc - 3902389_prof.nc -

3902390 - Existing NetCDF files
File : 3902390_meta.nc - 3902390_prof.nc -

3902392 - Existing NetCDF files
File : 3902392_meta.nc - 3902392_prof.nc -

3902393 - Existing NetCDF files
File : 3902393_meta.nc - 3902393_prof.nc -

3902394 - Existing NetCDF files
File : 3902394_meta.nc - 3902394_prof.nc -

4900293 - Existing NetCDF files
File : 4900293_Rtraj.nc - 4900293_meta.nc - 4900293_tech.nc -

4902378 - Existing NetCDF files
File : 4902378_meta.nc - 4902378_prof.nc -

4902380 - Existing NetCDF files
File : 4902380_meta.nc - 4902380_prof.nc -

4902981 - Existing NetCDF files
File : 4902981_Rtraj.nc - 4902981_meta.nc - 4902981_prof.nc -

4902982 - Existing NetCDF files
File : 4902982_meta.nc - 4902982_prof.nc -

4902983 - Existing NetCDF files
File : 4902983_meta.nc - 4902983_prof.nc -

4902984 - Existing NetCDF files
File : 4902984_meta.nc - 4902984_prof.nc -

4902985 - Existing NetCDF files
File : 4902985_meta.nc - 4902985_prof.nc -

4902986 - Existing NetCDF files
File : 4902986_meta.nc - 4902986_prof.nc -

4902987 - Existing NetCDF files
File : 4902987_meta.nc - 4902987_prof.nc -

4902988 - Existing NetCDF files
File : 4902988_meta.nc - 4902988_prof.nc -

5900277 - Existing NetCDF files
File : 5900277_Rtraj.nc - 5900277_meta.nc - 5900277_tech.nc -

5901582 - Existing NetCDF files
File : 5901582_meta.nc - 5901582_prof.nc - 5901582_tech.nc -

5901937 - Existing NetCDF files
File : 5901937_Rtraj.nc - 5901937_meta.nc - 5901937_prof.nc -

5904937 - Existing NetCDF files
File : 5904937_meta.nc - 5904937_prof.nc -

5905063 - Existing NetCDF files
File : 5905063_meta.nc - 5905063_prof.nc -

5905224 - Existing NetCDF files
File : 5905224_meta.nc - 5905224_prof.nc -

5905225 - Existing NetCDF files
File : 5905225_meta.nc - 5905225_prof.nc -

5905226 - Existing NetCDF files
File : 5905226_meta.nc - 5905226_prof.nc -

5905229 - Existing NetCDF files
File : 5905229_Mprof.nc - 5905229_meta.nc - 5905229_prof.nc -

5905232 - Existing NetCDF files
File : 5905232_Mprof.nc - 5905232_meta.nc - 5905232_prof.nc -

5905233 - Existing NetCDF files
File : 5905233_meta.nc - 5905233_prof.nc -

5905834 - Existing NetCDF files
File : 5905834_meta.nc - 5905834_prof.nc -

5905835 - Existing NetCDF files
File : 5905835_meta.nc - 5905835_prof.nc -

5905836 - Existing NetCDF files
File : 5905836_meta.nc - 5905836_prof.nc -

5905837 - Existing NetCDF files
File : 5905837_meta.nc - 5905837_prof.nc -

5905838 - Existing NetCDF files
File : 5905838_meta.nc - 5905838_prof.nc -

5905839 - Existing NetCDF files
File : 5905839_meta.nc - 5905839_prof.nc -

5905840 - Existing NetCDF files
File : 5905840_meta.nc - 5905840_prof.nc -

5905841 - Existing NetCDF files
File : 5905841_meta.nc - 5905841_prof.nc -

5905842 - Existing NetCDF files
File : 5905842_meta.nc - 5905842_prof.nc -

5905843 - Existing NetCDF files
File : 5905843_meta.nc - 5905843_prof.nc -

5905844 - Existing NetCDF files
File : 5905844_meta.nc - 5905844_prof.nc -

5905846 - Existing NetCDF files
File : 5905846_meta.nc - 5905846_prof.nc -

5905848 - Existing NetCDF files
File : 5905848_meta.nc - 5905848_prof.nc -

5905849 - Existing NetCDF files
File : 5905849_meta.nc - 5905849_prof.nc -

5905851 - Existing NetCDF files
File : 5905851_meta.nc - 5905851_prof.nc -

5905852 - Existing NetCDF files
File : 5905852_meta.nc - 5905852_prof.nc -

5905853 - Existing NetCDF files
File : 5905853_meta.nc - 5905853_prof.nc -

5905854 - Existing NetCDF files
File : 5905854_meta.nc - 5905854_prof.nc -

5905855 - Existing NetCDF files
File : 5905855_meta.nc - 5905855_prof.nc -

5905860 - Existing NetCDF files
File : 5905860_meta.nc - 5905860_prof.nc -

5905861 - Existing NetCDF files
File : 5905861_meta.nc - 5905861_prof.nc -

5905862 - Existing NetCDF files
File : 5905862_meta.nc - 5905862_prof.nc -

5905863 - Existing NetCDF files
File : 5905863_meta.nc - 5905863_prof.nc -

5905864 - Existing NetCDF files
File : 5905864_meta.nc - 5905864_prof.nc -

5905865 - Existing NetCDF files
File : 5905865_meta.nc - 5905865_prof.nc -

5905875 - Existing NetCDF files
File : 5905875_meta.nc - 5905875_prof.nc -

5905876 - Existing NetCDF files
File : 5905876_meta.nc - 5905876_prof.nc -

5905877 - Existing NetCDF files
File : 5905877_meta.nc - 5905877_prof.nc -

5905878 - Existing NetCDF files
File : 5905878_meta.nc - 5905878_prof.nc -

5905881 - Existing NetCDF files
File : 5905881_meta.nc - 5905881_prof.nc -

5905882 - Existing NetCDF files
File : 5905882_meta.nc - 5905882_prof.nc -

7900024 - Existing NetCDF files
File : 7900024_Rtraj.nc - 7900024_meta.nc - 7900024_tech.nc -

7900025 - Existing NetCDF files
File : 7900025_Rtraj.nc - 7900025_meta.nc - 7900025_tech.nc -

7900599 - Existing NetCDF files
File : 7900599_meta.nc - 7900599_prof.nc -

7900600 - Existing NetCDF files
File : 7900600_meta.nc - 7900600_prof.nc -

7900601 - Existing NetCDF files
File : 7900601_meta.nc - 7900601_prof.nc -

7900652 - Existing NetCDF files
File : 7900652_meta.nc - 7900652_prof.nc -

7900653 - Existing NetCDF files
File : 7900653_meta.nc - 7900653_prof.nc -

7900654 - Existing NetCDF files
File : 7900654_meta.nc - 7900654_prof.nc -

7900655 - Existing NetCDF files
File : 7900655_meta.nc - 7900655_prof.nc -

7900657 - Existing NetCDF files
File : 7900657_meta.nc - 7900657_prof.nc -

7900658 - Existing NetCDF files
File : 7900658_meta.nc - 7900658_prof.nc -

7900660 - Existing NetCDF files
File : 7900660_meta.nc - 7900660_prof.nc -

7900691 - Existing NetCDF files
File : 7900691_meta.nc - 7900691_prof.nc -

7900864 - Existing NetCDF files
File : 7900864_meta.nc - 7900864_prof.nc -

7900866 - Existing NetCDF files
File : 7900866_meta.nc - 7900866_prof.nc -

7900868 - Existing NetCDF files
File : 7900868_meta.nc - 7900868_prof.nc

5.8. KMA

For some floats :

- tech.nc - is missing (meta.nc - , traj.nc - and prof.nc - files existing)

- multiprof.nc - is missing (no profiles but tech, traj, meta exist)

See below the list of floats with existing nc files :

DAC name : kma – Number of floats : 247
2901213 - Existing nc files
File : 2901213_Rtraj.nc - 2901213_meta.nc - 2901213_prof.nc -

2901731 - Existing nc files
File : 2901731_meta.nc - 2901731_prof.nc

5.9. KORDI/KIOST

For some floats :

- tech.nc - is missing (meta.nc - , traj.nc - and prof.nc - files existing)
- only meta and traj files (no monoprofile, no tech.nc -)

See below the list of floats with existing nc files :

DAC name : kiost – Number of floats : 109
2901779 - Existing nc files
File : 2901779_meta.nc - 2901779_prof.nc - 2901779_tech.nc -

2901780 - Existing nc files
File : 2901780_meta.nc - 2901780_prof.nc - 2901780_tech.nc -

5.10. MEDS

For some floats :

- traj file missing

See below the list of floats with existing nc files :

DAC name : meds – Number of floats : 550

5.11. NMDIS

For some floats :

-

See below the list of floats with existing nc files :

DAC name : nmdis – Number of floats : 19